

03081

UNIVERSIDAD NACIONAL AUTONOMA 3
DE MEXICO 241



UNIDAD ACADEMICA DE LOS CICLOS PROFESIONAL Y DE
POSGRADO DEL COLEGIO DE CIENCIAS Y HUMANIDADES
CENTRO DE INVESTIGACION SOBRE FIJACION
DE NITROGENO.

ANALISIS ESTRUCTURAL Y FUNCIONAL DEL
PLASMIDO B DE *Rhizobium etli* CFN42

T E S I S
QUE PARA OBTENER EL GRADO DE:
DOCTOR EN INVESTIGACION
BIOMEDICA BASICA
P R E S E N T A :
ALEJANDRO GARCIA DE LOS SANTOS

CUERNAVACA, MOR.

1997

TESIS CON
FALLA DE ORIGEN



UNAM – Dirección General de Bibliotecas

Tesis Digitales
Restricciones de uso

DERECHOS RESERVADOS ©
PROHIBIDA SU REPRODUCCIÓN TOTAL O PARCIAL

Todo el material contenido en esta tesis está protegido por la Ley Federal del Derecho de Autor (LFDA) de los Estados Unidos Mexicanos (México).

El uso de imágenes, fragmentos de videos, y demás material que sea objeto de protección de los derechos de autor, será exclusivamente para fines educativos e informativos y deberá citar la fuente donde la obtuvo mencionando el autor o autores. Cualquier uso distinto como el lucro, reproducción, edición o modificación, será perseguido y sancionado por el respectivo titular de los Derechos de Autor.

AGRADECIMIENTOS

A la Dra. Susana Brom por apoyar la continuación de mi carrera científica y estimular mis ideas respecto a los plásmidos de *Rhizobium*.

A los Drs. Rafael Palacios y David Romero por su interés en mi superación académica.

A los integrantes del comité tutorial de Maestría y Doctorado por sus valiosas discusiones y a los miembros del jurado por el tiempo dedicado a corregir y mejorar esta tesis:

Dra. Susana Brom, Dr. Guillermo Dívila, Dr. Luis Servín, Dra. Esperanza Martínez, Dr. Rafael Palacios, Dr. Mario Soberón, Dr. Miguel Ángel Cevallos y Dra. Laura Camarena.

A todos mis compañeros del Departamento de Genética Molecular del CIPN (Investigadores, Técnicos, Estudiantes, Secretarias y Personal de Intendencia) por su cooperación durante la elaboración de esta tesis. A Alma Córdova por hacernos la vida más amable en la Unidad de Enseñanza.

Mi especial agradecimiento a mi esposa María por su comprensión y apoyo en los momentos críticos de este trabajo, y a mis Padres y Hermanos por sus valiosos estímulos.

A mis amigos del CIPN y del IBT especialmente a Amparo Oatlíñez, Rosy Ocampo, Mario Ramírez, Ismael Hernández y L. Ernesto Fuentes; Claudia Díaz y Miguel Villalobos, Irma Martínez y Víctor Bustamante, Chema y Nieves, Rosy y Memo Larios, Mario Rocha y Adriana Garay.

Este trabajo se realizó en el Departamento de Química Molecular del Centro de Investigación sobre Fijación de Nitrógeno de la UNAM, bajo la Dirección de la Dra. Susana Brom Kienner, y contó con los apoyos económicos del propio Depto. de Química Molecular, PADEP y CONACyT (programa de apoyo a Profesores para obtener el Doctorado REF 940032)

INDICE

RESUMEN	1
INTRODUCCION.....	2
GENERALIDADES SOBRE PLASMIDOS BACTERIANOS.....	2
TRANSFERENCIA DE INFORMACION GENETICA MEDIADA POR PLASMIDOS.....	3
FUNCIONES CODIFICADAS EN PLASMIDOS Y SU PAPEL EN LA EVOLUCION BACTERIANA.....	6
ANTECEDENTES	9
PLASMIDOS DE <i>Rhizobium</i>	9
<i>Rhizobium</i> PLASMIDS IN BACTERIA-LEGUME INTERACTIONS (REVISION)	11
FUNCIONES CODIFICADAS EN PLASMIDOS DE <i>Rhizobium etli</i> CFN42.....	18
DERIVADAS DE <i>Rhizobium etli</i> CFN42 CURADAS DE MULTIPLES PLASMIDOS.....	21
CARACTERIZACION DE SECUENCIAS AISLADAS DE PLASMIDOS DE <i>Rhizobium etli</i> CFN42.....	22
ESTRUCTURA DE LA SUPERFICIE CELULAR BACTERIANA	24
POLISACARIDOS PRODUCIDOS POR <i>Rhizobium</i>	25
OBJETIVOS.....	29
RESULTADOS	
CHARACTERIZATION OF TWO PLASMID-BORNE αsβ LOCI OF <i>Rhizobium etli</i> REQUIRED FOR LIPOPOLYSACCHARIDE SYNTHESIS AND FOR OPTIMAL INTERACTION WITH PLANTS. (ARTICULO).....	30
RESULTADOS ADICIONALES.....	46

INFORMACION ADICIONAL SOBRE EL ORFI INCOMPLETO.....	46
OTRAS SECUENCIAS DEL pCPN42B CONSERVADAS EN EL GENOMA DE <i>R. leguminosarum</i> bv. trifolii ANU843 y <i>R. leguminosarum</i> bv. vicina VF39.....	47
EXPERIMENTOS DE INCOMPATIBILIDAD DE PLASMIDOS.....	49
DISCUSION Y PERSPECTIVAS.....	51
CONCLUSIONES.....	57
REFERENCIAS.....	58
TABLA 1.....	65
TABLA 2.....	66
FIGURAS 1 a 9.....	67-75

ABSTRACT

***Rhizobium etli* CFN42** is a Gram-negative soil bacteria able to induce the formation of nitrogen-fixation nodules on roots of common bean and other seven tropical leguminous plants.

The genetic information of this bacteria is distributed among the chromosome and six plasmids. We have previously demonstrated by analysing plasmid-cured derivatives, that in addition to nodulation and nitrogen-fixation genes (*nod*, *nif* and *fix*) located on the symbiotic plasmid pCFN42d (pSym), the genetic *lpsβ* region carried on the pCFN42b plasmid is also essential for bean nodulation.

This *lpsβ* region is required for lipopolysaccharide (LPS) biosynthesis, the major structural component of Gram-negative bacteria outer membrane.

The pSym is the best characterized part of the genome. Although it has been shown that plasmids other than the pSym may also influence the symbiotic and free-living state, only few sequences from these plasmids have been studied.

In the present work, we report the genetic array and functional features of the *lpsβ* region. The DNA sequence analysis of a 3 595 bp fragment revealed the presence of two ORFs (*lpsβ* 1 and *lpsβ* 2) essential for LPS synthesis.

On the basis of amino acid sequences similarities and the LPS chemical composition data previously reported, we propose that *Lpsβ* 1 may be responsible for the transfer of galactose or galacturonic acid to the core component of LPS. *Lpsβ* 2 could be a dehydratase involved in the synthesis of the 6-deoxy or dideoxy sugars which links the O-antigen to the core oligosaccharide.

DNA sequences homologous to *lpsβ* 1 and *lpsβ* 2 of *R. etli* CFN42 were consistently found in functionally equivalent plasmids of *R. etli*, *R. leguminosarum* bv. *viciae* and bv. *trifolii* strains, but not in other *Rhizobium* and *Agrobacterium* species.

In addition to *lpsβ* 1 and *lpsβ* 2, a large amount of sequences from pCFN42b are conserved in the genome of *R. leguminosarum* bv. *trifolii* ANU843 and *R. leguminosarum* bv. *viciae* VF39, such homologous sequences are distributed among different plasmids.

deceased *B. Bonn*

RESUMEN

Rhizobium etli CFN42 es una bacteria Gram negativa habitante del suelo, que tiene la capacidad de formar nódulos en las raíces de frijol y de otras siete especies de leguminosas tropicales. Dentro de los nódulos, las bacterias diferenciadas en bacteroides transforman el nitrógeno atmosférico en amonio y lo transfieren a la planta la cual lo utiliza para su crecimiento.

El genoma de esta bacteria se encuentra constituido por un cromosoma y seis plásmidos.

En un estudio previo en el cual se analizaron las características fenotípicas de cepas derivadas curadas de cada uno de sus plásmidos, demostramos que en *R. etli* CFN42 además de los genes necesarios para nodulación y fijación de nitrógeno (*nod*, *nif* y *fix*) contenidos en el pCFN42d o plásmido simbiótico (pSim), existe otra región genética denominada *lpsβ* localizada en el plásmido pCFN42b, la cual también es indispensable para nodulación de raíces de frijol. La región *lpsβ* es necesaria para la biosíntesis de lipopolissacárido (LPS), un componente estructural de la membrana externa de las bacterias Gram negativas.

Como en muchas otras especies de *Rhizobium*, el pSim constituye el componente mejor caracterizado del genoma de *R. etli*. Aunque se ha demostrado que el resto de los plásmidos afectan las condiciones de vida simbiótica y saprofítica, se han estudiado muy pocas secuencias de otros plásmidos.

En este trabajo, presentamos la caracterización genética de la región *lpsβ*. El análisis de secuencia de 3 595 pb mostró la presencia de dos marcos de lectura abiertos denominados *lpsβ1* y *lpsβ2* indispensables para síntesis de LPS. El análisis de similitud de la secuencia de aminoácidos de las proteínas Lpsβ1 y Lpsβ2, así como datos bibliográficos de la estructura química del LPS, sugieren que la proteína Lpsβ1 puede ser una enzima que transfiere galactosa o ácido galacturónico a la parte del LPS conocida como "core". La proteína Lpsβ2 podría ser una deshidratasa participando en la síntesis de alguno de los desoxi o didesoxi-azúcares que ensanjan el core con el antígeno-O.

Fueron encontradas secuencias homólogas a *lpsβ1* y *lpsβ2* en plásmidos de *R. leguminosarum* bv. trifolii y de *R. leguminosarum* bv. viciae, pero no en el genoma de otras especies de *Rhizobium* y *Agrobacterium*.

Además de los genes *lpsβ1* y *lpsβ2*, un gran número de secuencias del pCFN42b de *R. etli* se encuentran conservadas en el genoma de *R. leguminosarum* bv. trifolii ANU843 y *R. leguminosarum* bv. viciae VF39 aunque no siempre localizadas en el mismo replicón.

INTRODUCCIÓN

GENERALIDADES SOBRE PLÁSMIDOS BACTERIANOS.

El material genético de las bacterias se encuentra constituido por moléculas de ADN organizadas en cromosomas y plásmidos (Campbell 1993, Levin 1993). El cromosoma bacteriano es una molécula de ADN circular o lineal cuyo tamaño puede variar entre 0.6 a 10 Mb. En la mayoría de las bacterias se ha descrito la presencia de un solo cromosoma, sin embargo en *Rhodobacter sphaeroides* (Suwanto y Kaplan 1989) y *Brucella melitensis* (Michaux *et al* 1993) se han identificado dos cromosomas circulares. En el cromosoma se encuentran localizados genes esenciales para el funcionamiento celular, como por ejemplo, aquellos que codifican para las proteínas y rARNs que constituyen la estructura del ribosoma. Asimismo, en el cromosoma se encuentran codificadas la mayoría de las enzimas necesarias para el funcionamiento de las principales vías metabólicas de la bacteria.

Como se mencionó anteriormente, las bacterias contienen elementos extra-cromosomales denominados plásmidos, los cuales son generalmente de menor tamaño que el cromosoma. Plásmidos y cromosoma se replican de manera independiente dentro de la célula bacteriana, pero sincronizados con el crecimiento y división celular, lo cual permite que copias de ambos replicones puedan ser heredadas en las siguientes generaciones.

Casi todos los plásmidos descritos son moléculas circulares de ADN de tamaño variable. Se han aislado pequeños plásmidos de 2.6 kb, hasta megaplasmidos de 1600 kb (Antoine y Locht 1992, Charles y Finan 1991). Sin embargo plásmidos lineales con un rango de tamaño entre 9 kb y 600 kb se han identificado en diferentes especies de *Streptomyces* (Hinnebusch y Tilly 1993). También se han encontrado en *Thiobacillus versutus* y en *Nocardia opaca* actualmente llamado *Rhodococcus sp.* (Hinnebusch y Tilly 1993).

La presencia de plásmidos lineales y circulares dentro de una misma bacteria, se ha descrito en algunas especies como en *Rhodococcus fascians*, patógeno de una gran variedad de plantas monocotiledóneas y dicotiledóneas, y en bacterias del género *Borrelia*, un parásito de humanos. En *Rhodococcus fascians* el plásmido lineal tiene un tamaño de 200 kb mientras el circular es de 138 kb (Crespi *et al* 1992). Entre los diferentes miembros del género *Borrelia*, el tamaño de los plásmidos lineales puede variar entre 16 kb y 200 kb, mientras que los plásmidos circulares no son mayores a 30 kb (Hianeusach y Barbour 1992).

El número de plásmidos diferentes por célula es también una característica sumamente variable. Algunas especies llevan uno o dos plásmidos, mientras que en algunas otras, como en el caso de *Bacillus thuringiensis* cepa 1715 se ha observado la presencia de diecisiete plásmidos (Slater *et al* 1988).

Adicionalmente, el número de copias de un mismo plásmido dentro de una bacteria puede variar desde una ó dos hasta cincuenta copias. Existe una correlación entre el tamaño de los plásmidos y su número: a mayor tamaño menor número de copias (Slater *et al* 1988).

TRANSFERENCIA DE INFORMACIÓN GENÉTICA MEDIADA POR PLÁSMIDOS.

A lo largo de la evolución, los plásmidos probablemente han sido de gran importancia por su capacidad para dispersar e intercambiar información genética dentro de las poblaciones microbianas. De los tres procesos de transferencia de material genético que operan en bacterias (transducción, transformación y conjugación), el mejor estudiado en poblaciones naturales es la conjugación.

Los plásmidos que contienen toda la información genética necesaria para su propia transferencia mediante conjugación, reciben el nombre de plásmidos conjugativos o auto-transferibles. En

existe una región de alrededor de 33 kb en la cual se han identificado cerca de treinta genes no necesarios para que el proceso de auto-transferencia de ADN se lleve a cabo. Al menos cuatro de estos genes están involucrados en la formación de pili (Porter 1991).

Existe otro tipo de plásmidos denominados movilizables los cuales, a diferencia de los conjugativos, carecen de los genes no responsables para la producción de pili y otras funciones de conjugación. A pesar de esta deficiencia, la transferencia de estos plásmidos es eficientemente complementada por plásmidos conjugativos (Porter 1991).

También existen plásmidos que carecen de las funciones de transferencia y movilización los cuales son conocidos como plásmidos no movilizables. Dichos plásmidos pueden llegar a ser transferidos por co-integración con un plásmido movilizable o con un plásmido auto-transferible (Porter 1991).

El material genético transferido de una bacteria a otra, no solo proviene de los propios plásmidos, también el ADN cromosomal puede transferirse mediante plásmidos. Este proceso se describió inicialmente para el factor F de *E. coli* y posteriormente se encontró en algunas especies de *Streptomyces* y *Pseudomonas* (Porter 1991).

Para que la transferencia e intercambio de genes mediada por plásmidos sea exitosa, se requiere que dichos plásmidos sean mantenidos establemente dentro de las bacterias hospederas y coexistan con los plásmidos presentes dentro de estas bacterias. Si dos o más plásmidos, son mantenidos de manera estable dentro de la misma bacteria durante múltiples generaciones, se dice que son compatibles. Por otro lado, si no pueden coexistir se dice que son plásmidos incompatibles. La incompatibilidad es una propiedad que se ha utilizado para clasificar a los plásmidos. Los plásmidos compatibles pertenecen a diferentes grupos de incompatibilidad, y los plásmidos incompatibles pertenecen al mismo grupo de incompatibilidad. Se han descrito 25 grupos de incompatibilidad en *E. coli*, 7 en *Staphylococcus aureus* y 13 en *Pseudomonas* (Couturier et al. 1988, Boronin 1992).

Los elementos genéticos que controlan el número de copias o la partición (segregación), muestran características comunes en plásmidos que pertenecen al mismo grupo de incompatibilidad (Couturier *et al.* 1988).

Uno de los mecanismos de incompatibilidad entre plásmidos se presenta cuando el represor de replicación (proteína o ARN antisentido) de un plásmido, ejerce un efecto inhibitorio sobre la replicación de otro plásmido. La disminución en el número de copias de este último ocasionará al paso de múltiples generaciones la formación de líneas celulares conteniendo uno u otro plásmido (Novick 1987). Por otro lado, el mecanismo de incompatibilidad por partición, se lleva a cabo cuando existe una competencia entre dos plásmidos por el mismo sitio de unión a proteínas de membrana las cuales participan en la segregación. Esta competencia ocasionará una distribución desigual de ambos plásmidos en la población (Austin y Nordstrom 1990).

Algunos plásmidos son capaces de transferirse y replicarse únicamente dentro de un número limitado de especies bacterianas relacionadas. En contraste, otros pueden moverse y replicarse en un amplio rango de bacterias Gram-negativas, como es el caso de los plásmidos que pertenecen a los grupos de incompatibilidad IncP, IncQ e IncW. Estos plásmidos cuentan con algunas funciones que incrementan la probabilidad de un establecimiento exitoso dentro del nuevo hospedero. Como ejemplo podemos mencionar las proteínas Sog (DNA primases), las cuales se sintetizan en la bacteria donadora y se transfieren junto con el plásmido, a la bacteria receptora. Estas proteínas aseguran el inicio de la síntesis de la cadena complementaria, independientemente de las primases de la bacteria receptora. (Wilkins *et al.* 1991). Otro tipo de estrategia utilizada por los plásmidos de amplio rango de hospedero, es la síntesis de proteínas de antirestricción (Ard) las cuales evitan que el plásmido transferido sea digerido por las enzimas de restricción presentes en la célula hospedera. Debido al gran número de residuos ácidos presentes en las proteínas Ard, se ha propuesto que pueden funcionar como polianiones inactivando el sitio de unión al ADN de las enzimas de restricción (Delver *et al* 1991).

La transferencia horizontal de material genético por conjugación no es un proceso que ocurre únicamente entre bacterias; la transferencia de plásmidos conjugativos de *E. coli* a *Saccharomyces cerevisiae* se ha descrito (Amábile-Cuevas and Chicurel 1992), pero el caso más sorprendente de transferencia de información genética es el que se lleva a cabo entre dos grupos taxonómicos extremadamente distantes: bacterias Gram-negativas del género *Agrobacterium* y plantas dicotiledóneas. La transferencia del T-ADN desde el plásmido Ti de *Agrobacterium* hasta el interior de la célula vegetal, se lleva a cabo por medio de una serie de eventos moleculares similares a los que ocurren durante la conjugación entre dos bacterias (Zambryski *et al.* 1989).

FUNCIONES CODIFICADAS EN PLÁSMIDOS Y SU PAPEL EN LA EVOLUCIÓN BACTERIANA.

El estudio de las funciones codificadas en plásmidos, se inició algunos años después de la segunda guerra mundial. Debido al uso masivo de antibióticos durante ese período, comenzaron a aparecer cepas resistentes a múltiples antibióticos. El análisis de las cepas multiresistentes permitió identificar a los plásmidos como los agentes causales de la rápida dispersión de la resistencia a antibióticos. De esta manera, el interés en los plásmidos se expandió rápidamente hasta llegar a formar parte fundamental de la genética moderna.

En años recientes, una buena parte del análisis de funciones codificadas en plásmidos se ha concentrado en aquellos genes con aplicación biotecnológica potencial como los de *Streptomyces* para producción de antibióticos, los de *B. thuringiensis* para producción de toxinas para el control de insectos, los de *Pseudomonas* para la degradación de contaminantes químicos, los de *A. tumefaciens* y *A. rhizogenes* para la transformación genética de plantas y los de *Rhizobium* para la fijación biológica de nitrógeno (Chater y Hopwood 1989). Sin

embargo, en la mayoría de las bacterias los plásmidos son considerados cripticos, es decir se desconoce su función.

Más allá del valor biotecnológico que los plásmidos tienen para el hombre, estos han enriquecido en gran medida la diversidad genética de las comunidades bacterianas, participando tanto en la adaptación de los microorganismos a su medio ambiente como en la colonización de nuevos nichos ecológicos. El más claro ejemplo al respecto está representado por dos bacterias miembros de la familia Rhizobiaceae : *Agrobacterium* y *Rhizobium*.

Parte de la información genética contenida en el plásmido Ti (pTi) de *A. tumefaciens* (el T-ADN) le ha permitido a esta bacteria pasar del suelo al espacio intercelular de un gran número de plantas (643 especies diferentes) y nutrirse a expensas de ellas. Como se mencionó anteriormente, una vez que *Agrobacterium* infecta una planta, el T-ADN se transfiere al cromosoma vegetal. A partir de esta información genética se inicia una descontrolada proliferación de células vegetales alrededor del sitio de infección. Las células transformadas comienzan a producir opinas, compuestos ricos en carbono y nitrógeno los cuales son utilizados por *Agrobacterium* mediante enzimas codificadas en el mismo pTi. Además, las opinas actúan como inductores para la transferencia del pTi, lo cual trae como resultado un mayor número de células vegetales transformadas (Yanagita 1990).

El mecanismo por el cual *Rhizobium* pasa del suelo al interior de las células vegetales de numerosas plantas leguminosas pareciera ser aún más elaborado. Compuestos flavonoides normalmente exudados por las raíces de plantas inducen la expresión de genes de nodulación, localizados en la mayoría de las especies de *Rhizobium*, en el plásmido simbiótico (pSym). Los genes *nod*, *nos* y *nol* participan en la síntesis de un lipo-oligosacárido extracelular, conocido como factor de nodulación (Dénarié y Cullimore 1993). Esta molécula induce la deformación de pelos radiculares, y a nivel del cortex, promueve una actividad meristemática, que culmina con la formación de un nuevo órgano llamado nódulo. En el interior del nódulo, las bacterias sufren

una serie de cambios morfológicos y bioquímicos para llegar al estado de bacteroide. Al mismo tiempo, los genes que codifican para la nitrogenasa se activan, dando inicio el proceso de fijación simbiótica de nitrógeno. Durante la simbiosis, *Rhizobium* aporta nitrógeno en forma de amonio a la planta, y la planta suministra compuestos de carbono a la bacteria.

Aunque el pSym es la parte del genoma de *Rhizobium* mejor caracterizada, existe interés por conocer qué función tienen el resto de los plásmidos de estas bacterias, tanto en su fase de vida libre en el suelo, como durante su interacción con plantas.

ANTECEDENTES

PLÁSMIDOS DE *Rhizobium*.

El genoma de *Rhizobium*, está constituido por un cromosoma y varios plásmidos. El tamaño y número de plásmidos es muy variable aún dentro de miembros de la misma especie. Su tamaño puede variar en un rango que va de 150 kb hasta 1500 kb y el número de plásmidos por célula se ha estimado entre 1 y 10. El tamaño de algunos de los plásmidos de *Rhizobium* es mayor al tamaño promedio de otros plásmidos de bacterias de suelo, los cuales normalmente no rebasan las 350 kb.

La información genética que permite a *Rhizobium* inducir la formación de nódulos y fijar nitrógeno se encuentra casi totalmente localizada, en la mayoría de las especies, en un plásmido denominado plásmido simbiótico (pSim). El pSim constituye la parte del genoma mejor caracterizada en *Rhizobium*; de hecho los mapas físicos y genéticos de algunos plásmidos simbióticos han sido publicados (Charles y Finan 1990; Girard *et al.* 1991; Prakash *et al.* 1981) y recientemente se reportó la secuencia de ADN del plásmido completo pNGR234a de *Rhizobium* sp NGR234, en el cual se localizan la mayoría de los genes simbióticos de esta cepa (Freiberg *et al.* 1997).

Por otro lado, mutaciones localizadas fuera del pSim, así como el análisis de cepas curadas de diferentes plásmidos han permitido conocer que genes localizados en otros replicones también afectan el proceso simbiótico (Brom *et al.* 1992; Hynes y McGregor 1990).

Adicionalmente, los plásmidos simbióticos y no simbióticos son mantenidos establemente durante generaciones sucesivas en cultivos de laboratorio, lo cual sugiere un fuerte compromiso de estos replicones con las funciones celulares de estas bacterias (Mercado-Blanco y Olivares 1993; Weaver *et al.* 1990). De hecho, algunos experimentos realizados en nuestro laboratorio

indican que una cepa de *R. etli* CFN42 curada de casi todos sus plásmidos (excepto por un plásmido de 270 kb producto de una delección) muestra una drástica reducción en su capacidad de crecimiento y sobrevivencia en condiciones de laboratorio (Brom, datos no publicados). Asimismo, una cepa derivada de *R. trifolii* W14-2, curada de todos sus plásmidos, no logra sobrevivir en la rhizosfera de plantas de trébol (Molinne-Lacoz y Weaver 1995).

Adicionalmente, el hecho de que en las cepas *R. etli* CFN42 (Brom *et al.* 1992) y *R. meliloti* SU47 (Charles y Finan 1991), uno de sus plásmidos no ha podido ser completamente eliminado, sugiere que la parte del plásmido que se mantiene, pudiera contener información genética indispensable para la vida de la bacteria.

Datos que resaltan la participación de otros plásmidos tanto en simbiosis como en vida libre están comenzando a aparecer cada vez con mayor frecuencia. Incluso es bastante común observar en la literatura donde se describe un nuevo gen de *Rhizobium*, hibridaciones tipo Southern para determinar si está en plásmido o en cromosoma.

Con la finalidad de tener una visión general del papel que juegan los plásmidos diferentes del pSim en la interacción *Rhizobium-leguminosa*, a continuación presentamos una revisión en la cual hemos recopilado la información más relevante respecto a las funciones codificadas en plásmidos no-simbóticos: Esta revisión, junto con los datos publicados casi simultáneamente por Mercado-Blanco y Toro, permiten tener una clara visión del estado actual de esta área de investigación, así como de sus perspectivas.

Rhizobium plasmids in bacteria-legume interactions

A. García-de los Santos, S. Brom and D. Romero*

The functional analysis of plasmids in *Rhizobium* strains has concentrated mainly on the symbiotic plasmid (pSym). However, genetic information relevant to both symbiotic and saprophytic *Rhizobium* life cycles, localized on other 'cryptic' replicons, has also been reported. Information is reviewed which concerns functional features encoded in plasmids other than the pSym: biosynthesis of cell surface polysaccharides, metabolic processes, the utilization of plant extracts, aromatic compounds and diverse sugars, and features involved symbiotic performance. In addition, factors which affect plasmid evolution through their influence on structural features of the plasmids, such as conjugative transfer and genomic rearrangements, is discussed. Based on the overall data, we propose that together the plasmids and the chromosome constitute a fully integrated genomic complex, exhibiting structural features as well as saprophytic and cellular functions.

Keywords: free-living metabolism, genomic organization, plasmid, *Rhizobium*, symbiosis.

An Overview of the Components in the *Rhizobium* Genome

Rhizobium spp. are well known among Gram-negative bacteria because of the huge amount of genetic information carried in an extrachromosomal pool. Large circular plasmids ranging in size from 150 to 1500 kb, are common components of the *Rhizobium* genome. In fact, the megaplasmids of *R. meliloti* (1200 to 1500 kb) are among the largest known bacterial plasmids (Campbell 1993). The number of different plasmids present in *Rhizobium* is very variable both intra- and inter-species, ranging from two to ten. Calculations based on assumed sizes for the chromosome, indicate that these plasmids may represent between 25 and 50% of the total genome (Martínez *et al.* 1990). In most *Rhizobium* species many genes involved in nodulation and nitrogen fixation are encoded on a single large plasmid, the symbiotic plasmid or pSym.

Plasmids have long been considered (by definition) as unessential components of bacterial genomes, not required for the survival and replication of individual bacteria. Their recognized function is to confer additional, albeit dispensable traits that enhance the ability of bacterial populations to colonize and compete in natural communities. The pSmys conform to this definition by conferring the ability to colonize a particular niche, the legume root nodule. The basic and applied implications of nodulation and N₂ fixation have motivated intense research into the genetic basis of these phenomena which has been concentrated almost invariably on the pSym (see Fischer 1994 and Schultze *et al.* 1994 for recent reviews).

pSym however, represent a comparatively small part of the extrachromosomal pool. The remaining plasmids have been considered until recently, as 'cryptic' plasmids. Are they truly cryptic? Is it possible for a bacterial cell to harbor such a sizable amount of DNA without any detrimental effect? Are these plasmids dispensable components or do they carry essential functions? What role do these plasmids play in bacteria-legume interactions? In this article, we review the relevant information pertaining to these issues, which has appeared during the past few years.

Plasmids however, represent a comparatively small part of the extrachromosomal pool. The remaining plasmids have been considered until recently, as 'cryptic' plasmids. Are they truly cryptic? Is it possible for a bacterial cell to harbor such a sizable amount of DNA without any detrimental effect? Are these plasmids dispensable components or do they carry essential functions? What role do these plasmids play in bacteria-legume interactions? In this article, we review the relevant information pertaining to these issues, which has appeared during the past few years.

Genetic Strategies Employed in Plasmid Analysis

In what way do these plasmid structures affect the cellular function? Different experimental approaches have sought to answer this question. A widely used technique has been

The authors are with the Depto. de Genética Molecular, Centro de Investigaciónes sobre Flujos de Información, UMSNH, A. P. Postal 380-A, Cuernavaca, Morelos, México, Icex: (76) 17 29 81. *Corresponding author.

employed for the direct visualization of large plasmids (Sobischetti 1978). A gross analysis of plasmid-encoded functions involves the isolation of derivatives which are cured of the plasmids. These have been obtained either through heat-curing procedures (see Martinez *et al.* 1990 for a review) or by employing new procedures that allow the positive selection for loss of function (Hynes *et al.* 1989; Flores *et al.* 1993). These methods have permitted the systematic analysis of whole plasmid sets in *R. etli*, and in *R. leguminosarum* bv. *viciae* and *trifoli* (Hynes & McGregor 1990; Baldani *et al.* 1992; Brom *et al.* 1992; Stepkowski *et al.* 1993). Although the megaplasmids of *R. meliloti* have been recalcitrant to cure, their analysis has been carried out by elegant genetic techniques that have lead to the directed generation of large deletions (Charles & Finan 1991).

Another approach widely used for the comprehensive analysis of plasmid functions is the construction of derivatives which acquire whole plasmids through genetic transfer (see Martinez *et al.* 1990 1992 for a review). The generation of complete physical maps of rhizobial plasmids (Prakash *et al.* 1981; Girard *et al.* 1991; Petretti *et al.* 1991; Honeycutt *et al.* 1993), are very useful assets to the study of plasmids, including the determination of transcriptional patterns of plasmid regions (David *et al.* 1987; Feilley *et al.* 1995; L. Girard, unpublished work). The study of plasmid stability (Mercado-Blanco & Olivares 1993; Mercado-Blanco & Olivares 1994), dynamics (Brom *et al.* 1991; Romero *et al.* 1991; Flores *et al.* 1993; Romero *et al.* 1995b), and transmissibility (see below), are other useful aids for their functional and evolutionary scrutiny.

Besides the research directed to the analysis of whole plasmids, other studies have been aimed at specific genes, employing the whole array of genetic methodologies developed for *Rhizobium* (reviewed in Martinez *et al.* 1990). New strategies for the isolation of specific DNA sequences (Bjouuron *et al.* 1992) and for the integration of genetic information (Uchimi *et al.* 1993; Uchimi *et al.* 1995) are continually devised.

The characterization of plasmids themselves, by their presence, size and restriction fragment length polymorphisms has been used for taxonomic purposes (Schofield *et al.* 1987; Young & Wexler 1988; Demereza *et al.* 1991; Laguerre *et al.* 1992).

Although research in *Rhizobium* plasmids has been focused mainly on the symbiotic plasmids, the participation of other replicons in symbiotic and other cellular functions has been evidenced.

Deciphering the Genetic Functions Encoded in Rhizobium 'Cryptic' Plasmids

Biosynthesis of Cell Surface Polysaccharides

The functions of exopolysaccharides (EPS) in the free-living state have been associated with nutrient gathering,

attachment and stress-protection, while in symbiosis they are required (in hosts which form indeterminate nodules) for successful nodule invasion and development (Leigh & Walker 1994). Strains of *Rhizobium meliloti* carry a 24 kb cluster of EPS biosynthetic genes on a megaplasmid distinct from the pSym (Leigh & Walker 1994). Regulation of EPS biosynthesis is apparently controlled by plasmids in other *Rhizobium* species. For instance, the *psr* gene in the pSym of *R. leguminosarum* bv. *phaseoli* inhibits EPS synthesis (Borthakur & Johnston 1987); a sequence with a similar function in *S. fredii* appears to be located in a plasmid other than the pSym (Barbour & Elkan 1990).

Lipopolysaccharide (LPS) molecules are essential components of the bacterial outer membrane. In *R. leguminosarum* bv. *viciae* (Hynes & McGregor 1990), *R. leguminosarum* bv. *trifoli* (Baldani *et al.* 1992), and *R. etli* (Brom *et al.* 1992), genes involved in LPS biosynthesis have been localized on non-symbiotic plasmids. Mutations in plasmid-borne LPS genes cause strong alterations on the cell surface, affecting not only free-living features such as morphology, motility and aggregation, but also effective nodulation in hosts which form determinate nodules. Functional complementation (Hynes & McGregor 1990; Noel 1992, A. Garcia de los Santos, S. Brom & D. Romero, unpublished work) and structural homology studies (unpublished work) strongly suggest that plasmid-borne LPS genes may be highly conserved between *R. leguminosarum* and *R. etli* strains. Notably, *R. meliloti* Rm11 also carries a gene involved in LPS biosynthesis, *lpsZ* on the *rps* megaplasmid; this gene is absent in other *R. meliloti* strains, such as KmSU47 (Williams *et al.* 1990).

These findings cast some doubt about the commonly-held view that plasmids encode determinants of episodic, dispensable nature. The profound effects of EPS or LPS loss on cell physiology clearly illustrate their necessity for bacterial survival.

Sequences Related to Metabolic Processes

Rhizobium plasmids may carry genomic sequences required for central metabolic pathways. *R. tropici* harbours duplicate genes for citrate synthase, one on the chromosome and the other on the pSym. Mutations in the plasmid-borne copy provoke a decreased enzyme activity, at least in some growth conditions and also lead to diminished nodulation (Pardo *et al.* 1994). The *R. meliloti* rps megaplasmid also contains C₄-dicarboxylate transport genes, which have a pleiotropic effect on the utilization of many TCA cycle intermediates as growth substrates (Watson *et al.* 1988). Two loci involved in thiamine biosynthesis have also been ascribed to the same megaplasmid (Finan *et al.* 1980). Superoxide dismutase enzyme activity is plasmid-conditioned in *R. leguminosarum* bv. *trifoli*, and in this organism there are two electromorphs of both hexokinase and carbamate kinase: one electromorph of each enzyme is lost

upon plasmid curing. Enzymes required for the use of nitrate as nitrogen source also depend on the presence of plasmids (Baldani *et al.* 1992). Comparison of growth rates among parental and plasmid-cured derivatives indicates the existence of other undefined metabolic traits in *R. leguminosarum* bv. *vicinus* (Hynes & McGregor 1990) and *R. etli* (Brom *et al.* 1992). Derivatives cured of some plasmids of *R. leguminosarum* bv. *trifoli* (Baldani *et al.* 1992) and *R. etli* (Brom *et al.* 1992) could not be obtained. In *R. meliloti*, approximately 200 kb of the *pse* megaplasmid were recalcitrant to deletion (Charles & Finan 1991). These data suggest that these plasmids may carry genes whose functions are essential for cellular viability.

Utilization of Plant Metabolites

Plant root exudates provide a rich source of nutrients for microorganisms. Genes required for the catabolism of some of these compounds have been localized on Rhizobium plasmids. The *mcu* and *mcv* genes, involved in the synthesis and catabolism of rhizopine, an opine-like compound in alfalfa, have been shown to be closely linked on the pSym of a *R. meliloti* strain. Moreover, the expression of the *mcu* genes is regulated through the NifA/NtrA system, which controls the expression of N_2 fixation genes (Saint *et al.* 1993). In another *R. meliloti* strain, genes involved in the catabolism of trigonelline, stachydrine and camitine, a group of betaines produced by *Madrigo setosa*, are located on the pSym (Goldmann *et al.* 1991). Trigonelline utilization has been shown to be associated with a non-Sym plasmid in *R. etli* (unpublished work). Calystegin catabolic genes were found in one *R. meliloti* strain out of 42 tested rhizosphere bacteria. The genes were located on a non-Sym anti-transmissible plasmid (Teferi *et al.* 1988).

It is possible that *Rhizobium* strains containing this kind of gene may have a selective growth advantage in the rhizosphere microenvironment. Thus, these genes correspond to the class more commonly found on plasmids: genes for episodic use, in this case, for bacteria-plant interactions.

Utilization of Aromatic Compounds and Diverse Sugars

The soil environment contains many aromatic compounds originating from root exudates and plant degradation. These compounds play multiple roles in *Rhizobium-legume* interactions as inducers of nodule development (Schulteis *et al.* 1994), as chemoattractants (Parke *et al.* 1985), and as growth substrates for *Rhizobium* (Parke & Orman 1984; Hartwig *et al.* 1991). In *R. meliloti*, deletions of the *exo* megaplasmid impair the ability to use the aromatics protocatechuate and quinate as sole carbon sources (Charles & Finan 1991). The ability to utilize the aromatic compound catechol is encoded in the pSym of a *Rhizobium leguminosarum* bv. *trifoli* strain (Baldani *et al.* 1992).

Utilization of diverse sugars appears to depend on plasmids other than the pSym. The *R. meliloti* *exo* megaplasmid has been related to the utilization of melibiose, raffinose, acetoacetate, and β -hydroxybutyrate (Charles & Finan 1991). Two β -galactosidase activities have been detected in *R. meliloti*: one of them is lactose-inducible and has been ascribed to the *exo* megaplasmid (Charles *et al.* 1990). The study of the plasmid-cured derivatives *R. leguminosarum* bv. *trifoli* has shown that sequences required for the utilization of rhamnose, sorbitol, adonitol, arabinose, glycerol, lactose and malate are distributed among diverse plasmids (Baldani *et al.* 1992).

The availability of these additional functions, contributes to the metabolic diversity of these microorganisms, and probably confers on them an adaptive advantage over other soil bacteria. Their assignment to plasmids facilitates their distribution in the population and is in agreement with the classical view of plasmids.

Nodulation Competitiveness and Symbiotic Nitrogen Fixation

In agricultural fields, native *Rhizobium* strains usually dominate nodulation over introduced strains. This poses a problem for the increase in legume productivity by inoculation with selected highly effective N_2 -fixing bacteria. Analyses of plasmid-cured derivatives of *R. leguminosarum* bv. *vicinus* (Hynes 1990), *R. etli* (Brom *et al.* 1992), and *R. fredii* (Barbour & Elkan 1990), have shown that sequences required to achieve wild type competitive levels are distributed among various non-Sym plasmids. *R. etli* transconjugants improved their competitiveness for nodule occupancy upon the introduction of an *R. tropici* plasmid (Martinez-Romero & Rossmann 1990). A DNA region related to nodulation efficiency and competitiveness, termed *ese* (nodule formation efficiency), has been assigned to a plasmid of *R. meliloti* (Soto *et al.* 1994).

The presence of determinants involved in N_2 fixation, has also been shown in *R. leguminosarum* bv. *vicinus* (Hynes & McGregor 1990), *R. etli* (unpublished work) and *R. meliloti* (Rastogi *et al.* 1992) non-Sym plasmids.

Whereas the above mentioned studies indicate a positive involvement of plasmid sequences in symbiosis, other reports show that some plasmids may have a negative effect on symbiotic effectiveness. Loss of a 'cryptic' plasmid in strains of *R. loto* enhances their N_2 fixation and nodulation competitiveness (Parikhurst *et al.* 1986). Deletions in a 'cryptic' *R. leguminosarum* bv. *vicinus* plasmid, result in effective nodulation on a previously ineffective host (Selitschka & Lotz 1991). Also in a strain of *R. meliloti*, an increase in effective N_2 fixation was correlated to the loss of a 'cryptic' plasmid (Velásquez *et al.* 1995). The molecular basis of many of these effects is still unknown.

The symbiotic capacity of *Rhizobium* strains depends on the interaction of a great number of factors some of them being directly involved in the process while others act

indirectly. Genetic sequences related to this array of factors are distributed among the different plasmids.

Other Functions

Chaperonin-encoding genes, such as *groEL*, have been located both on the chromosome and on megaplasmids of *R. meliloti* (Rusanganwa & Gupta 1993). Studies in both *Bradyrhizobium japonicum* (Fischer 1994) and *R. meliloti* (Long *et al.* 1991) suggest their involvement in symbiosis.

Melanin production is a widespread characteristic among *Rhizobium* species (Cubo *et al.* 1988). Although its function is unknown, it has been proposed as a defence against toxic plant phenols. Melanin biosynthesis is also plasmid-encoded either by the pSym (Cubo *et al.* 1988) or by 'cryptic' plasmides (Hynes & McGregor 1990; Mercado-Blanco *et al.* 1993).

An acid-tolerant phenotype in a strain of *R. leguminosarum* bv. *trifoli* has also been associated with a plasmid (Chen *et al.* 1993).

As described in this section many dissimilar functions, either housekeeping or dispensable, may be plasmid-borne. The location of many of these traits was discovered during studies on the genetic basis of a particular characteristic, rather than from more comprehensive studies of the role of plasmid *per se*. Research along this line will probably reveal new plasmid-linked phenotypes in years to come.

Factors Influencing Plasmid Evolution

Conjugative Transfer

Conjugative transfer of indigenous plasmids has been observed among *Rhizobium leguminosarum* strains under laboratory conditions (Johnston 1982; Geniaux & Amarger 1993) or under conditions resembling the soil environment (Kinikle & Schmidt 1991; Rao *et al.* 1994). The transmissible plasmids vary in their transference frequency, their size and in the genetic information they carry; sometimes they correspond to the pSym. In addition to being self-transmissible, some plasmids may induce the mobilization of other replicons (Johnston *et al.* 1982; Mercado-Blanco & Olivares 1993; unpublished work).

Very few data are available regarding the classification of rhizobial plasmid incompatibility groups. The incompatibility between an *Ri* plasmid of *Agrobacterium* and as *R. leguminosarum* bv. *trifoli* pSym has been reported (O'Connell *et al.* 1987). We have observed the incompatibility between an *R. etli* plasmid and a *Ti* plasmid from *Agrobacterium tumefaciens* (unpublished work). Other data show incompatibility between some *virC* and *phage* pSyma (Johnston *et al.* 1982), or between some *Ri* and *R. leguminosarum* bv. *trifoli* plasmids (unpublished work). Not all pSyma correspond to the same incompatibility group, as strains with two pSyma, having the same (Geniaux & Amarger 1993),

or a different (Hooykaas *et al.* 1981) host-range have been constructed.

The analysis of chromosomal and plasmid characteristics in natural populations of *R. leguminosarum* biovars, such as *meliloti* (Schofield *et al.* 1987), *phaseoli* (Geniaux *et al.* 1993) and *viciae* (Young & Wexler 1988) and also in *R. gallegii* (Kajalaismaki & Lindstrom 1989) supports the occurrence of natural plasmid exchange. A theoretical analysis of some of these data suggests that 10% (*R. gallegii*) or 15 to 30% (*R. leguminosarum* bv. *viciae*) of all genetic types in these populations have been either the source or the recipient of a plasmid transfer event (Valdés & Piñero 1992). In fact, present *R. leguminosarum* bv. *phaseoli* strains apparently arose by natural transfer of the pSym of *R. etli* into a *R. leguminosarum* genomic background (Segovia *et al.* 1993). Although most of the evaluations of plasmid transfer refer to the pSym, they may apply to other plasmids as well. These data clearly reveal the important role of plasmid transfer in the structuring of new genetic types in *Rhizobium* populations.

For a plasmid transfer event to be successful, several barriers must be surmounted. Leaving aside the barriers imposed by the transfer process itself, an incoming plasmid must defeat barriers such as restriction-modification systems and incompatibility with resident plasmids. A frequently overlooked factor is the burden that replication of a new plasmid imposes on the recipient cell. Experiments in *Escherichia coli* show that the introduction of a new plasmid reduces the fitness of the host cell. However, growth of the recipient cell under selective conditions for as few as 500 generations ameliorates the deleterious effect of the new plasmid, even under non-selective conditions (Levin 1993). Changes involved in this restoration of fitness affect either the recipient cell or both the cell and the incoming plasmid, thus being truly coevolutionary. It is reasonable to suppose that coevolutionary processes similar to these have been important in the structuring of plasmid-chromosome complexes in *Rhizobium*.

In addition to being a helpful tool for the explanation of evolutionary changes, plasmid transmissibility for the construction of improved strains has been a long coveted but unfulfilled goal in NI fixation research. What are the mechanisms governing rhizobial plasmid transfer? This problem has not yet been addressed but we can speculate that the mechanisms may be similar to those acting for pTi transfer in *Agrobacterium* (Piper *et al.* 1993) as these species belong to the same family and share certain structural and functional features.

Genomic Rearrangements

As components of a genome that is particularly dynamic (see Romero *et al.* 1993a), plasmids in *Rhizobium* are subjected to frequent structural reshuffling. High-frequency rearrangements have been observed in the plasmids of

several *Rhizobium* species (Djordjević *et al.* 1982; Zurkowski 1982; Bron *et al.* 1991; Romero *et al.* 1991, 1995b; Seibertschka & Lotz 1991; Rastogi *et al.* 1992; Flores *et al.* 1993). Many different types of genomic rearrangements, including cointegration, translocation, deletion and amplification of specific sequences participate in the frequent generation of structural diversity (see Romero *et al.* 1995a). Recombination among reiterated sequences appears to be responsible for such variation. Although many of the studies have focused on the plasticity exhibited by pSym, these rearrangements also occur in non-pSym plasmids (Bron *et al.* 1991; Seibertschka & Lotz 1991; Flores *et al.* 1993).

While the biological role of many of these rearrangements remains to be established, some of them may have beneficial effects for the host cell. For instance, the deletions in a *R. leguminosarum* bv. *nodicea* 'cryptic' plasmid discussed above, lead to effective nodulation on a previously ineffective host (Seibertschka & Lotz 1991). In *R. etli*, a tandem amplification in the pSym endows an increase in N₂ fixation, at least in some genomic backgrounds (unpublished work). Recombination events between different pSym have been implied in the generation of a hybrid symbiotic plasmid (Christensen & Schubert 1983). Additional work is required in order to gain more insight into the forces that have contributed to the structuring of the plasmid component as we see it today.

Conclusions and Perspectives

The data presented in this review indicate that the *Rhizobium* genome is organized in differently sized replicons (chromosome plus plasmids) which together constitute a functional unit.

Bacterial plasmids have generally been regarded as molecules conferring additional features to an already complete genome. This may not apply to *Rhizobium* plasmids which have been shown to carry genes involved in basic metabolic functions, the synthesis of cellular components and the utilization of growth nutrients. Many of these genes indirectly affect symbiotic traits but the question remains if some of them (or others still not described) have a direct involvement in symbiosis. The presence of indispensable genetic information on plasmids has not been conclusively demonstrated but is strongly suspected due to the inability to cure different *Rhizobium* strains of some plasmids. It is also notable that these functions are not concentrated on a single plasmid. In the cases where a comprehensive analysis of plasmid functions has been made (Hynes & McGregor 1980; Beldani *et al.* 1992; Bron *et al.* 1992), curing of almost every plasmid reveals important phenotypes, either saprophytic, symbiotic or both. Furthermore, interplasmid functional interactions are suggested by the drastic enhancement of phenotypic effects in multiple plasmid-cured derivatives (unpublished work). Thus, the functional organization of the *Rhizobium* genome is clearly multipartite, constituting a fully integrated genomic complex. What features have converged to result in this genomic organization? Genomic reiterations and insertion sequences are thought to play principal roles in this process, due to their participation in the generation of rearrangements. The interchange of genetic information caused by conjugation also should have an impact on its final outcome. Other questions which should be addressed in the future concern the implementation of new strategies to study the biological impact of such genomic organization, the clarification of the presence of vital genetic information, the definition of genetic transfer mechanisms and the comparison with other bacteria in order to determine if this type of genomic organization is exclusive to the rhizobia.

Acknowledgements

We thank Esperanza Martínez-Romero and Rafael Palacios for critical review of the manuscript. Work from the author's laboratory was partially supported by grant IN200893 (DGAPA-UNAM).

References

- Beldani, J.I., Weever, R.W., Hynes, M.F. & Eardly, B.D. 1992 Utilization of carbon substrates, electrochemical enzyme patterns and symbiotic performance of plasmid-cured *Rhizobium*. *Applied and Environmental Microbiology* 58: 2306-2314.
- Barker, W.M. & Blue, G.H. 1989 Physiological characteristics and competitive ability of plasmid-cured derivatives of *Rhizobium* fimbri USA30. *Archives of Microbiology* 152: 1-6.
- Bennion, A.J., Stone, C.E. & Cooper, J.E. 1992 Combined subtractive hybridization and polymerase chain reaction analysis of plasmid genes of *Rhizobium* fimbri USA30: identification of DNA sequences associated with symbiosis. *Applied and Environmental Microbiology* 58: 2309-2311.
- Burkholder, D. & Johnson, A.W.B. 1987 Sequence of *psr*, a gene on the symbiotic plasmid of *Rhizobium* phaseoli which inhibits endopolysaccharide synthetase and methylation and demonstration that its transcription is inhibited by *psr*, another gene on the pSym plasmid. *Molecular and General Genetics* 209: 145-154.
- Bron, S., García de la Torre, A., Gómez, L., Dávila, G., Palacios, R. & Romero, D. 1991 Host-dependent genomic rearrangements in *Rhizobium leguminosarum* bv. *phaseoli* plasmids. *Journal of Bacteriology* 173: 1344-1360.
- Bron, S., Gordillo de la Torre, A., Stephenson, T., Flores, M., Dávila, G., Romero, D. & Palacios, R. 1992 Different plasmids of *Rhizobium leguminosarum* bv. *phaseoli* are required for optimal symbiosis. *Journal of Bacteriology* 174: 2185-2199.
- Campbell, A.M. 1993 Current organization in prokaryotes. *Current Opinions in Genetics and Development* 3: 837-844.
- Charles, T.C. & Poole, T.M. 1991 Analysis of a 1600-kilobase *Rhizobium* mectis megaplasmid using deleted deletions generated in vivo. *Genetics* 127: 3-20.
- Charles, T.C., Smith, R.B. & Poole, T.M. 1990 Lactose utilization and expression of genes by megaplasmids in *Rhizobium* mectis SU47: implications for selection studies. *Journal of General Microbiology* 136: 2497-2502.

- Chen, Y.P., Gethman, E.B. & Rolfe, B.G. 1983 Involvement of genes in complementation in the acid-lemon production of *Rhizobium leguminosarum* bv. *trifoli*. *Applied and Environmental Microbiology* **49**, 1690-1694.
- Christensen, A.H. & Schubert, K.R. 1983 Identification of a *Rhizobium* *leguminosarum* coding for nitrogen fixation and nodulation genes and its interaction with pRSB11, a *Rhizobium leguminosarum* symbiotic plasmid. *Journal of Bacteriology* **156**, 592-599.
- Cohen, M.T., Rabinowitch, C., Luria, J.E. & Katz-Silva, J.E. 1980 Melanin production by *Rhizobium meliloti*. *Applied and Environmental Microbiology* **36**, 1812-1817.
- David, M., Dommergues, O., Poghosian, P. & Kahn, D. 1987 Transcription patterns of *Rhizobium meliloti* symbiotic plasmid plvB: identification of nifA-independent genes. *Journal of Bacteriology* **169**, 2239-2246.
- Desai, D.H., Roselli, T.B., Watson, J.M. & Gibson, A.H. 1991 Genetic diversity among *Rhizobium leguminosarum* bv. *trifoli* strains revealed by allelozyme and restriction fragment length polymorphism analysis. *Applied and Environmental Microbiology* **57**, 3489-3495.
- Djordjevic, M.A., Zarkovski, W. & Rolfe, B.G. 1982 Plasmids and properties of symbiotic bacteria of *Rhizobium meliloti*. *Journal of Bacteriology* **155**, 590-596.
- Eckhardt, T. 1978 A rapid method for the identification of plasmid deoxyribonucleic acid in bacteria. *Plasmid* **1**, 584-588.
- Felley, R., Ferret, X., Vigney, V., Brougham, W.J. & Brunner, S. 1995 Organization of host-inducible transcripts on the symbiotic plasmid of *Rhizobium sp.* NGR242. *Molecular Microbiology* **18**, 1001-1007.
- Fischer, H.M. 1994 Second symbiotic megaplasmid in *Rhizobium meliloti* carrying exopolysaccharide and thiamine synthesis genes. *Journal of Bacteriology* **176**, 66-72.
- Fischer, H.M. 1994 Genetic regulation of nitrogen fixation in rhizobia. *American Review* **88**, 352-380.
- Flores, M., García, E., Palacios, T., García, L., Díaz-Vilà, G., Romero, D. & Palacio, R. 1993 Gene amplification in *Rhizobium*: Identification and in vivo cloning of discrete amplifiable DNA regions (megallocines) from *Rhizobium leguminosarum* bv. *phaseoli*. *Proceedings of the National Academy of Sciences of the United States of America* **90**, 4932-4936.
- García, E. & Amarger, N. 1993 Diversity and stability of plasmid transposons in isolates from a single field population of *Rhizobium leguminosarum* bv. *viscacia*. *Microbial Ecology* **28**, 251-260.
- García, E., Laguarre, G. & Amarger, N. 1993 Comparison of geographically distant populations of *Rhizobium* isolated from root nodules of *Phaseolus vulgaris*. *Molecular Ecology* **2**, 1-8.
- García, E., Flores, M., Brum, S., Komatsu, D., Palacios, R. & Díaz-Vilà, G. 1991 Structural complexity of the symbiotic plasmid of *Rhizobium leguminosarum* bv. *phaseoli*. *Journal of Bacteriology* **173**, 2411-2419.
- Goldman, A., Boivin, C., Fleury, V., Message, B., Lecomte, L., Malik, M. & Tepfer, D. 1991 Bacterial use by rhizosphere bacteria: genes essential for trimellitic, stachydrine and camptothecin catabolism in *Rhizobium meliloti* are located on pSym in the symbiotic region. *Molecular Plant-Microbe Interactions* **4**, 571-579.
- Hartwig, J.A., Joseph, C.M. & Phillips, D.A. 1991 Flavonoids released naturally from allelic ends enhance growth rate of *Rhizobium meliloti*. *Plant Physiology* **99**, 797-803.
- Houssayat, R.J., McClelland, M. & Sobral, B.W.S. 1993 Physical map of the genome of *Rhizobium meliloti* 1021. *Journal of Bacteriology* **175**, 6945-6952.
- Hynes, P.J., Van Brussel, A.A.M., De Datta-Rao, H., Von Shantz, G.M. & Schell, J.B.A. 1981 Symplasmid of *Rhizobium meliloti* isolated in different symbiotic species and in *Agrobacterium* homoplasms. *Nature* **291**, 351-353.
- Hynes, M.F. 1980 The role of plasmids in competition between strains of *R. leguminosarum*. In *Nitrogen Fixation: achievements and objectives*, eds Gerhardt, P.M., Roth, L.E., Stacey, C. & Murray, R.W.E. p.262. New York & London Chapman & Hall.
- Hynes, M.F. & Newland, N.E. 1981 Evidence that more than the nodulation plasmid is necessary for formation of nitrogen fixing nodules by *Rhizobium leguminosarum*. *Molecular Microbiology* **6**, 567-574.
- Hynes, M.F., Chanda, J., O'Connell, M.P. & Pöhler, A. 1989 Direct selection for the curing and deletion of *Rhizobium* plasmids using transposons carrying the *lacZ* marker gene. *Curr. Genet.* **26**, 111-120.
- Johansen, A.W.B., Hombrucker, G., Brown, N.J. & Cooper, M.C. 1982 Two transmissible plasmids in *Rhizobium leguminosarum* serovar *S30*. *Journal of General Microbiology* **128**, 85-93.
- Kajitaniwa, S. & Lindström, K. 1989 Restriction fragment length polymorphism analysis of *Rhizobium leguminosarum* strains. *Journal of General Microbiology* **135**, 5611-5616.
- Kirkle, B.B. & Schell, J.B. 1991 Transfer of the pea symbiotic plasmid pRSB11 in nonsterile soil. *Applied and Environmental Microbiology* **57**, 3224-3229.
- Laguarre, G., Mazauric, S.I. & Amarger, N. 1992 Plasmid profiles and restriction fragment length polymorphism of *Rhizobium leguminosarum* bv. *viscacia* in field populations. *FEMS Microbiology Ecology* **87**, 17-26.
- Leigh, J.A. & Walker, G.C. 1994 Exopolysaccharides of *Rhizobium*: synthesis, regulation and symbiotic function. *Trends in Genetics* **10**, 63-67.
- Levin, B.R. 1993 The accessory genetic elements of bacteria: existence conditions and coevolution. *Current Opinion in Genetics and Development* **3**, 840-850.
- Liu, S.R., Flory, J.F., Ogden, J., Stevenson, J., Erhardt, D.W., Abbott, J.E. & Schell, J.B. 1991 *Rhizobium meliloti* nodulation gene regulation and molecular signals. In *Advances in Molecular Genetics of Plant-Microbe Interactions*, eds Hennecke, H. & Verma, D.P.S. pp.127-133. Amsterdam: Kluwer Academic.
- Martínez, E., Romero, D. & Palacio, R. 1990 The *Rhizobium* genome. *Critical Reviews in Plant Sciences* **9**, 55-83.
- Mercado-Blanco, J. & Rosendo, M. 1994 Increased bean (*Phaseolus vulgaris* L.) nodulation competitiveness of genetically modified *Rhizobium* strains. *Applied and Environmental Microbiology* **60**, 2384-2388.
- Mercado-Blanco, J., García, F., Fernández-López, M. & Olivares, J. 1993 Melanin production by *R. meliloti* CR4 is linked to nifH and nifD genes. Isolation of pRmneCR4b: cloning, sequencing and expression of the tyrosine gene nifA. *Journal of Bacteriology* **175**, 5403-5410.
- Mercado-Blanco, J. & Olivares, J. 1993 Stability and transmissibility of the cryptic plasmids of *Rhizobium meliloti* CR4. *Archives of Microbiology* **160**, 477-485.
- Mercado-Blanco, J. & Olivares, J. 1994 A protein involved in the formation of large colonies of *Rhizobium meliloti* CR4 in *Agrobacterium* shows homology to eukaryotic cytoskeletal proteins and DNA-binding proteins. *Curr. Genet.* **26**, 133-134.
- Noel, K.D. 1992 Rhizobium polysaccharides required in symbiosis with legumes. In *Molecular Signals in Plant-Microbe Communication*, ed. Verma, D.P.S. pp.341-357. Boca Raton: CRC press.
- O'Connell, M.P., Hynes, M.F. & Pöhler, A. 1987 Incompatibility between a *Rhizobium* Sym plasmid and a R plasmid of *Agrobacterium*. *Plasmid* **30**, 150-163.

- Parkhurst, C.E., McDonald, P.E. & Reeves, J.M. 1986 Enhanced nitrogen fixation and competitiveness for nodulation of *Lathyrus* by a plasmid-free derivative of *Rhizobium loti*. *Journal of General Microbiology* **132**, 2321-2328.
- Pardo, M.A., Lagnuez, J., Miranda, I. & Martinez, E. 1994 Nodulating ability of *Rhizobium tropici* is conditioned by a plasmid encoded citrate synthase. *Molecular Microbiology* **13**, 313-321.
- Parke, D. & Ormston, L.N. 1984 Nutritional diversity of *Rhizobium* revealed by autotransgraphy. *Journal of General Microbiology* **130**, 1743-1750.
- Parke, D., Rivelli, M. & Ormston, L.N. 1985 Chemosensitivity to aromatic and hydroaromatic acids: comparison of *Rhizobium lupini* and *Rhizobium trifoli*. *Journal of Bacteriology* **163**, 417-422.
- Perry, A., Broughton, W.J. & Brenner, S. 1991 Canonical ordered composite library of the symbiotic plasmid of *Rhizobium* species NCGR224. *Proceedings of the National Academy of Sciences of the United States of America* **88**, 1923-1927.
- Piper, K.R., Beck, S. & Ferrand, S.K. 1993 Conjugation factor of *A. nif* plasmids regulates *Tl* plasmid transfer by autoinduction. *Nature* **363**, 448-450.
- Prahlow, J., Veen, J.M. & Schipperoort, R.A. 1981 Restriction endonuclease mapping of *Rhizobium leguminosarum* sym plasmid *Plasmid* **27**, 271-280.
- Rao, J.R., Fenton, M. & Jarvis, B.D.W. 1994 Symbiotic plasmid transfer in *Rhizobium leguminosarum* bv. trifoli and competition between the inoculant strain ICMP2163 and trans-conjugant soil bacteria. *Soil Biology and Biochemistry* **26**, 339-351.
- Ramsey, V.K., Bromfield, E.S.P., Whitwell, S.T. & Barran, L.R. 1992 A cryptic plasmid of indigenous *Rhizobium meliloti* possesses reiterated *nifC* and *nifE* genes and undergoes DNA rearrangement. *Canadian Journal of Microbiology* **38**, 563-568.
- Romero, D., Brion, S., Martínez-Salazar, J., Girard, L., Palacios, R. & Dávila, G. 1991 Amplification and deletion of a *nifM*-region in the symbiotic plasmid of *Rhizobium phaseoli*. *Journal of Microbiology* **26**, 437-441.
- Romero, D., Dávila, G. & Palacios, R. 1995a The dynamic genome of *Rhizobium*. In: *Bacterial genomes: Physical structure and Analysis*, eds de Brujin, F.J., Lupski, J.R. & Weinstock, G. New York: Chapman and Hall in press.
- Romero, D., Martínez-Salazar, J., Girard, L., Brion, S., Dávila, G., Palacios, R., Flores, M. & Rodríguez, C. 1995b Discrete amplifiable regions in the symbiotic plasmid of *Rhizobium etli* CFN42. *Journal of Bacteriology* **177**, 973-980.
- Rusangenwa, E. & Gupta, R.S. 1993 Cloning and characterization of multiple *groEL* chaperonin-encoding genes in *Rhizobium meliloti*. *Gene* **128**, 67-75.
- Sant, C.P., Wedder, M., Murphy, P.J., Tempé, J., Take, M.E. & Miller, R.L. 1994 The function of genes for synthesis and catabolism of a new rhizopine induced in nodules by *Rhizobium meliloti* Rm220-3: extension of the rhizopine concept. *Journal of Bacteriology* **176**, 5205-5215.
- Schofield, P.R., Gibson, A.H., Dudman, W.F. & Watson, J.M. 1987 Evidence for genetic exchange and recombination of *Rhizobium* symbiotic plasmids in a soil population. *Applied and Environmental Microbiology* **53**, 103-107.
- Schulze, M., Kammerer, E., Reiter, P., Bourre, M. & Konradsen, A. 1990 Cell and molecular biology of *Rhizobium*-plant interactions. *International Review of Cytology* **186**, 1-75.
- Segovia, L., Young, J.P.W. & Martínez-Romero, E. 1993 Reclassification of american *Rhizobium leguminosarum* bv. phaseoli type I strains as *Rhizobium etli* sp. nov. *International Journal of Systematic Bacteriology* **43**, 374-377.
- Serradell, M. & Ormston, L.N. 1991 Instability of cryptic plasmids affect the symbiotic effectiveness of *Rhizobium leguminosarum* bv. viciniae strains. *Molecular Plant-Microbe Interactions* **4**, 606-616.
- Soto, M., Zorzano, A., García-Rodríguez, F.M., Mercado-Blanco, J., López-Lara, J.M., Olivares, J. & Toró, N. 1994 Identification of a new *nif* module nodulation efficiency gene homolog in *Agrobacterium* ortho-oxime lyase/cyclodeaminase. *Molecular Plant-Microbe Interactions* **7**, 703-707.
- Stephenski, T., Brion, S., García-de los Santos, A., Girard, L., Dávila, G. & Palacios, R. 1993 Plasmid related phenotypes in *Rhizobium leguminosarum* bv. trifoli ANU443. In: *New Horizons in Nitrogen Fixation*, eds Palacios, R., Mora, J. & Newton, W.E. p.653. Dordrecht: Kluwer Academic.
- Taylor, D., Döbereiner, J., Pinto, J. & Rosenberg, C. 1984 A plasmid of *Rhizobium meliloti* 43 encodes catabolism of two compounds from root exudate of *Cajanus cajan*. *Journal of Bacteriology* **176**, 1153-1161.
- Uchimi, T., Higashii, S. & Abe, M. 1993 A chromosome integrative vector system utilizing DNA fragments of a lysogenic phage of *Rhizobium leguminosarum*. *Journal of General Microbiology* **139**, 2371-2377.
- Uchimi, T., Higashii, S. & Abe, M. 1995 Nodule formation by clover/*Rhizobium* carrying chromosomal nod genes. *Journal of General and Applied Microbiology* **41**, 11-22.
- Valdes, A.M. & Pfeifer, D. 1992 Phylogenetic estimation of horizontal exchange in bacteria. *Evolution* **46**, 641-650.
- Velázquez, E., Romero, D., Pineda, P., Dazzo, F.B. & Martínez-Romero, E. 1994 The symbiotic effectiveness of *Rhizobium etli* SAFF22 related to the presence of a cryptic plasmid. *Applied and Environmental Microbiology* **61**, 2033-2036.
- Watson, R.J., Chen, Y.K., Wheatcroft, R., Yang, A.F. & Han, S. 1988 *Rhizobium meliloti* genes required for C₄-dicarboxilate transport and symbiotic nitrogen fixation are located on a transposon. *Journal of Bacteriology* **170**, 927-934.
- Williams, M.N.V., Hollingsworth, R.J., Klein, S. & Signer, E.R. 1980 The symbiotic defect of *Rhizobium meliloti* espoxypneochridate mutants is suppressed by *lpzZ*, a gene involved in lipopolysaccharide biosynthesis. *Journal of Bacteriology* **172**, 2622-2632.
- Young, J.P.W. & Westley, M. 1988 Sym plasmid and chromosomal plasmids are correlated in field populations of *Rhizobium leguminosarum*. *Journal of General Microbiology* **134**, 2731-2739.
- Zarkowski, W. 1982 Molecular mechanisms for loss of nodulation properties of *Rhizobium trifoli*. *Journal of Bacteriology* **156**, 999-1007.

FUNCIONES CODIFICADAS EN PLÁSMIDOS DE *R. eoli* CFN42.

R. eoli CFN42 (anteriormente *R. leguminosarum* bv. *phaseoli*) es una cepa aislada a partir de nódulos de frijol, pero capaz de formar nódulos efectivos en al menos siete especies distintas de leguminosas tropicales (Hernández-Lucas *et al.* 1995). Su genoma se encuentra constituido por un cromosoma y seis plásmidos (pCFN42a, b, c, d, e y f). El tamaño de sus plásmidos se encuentra en un rango de 150 a 600 kb, siendo el pCFN42d el plásmido que lleva la mayoría de los genes requeridos para la nodulación y fijación de nitrógeno (*nod*, *nif* y *fix*).

El análisis de las funciones codificadas en sus plásmidos no simbíticos se inició hace algunos años cuando Brom *et al.* reportaron el aislamiento de cepas curadas. En este trabajo, se obtuvieron cepas carentes de todos los plásmidos excepto de pCFN42e, del cual solo se lograron aislar tres delecciones, la mayor de ellas dio origen a un plásmido de aproximadamente 270 kb. El estudio de las cepas curadas bajo diferentes condiciones de cultivo en laboratorio, así como en simbiosis con plantas de frijol, ha permitido asociar ciertas características fenotípicas con cada uno de sus replicones (Tabla 1).

El pCFN42a tiene un tamaño aproximado de 150 kb, y es el único plásmido auto-transferible a alta frecuencia (10^{-2} , 10^{-3}). Además de su propia transferencia, incrementa 100 veces la transferencia del pSim, el cual normalmente se transfiere a muy baja frecuencia (10^{-8}) (Brom, datos sin publicar). El pCFN42a es incompatible con el plásmido Ti de *A. tumefaciens* NT1 (Brom, datos sin publicar). Hasta ahora, no se le ha podido asignar ninguna otra función, ya que como se puede observar en la Tabla 1, su ausencia no afecta el fenotipo en vida libre o simbiosis de la cepa CFN42.

El pCFN42b tiene un tamaño ligeramente menor al pCFN42a; aunque en un perfil electroforético ambos plásmidos normalmente comigran en una sola banda. En el pCFN42b se encuentra localizada una de las tres regiones que participan en la síntesis de lipopolisacárido

(región *lpsβ*). Como se explicará más adelante, el lipopolisacárido (LPS) es el mayor componente de la membrana externa de las bacterias Gram-negativas, el cual participa en la interacción de estas con su medio ambiente. La ausencia de la región genética *lpsβ* en la cepa curada de pCFN42b, afecta la síntesis de LPS lo cual produce una serie de alteraciones fenotípicas que van desde cambios en la morfología colonial, hasta la incapacidad para inducir la formación de nódulos efectivos (Tabla 1).

Además de la región *lpsβ*, en este plásmido existen secuencias que participan en la capacidad competitiva de la bacteria por ocupación de nódulos. Lo anterior se demostró al complementar la cepa pCFN42b-, con un cosmido (pDEL27) contenido la región *lpsβ*. Aunque la cepa complementada recupera la capacidad de inducir nódulos efectivos, cuando fue co-inoculada con la cepa silvestre, ésta última ocupó el 100% de los nódulos.

La participación de la información genética del pCFN42b en el crecimiento óptimo de esta bacteria en cultivos de laboratorio, se ve reflejada en una drástica reducción de la velocidad de crecimiento de la cepa curada. En medio rico su tasa de crecimiento es un 40% menor respecto a la cepa silvestre, mientras que en medio mínimo, la tasa de crecimiento es un 60% inferior (Tabla 1).

Secuencias presentes en el pCFN42b parecen estar involucradas en la utilización de glicerol, ya que la cepa pCFN42b- es incapaz de crecer en medio mínimo cuando el glicerol es la única fuente de carbono (Cervantes 1997).

El pCFN42c tiene un tamaño aproximado de 270 kb. Es un plásmido poco estable, ya que en cultivos de laboratorio se pierde de manera espontánea con frecuencia elevada (Brom *et al.* 1991). Su pérdida no parece afectar la nodulación ni la fijación de nitrógeno, pero si la capacidad competitiva de la cepa, ya que cepas pCFN42c- son menos competitivas que la cepa silvestre. Este plásmido es necesario para el crecimiento óptimo de la bacteria en condiciones de

laboratorio, ya que su pérdida ocasiona una disminución en la tasa de crecimiento. Mientras en medio rico la tasa de crecimiento es 25% menor respecto a la cepa silvestre, en medio mínimo el crecimiento es 40% menor.

A diferencia de lo que ocurre con la cepa silvestre, cepas pCFN42c- no pueden utilizar dulcitol como única fuente de carbono. Tampoco pueden crecer en medio mínimo con trigonelina, un metabolito secundario presente en las semillas de leguminosas (Romero, datos sin publicar).

Como se mencionó anteriormente, el pCFN42d lleva los genes necesarios para inducir la formación de nódulos y para la síntesis y regulación de la nitrogenasa. Obviamente su ausencia incapacita a las bacterias para nodular y fijar nitrógeno.

El pCFN42d es auto-transferible a muy baja frecuencia (10^{-6}), pero con la ayuda del pCFN42a, su frecuencia de transferencia se incrementa hasta 100 veces. Además de estas características genéticas, la presencia de secuencias involucradas en la síntesis de melanina, (un pigmento posiblemente relacionado con la eliminación de fenoles tóxicos producidos durante la fase de senescencia de los nódulos, ver Hawkins y Johnston 1988) ha sido sugerida, ya que en cepas pCFN42d- crecidas en un medio de cultivo con tirosina y CuSO₄ no se ha podido inducir la síntesis de dicho pigmento (Tabla 1).

Las cepas que carecen del pCFN42d, tienen una tasa de crecimiento 25% menor que la cepa silvestre cuando son cultivadas en medio mínimo.

El pCFN42e tiene un tamaño de aproximadamente 510 kb. Cepas sin este plásmido no han podido ser aisladas. Las posibles funciones codificadas en el pCFN42e fueron estudiadas en una cepa derivada la cual sufrió una gran delección de aproximadamente 240 kb. Esta cepa solo conserva cerca de 270 kb del pCFN42e, las cuales se ha pensado que pudieran ser indispensables para la viabilidad celular, razón por la cual no han podido ser eliminadas, aún cuando diversos métodos han sido empleados.

Aunque esta cepa es capaz de formar nódulos efectivos, su capacidad competitiva está drásticamente disminuida (Tabla 1).

Al igual que en otros plásmidos, secuencias de pCFN42c son necesarias para un crecimiento óptimo en cultivos de laboratorio. La tasa de crecimiento es 25% menor en medio rico y 60% menor en medio mínimo con respecto a la cepa silvestre. La capacidad para utilizar melibiosa como única fuente de carbono en medio mínimo, también parece estar codificada en el pCFN42c, ya que la cepa con pCFN42cΔ es incapaz de crecer en este medio (Cervantes 1997).

Para el pCFN42f se ha estimado un tamaño de 630 kb. Respecto a sus funciones simbióticas, algunas de las secuencias del plásmido son necesarias para un óptimo nivel de fijación de nitrógeno. Como se puede observar en la Tabla 1, cepas pCFN42f- solo tienen un 35% de actividad específica de nitrogenasa respecto a la cepa silvestre. Adicionalmente, la capacidad competitiva de las cepas curadas es inferior a la de la cepa silvestre.

Por otro lado, aunque su crecimiento en medio rico es similar al de la cepa silvestre, en medio mínimo son totalmente incapaces de crecer.

DERIVADAS DE *R. etli* CFN42 CURADAS DE MÚLTIPLES PLÁSMIDOS.

Adicionalmente a las cepas curadas arriba descritas, las cuales carecen de un sólo plásmido, se han obtenido otras cepas derivadas con distintas combinaciones de plásmidos y una curada múltiple, en la cual sólo está presente el cromosoma y un fragmento del pCFN42c (Fig 1). El efecto que tiene la pérdida de varios plásmidos en sus características fenotípicas, tanto en simbiosis como en vida libre también fue evaluado (Brom, datos sin publicar). Este estudio demostró que entre más plásmidos pierde la bacteria, más drásticas son sus deficiencias en simbiosis y vida libre. Como ejemplo podemos mencionar a la cepa CFNX216, la cual

conserva el pCFN42b y el pCFN42d, por medio de los cuales mantiene la capacidad para nodular y fijar nitrógeno, así como el pCFN42eΔ (Fig.1). Su fenotipo simbótico más drásticamente alterado es la competencia por ocupación de nódulos. Aún cuando la cepa fue inoculada en una concentración de células 1000 veces mayor que la cepa silvestre, el 100% de los nódulos fueron ocupados por la cepa silvestre.

La curada múltiple, la cual solo conserva pCFN42eΔ, es una cepa muy afectada en sus funciones saprofíticas, lo cual se refleja en su poca viabilidad en cultivos de laboratorio.

Los datos aquí mencionados demuestran la relevancia que tienen los plásmidos de *R. etli* CFN42, no solo en simbiosis, sino también para el óptimo funcionamiento celular.

CARACTERIZACIÓN DE SECUENCIAS AISLADAS DE PLÁSMIDOS DE *R. etli* CFN42.

El análisis fenotípico de las cepas curadas está empezando a ser complementado por algunos trabajos mucho más detallados, en los cuales regiones genéticas de los plásmidos se han mutagenizado, clonado y analizado a nivel de secuencia de ADN.

En el pCFN42b se identificó la presencia de un gen inducible por exudados de frijol (González 1996). La inserción del transposon Tn5B30 en dicho gen, provoca una disminución en el número de nódulos cercana al 25%. El análisis de secuencia de ADN de la región próxima a la inserción llevó a la identificación de dos genes: *rnrA* y *rnrB*. Se sugiere que ambos genes confieren resistencia a *R. etli* CFN42 contra algín(os) compuestos tóxicos presentes en el exudado de raíces de frijol.

Otra inserción de Tn5 en pCFN42b ha sido reportada (Miranda 1995). Esta mutación está localizada en la región promotora de un gen homólogo a *ihIC* de *E. coli*, involucrado en la

síntesis de tiamina. La mutante tiene un incremento en la transcripción del operón *fixNOQP*, el cual codifica para la citocromo oxidasa terminal *cbb3*, así como una expresión alta constitutiva del gen *nhcC*. Estas alteraciones fenotípicas traen como consecuencia un incremento en la capacidad para fijar nitrógeno, ya que plantas inoculadas con la cepa mutante tienen 25% mayor contenido de nitrógeno que las plantas inoculadas con la cepa silvestre. Corriente abajo del gene *nhcC*, recientemente se identificaron los genes *nhcOGE* probablemente también involucrados en la síntesis de tiamina (J. Miranda, comunicación personal).

En el plásmido pCFN42e fue localizada una reiteración del gen *ccmC* mediante hibridación de ADN. Aunque no existe evidencia experimental, el producto de estos genes podría formar parte del aparato de translocación encargado de transferir el grupo hemo a los citocromos tipo c (Aguilar y Soberón, 1996).

Se han aislado del pCFN42f secuencias posiblemente relacionadas con una fijación de nitrógeno óptima (Girard, datos sin publicar). Entre ellas se encuentran: reiteraciones de los genes *fixK* (regulador transcripcional), *fixNOQP* (biogénesis de oxidasa simbótica) y *fixGHIS* (proteínas transmembranales cuya función es desconocida). Copia de estos genes han sido detectadas en el pCFN42d. También en el pCFN42f se ha localizado una reiteración del operón *cycJKL* (biogénesis de citocromo c y fijación de nitrógeno), la otra copia se encuentra localizada en el cromosoma. Una secuencia homóloga al gen *fixL* (parte del sistema de dos componentes que activan la transcripción de los operones *fix NOQP* y *fixGHIS* y del gen *nifA*) de *R. leguminosarum bv. viciae* (Patschkowski *et al.* 1996) también ha sido localizada en el pCFN42f.

En el pCFN42b y como se mencionó anteriormente, se localiza la región *lpsB*, necesaria para síntesis del LPS y la simbiosis. La presencia de esta región se demostró mediante experimentos de hibridación de DNA y complementación genética, de la derivada curada del pCFN42b con la clona pDEL27 (Brom *et al.* 1992).

El pDEL27, se aisló de un banco genómico de *R. etli* CFN42, mediante complementación de mutantes con inserciones de *Tn5*, alteradas en la síntesis de LPS y simbiosis (Cava *et al.* 1989).

Dentro del pDEL27 se encuentra clonado un fragmento *EcoRI* de 7.5 kb, en el cual se localiza la región *lpsB*. Aunque esta región contiene información genética indispensable para la síntesis de LPS, hasta antes de esta tesis, no se había llevado a cabo su análisis genético y molecular. Consideraremos que dicho análisis, representa una interesante contribución, tanto para enriquecer el estudio de funciones codificadas en plásmidos no simbíticos, como para el avance de la genética de *lps*.

A continuación revisaremos brevemente algunas generalidades en cuanto a estructura y función del LPS y otros polisacáridos producidos por *Rhizobium*. Un análisis más detallado acerca de la genética de LPS en *Rhizobium etli* CFN42 será revisado en la introducción del artículo anexado.

ESTRUCTURA DE LA SUPERFICIE CELULAR BACTERIANA.

La célula bacteriana se encuentra rodeada por diferentes tipos de superficies (Fig.2). La más interna de ellas es la membrana citoplásmica, la cual como en cualquier otra célula, está constituida por una bicapa de fosfolípidos y proteínas. La siguiente estructura, es una capa de peptidoglicano, la cual puede ser muy gruesa en bacterias Gram-positivas (retienen el colorante cristal violeta), o muy delgada en bacterias Gram-negativas (por lo cual la tinción con el mismo colorante es imperceptible). Mientras en bacterias Gram-positivas la última superficie está constituida por un polisacárido capsular unido al peptidoglicano, en bacterias Gram-negativas después del peptidoglicano se encuentra una región acuosa rica en proteínas conocida como espacio periplásmico. La envoltura final de las bacterias Gram-negativas es una estructura

compleja llamada membrana externa. A diferencia de la bicapa de la membrana citoplasmica, en la membrana externa, solo la capa inferior està constituida por fosfolipidos. La capa superior està constituida por el lípido A del lipopolisacárido (LPS). Unido covalentemente al lípido A se encuentra un oligosacárido denominado "core" y un polisacárido denominado antígeno-O.

POLISACÁRIDOS PRODUCIDOS POR *Rhizobium*.

Lipopolisacárido (LPS).

La mayoría de la información acerca de la composición química del LPS, proviene de los estudios realizados en *R. leguminosarum* y *R. etli* CFN42, aunque también existen algunos datos acerca de la composición del LPS de *R. meliloti*, *B. japonicum* y *S. fredii* (Noel, 1992). Estructuralmente, el LPS està constituido por el lípido A y un polisacárido, ambos unidos covalentemente. El lípido A, forma la región hidrofóbica de la capa superior de la membrana externa. Una característica peculiar del lípido A de *Rhizobium*, es la presencia del ácido 27-hydroxyoctacosanoico, el cual no ha sido encontrado en el lípido A de enterobacterias (Brozek *et al.* 1996) (Fig.3).

El polisacárido se proyecta hacia la parte exterior de la bacteria. Este polisacárido està formado por dos componentes el "core" y el antígeno-O. El "core" està constituido por dos residuos de ácido 3-deoxi-D-manno-2-octulosónico (Kdo), una manosa, una galactosa y tres residuos de ácido galacturónico (Kadrimas *et al.* 1996) (Fig.3). La estructura química del "core" està muy conservada entre cepas de *R. etli* y *R. leguminosarum* bv. trifolií y viceae (Carlson, 1984).

Aunque la composición química precisa del antígeno-O no se ha determinado, se sabe que algunos de sus principales componentes son desoxi y didesoxi hexosas tales como 2-O-metilrhamnosa, 3-O-metilrhamnosa, 2-amino-2,6-didesoxihexosa y fucosa (Brink *et al.* 1990,

Carlson *et al.* 1987) (Fig.3)

En todas las bacterias Gram-negativas, el lípido A y el Kdo son esenciales para mantener la estructura celular, mutaciones que alteran la síntesis de estos dos componentes son letales (Kadri *et al.* 1996).

En *R. etli* CFN42, se han aislado diferentes mutaciones que alteran el "core" o el antígeno-O. Estas mutantes presentan un fenotipo Ndv- (nodules developed incompletely), en el cual, las bacterias inducen nódulos que no alcanzan su desarrollo normal, debido a que dentro del hilo de infección, cesa el proceso de invasión. Por lo tanto los nódulos son pequeños, blancos y sin actividad de nitrogenasa (Noel, 1992).

Como se mencionará mas adelante (ver artículo), por medio de la complementación de estas mutantes, se han identificado tres regiones genéticas (dos localizadas en cromosoma y otra en plásmido) involucradas en la síntesis de LPS.

La producción de LPS es indispensable para la formación de nódulos efectivos en especies de *Rhizobium* que nodulan las raíces de frijol, lenteja, chícharo, trébol, y sorgo, pero no para la nodulación de raíces de alfalfa (Noel 1992).

La función del LPS en la simbiosis se desconoce. Se ha especulado al respecto pero sin ninguna base experimental (Noel 1992) que el LPS o parte de éste, al ser degradado por enzimas de la planta, puede funcionar como molécula señal permitiendo la continuación del proceso de infección. También se ha mencionado, que el LPS podría ser importante durante el transporte de las bacterias al interior de la célula vegetal por endocitosis. Asimismo, se ha contemplado la posibilidad de que pudiera funcionar como protección contra compuestos tóxicos producidos por la planta en respuesta a la infección. Sin embargo, el hecho de que *R. etli* CFN42 y su mutante CE320 afectada en síntesis de LPS, muestren igual nivel de inhibición de crecimiento frente a extractos crudos de raíces de frijol (Eisenbachen *et al.* 1994), hace poco probable esta última hipótesis.

Polisacárido extracelular (EPS).

La mayoría de las cepas de *Rhizobium*, producen de manera abundante ciertos polisacáridos, los cuales se acumulan en la superficie de la bacteria o se liberan al medio ambiente. La estructura química del EPS, así como los genes que participan en su síntesis y regulación, se han caracterizado perfectamente en la cepa de *R. meliloti* 1021 (Leigh and Walker, 1994). Esta cepa produce dos tipos de EPS, el primero de ellos ha recibido varios nombres: succinoglucano, exopolisacárido ácido o EPSI. La unidad básica de este polisacárido está constituida por siete glucosas unidas a una galactosa. El EPSI se caracteriza por su capacidad para tiflarse con calcofluor. Su naturaleza ácida proviene de sus sustituyentes piruvato y succinato. Además de los residuos ácidos, también presenta un grupo acetilo.

De los 22 genes que participan en la síntesis del EPSI (genes *exo*), 19 están localizados en el megaplásmido b y el resto en el cromosoma.

El segundo tipo de EPS se conoce como EPSII, su estructura química es muy diferente del succinoglucano, su unidad básica es un residuo de galactosa unido a un residuo de glucosa. El residuo de galactosa lleva sustituciones de piruvato y la glucosa está modificada por un grupo acetilo. El EPSII no se tife con calcofluor y requiere para su síntesis de al menos seis genes *exp*, localizados también en el megaplásmido b, así como del producto del gen *exoB* necesario también en la síntesis de succinoglucano (González *et al.* 1992).

Mutantes afectadas en la síntesis de succinoglucano muestran un fenotipo Ndv-, producen módulos pequeños, las bacterias solo llega a nivel de hilo de infección, y no muestran actividad de nitrogenasa (Noel 1992).

El fenotipo Ndv-, se puede suprimir por mutaciones en el gen cromosomal *expR*, el cual normalmente mantiene reprimida la síntesis de EPSII.

La cepa de *R. meliloti* AK631 considerada como silvestre en algunos laboratorios, no produce

succinoglucano ni EPSII por tener una mutación en el gen *exoB*. La deficiencia en ambos polisacáridos es totalmente complementada por un polisacárido capsular rico en Kdo. En su síntesis intervienen los siguientes loci: *lpxX*, *lpxY*, *lpxZ* y *ftr-23* (Petrovics *et al.* 1993). En diferentes especies de *Rhizobium* la síntesis de EPS es indispensable para la nodulación efectiva de alfalfa, *Leucaena*, trébol, chícharo y lenteja, pero no para la nodulación de frijol. La función de los EPS tampoco ha sido determinada experimentalmente. Las especulaciones le atribuyen funciones similares a las propuestas para LPS.

β -glucanos.

Rhizobium y *Agrobacterium* producen varios tipos de β -glucanos. El más estudiado de ellos es el β -1,2 glucano, un oligosacárido cíclico, constituido por aproximadamente 20 residuos de glucosa con enlace β -1,2. Los β -glucanos se localizan principalmente en el espacio periplásmico, o se secretan al medio ambiente (Noel, 1992).

Mutaciones en los genes *chvA* y *chvB* de *A. tumefaciens*, dejan de sintetizar los β -glucanos y se vuelven avirulentas. Genes funcionalmente homólogos se han localizado en la cepa de *R. meliloti* 102F34 y han sido denominados *ndvA* y *ndvB*. Los nódulos inducidos por mutantes en estos genes, tienen un desarrollo anormal, carecen de bacteroides y por lo tanto, no fijan nitrógeno (Dylan *et al.* 1986). Algunos experimentos indican que este polisacárido participa en la adaptación de la célula bacteriana a cambios osmóticos del medio ambiente (Dylan *et al.* 1990) pero no se sabe si dicha función se relaciona con el fenotipo simbiótico.

Otro tipo de polisacáridos poco caracterizados, son los glucanos cílicos con enlace β -1,3 y β -1,6 descritos en *Bradyrhizobium* spp., y los largos glucanos lineales con enlaces β -1,4 (fibrillas de celulosa) encontrados en la superficie de *R. leguminosarum* (Noel, 1992).

OBJETIVOS

Como se mencionó en la introducción, la importancia de la información genética contenida en los plásmidos de *Rhizobium*, ha sido plenamente demostrada mediante el estudio de cepas curadas. Sin embargo este análisis representa una visión muy general de las funciones codificadas en plásmidos.

Creemos que el siguiente nivel de investigación en el campo, forzosamente requiere de un análisis genético y molecular de las secuencias de ADN involucradas con algún fenotipo de interés. De hecho algunas mutaciones dentro del pCFN42b ya han sido caracterizadas (ver introducción).

Con la finalidad de contribuir al análisis estructural y funcional del pCFN42b de *R. etli* CFN42, llevamos cabo el presente trabajo de tesis.

Los objetivos del presente trabajo fueron:

1. Llevar a cabo la caracterización genética y molecular de la región *lpsB*, localizada en el pCFN42b de *R. etli* CFN42, la cual es indispensable para síntesis de LPS y simbiosis.
2. Analizar si la región *lpsB* está estructuralmente y funcionalmente conservada en el genoma de otros miembros de la familia Rhizobiaceae.
3. Determinar mediante estudios de incompatibilidad e hibridación de ADN la posible relación entre los plásmidos que conservan el locus *lpsB*.

Characterization of Two Plasmid-borne *lpsB* Loci of *Rhizobium etli* Required for Lipopolysaccharide Synthesis and for Optimal Interaction with Plants

Alejandro García-de los Santos and Susana Brem

Departamento de Genética Molecular, Centro de Investigación sobre Fijación de Nitrógeno, Universidad Nacional Autónoma de México, Apartado Postal 565-A, Cuernavaca, Morelos, México

Received 13 March 1997; Accepted 11 June 1997.

In *Rhizobium etli* CFN42, both the symbiotic plasmid (*pS*) and plasmid *b* (*pB*) are required for effective plant nodulation. This is due to the presence on plasmid *b* of a region (*lpsB2*) involved in lipopolysaccharide (LPS) biosynthesis. We report here the genetic array and functional features of this plasmid-borne region. The sequence analysis of a 3,995-bp fragment revealed the presence of a transcriptional unit integrated by two open reading frames (*lpsB1* and *lpsB2*) essential for LPS biosynthesis and symbiosis. The *lpsB1* encodes a putative 193 amino acid polypeptide that shows strong homology with glucosyl-1P and galactosyl-1P transferases. The deduced amino acid sequence of the protein encoded by *lpsB2* was very similar to that of proteins involved in surface polysaccharide biosynthesis, such as *Pseudomonas aeruginosa* WphB, *Bordetella pertussis* BpL, and *Yersinia enterocolitica* TrgC. DNA sequences homologous to *lpsB1* and *lpsB2* of *R. etli* CFN42 were consistently found in functionally equivalent plasmids of *R. etli*, *R. leguminosarum* bv. *viscicula*, and *R. leguminosarum* bv. *phaseoli*, and in the *R. etli* strains *R. etli*, *R. tropici*, *R. fredii*, *Bradyrhizobium*, *Arcobacterium*, and *Agrobacterium*. Even though *Rhizobium* and *Agrobacterium* do not share *lpsB* sequences, their presence is required for crown-gall tumor induction by *R. etli* transconjugants carrying the Ti plasmid.

Additional keywords: nitrogen fixation.

Soil bacteria of the genus *Rhizobium* are able to induce the formation of nitrogen-fixing nodules on roots of leguminous plants. This symbiotic interaction requires the expression of many bacterial and plant genes.

The genetic information in *Rhizobium* is distributed among the chromosome and numerous large plasmids. The molecular characterization of the *Rhizobium* genome has been focused mainly on the symbiotic plasmid (*pSym*), where most of the genes required for symbiotic nitrogen fixation are located. Many of these genes have been isolated and significant advances have been made in the study of their structure, regulation,

Corresponding author: Alejandro García-de los Santos. Telephone: (52) (73) 17 58 67; Fax: (52) (73) 17 55 81; E-mail: ale@cfn.unam.mx

Nucleotide end/and amino acid sequence data are to be found at GenBank as accession number U36723.

and functional role (Schulze et al. 1994).

Plasmids other than the *pSym* may also influence the symbiotic process, by encoding functions such as biosynthesis of surface polysaccharides, nodulation competitiveness, and nitrogen fixation (see García-de los Santos et al. [1996] for a review). However, very few sequences from these plasmids have been isolated and characterized at the molecular level. The best-studied sequences from a nonsymbiotic plasmid are those located on the *exo* megaplasmid of *R. meliloti*, which are involved in exopolysaccharide (EPS) biosynthesis (Leigh and Walker 1994) and C₄-dicarboxylate transport (Watson 1990). The *nif* genes, which are located on a self-transmissible plasmid of *R. meliloti* GR4 and are involved in nodule efficiency and competitiveness (Soto et al. 1994), *R. etli* CFN42 (formerly *Rhizobium phaseoli*) (Segovia et al. 1993) contains six plasmids (pa to pd), ranging in size from 180 to 600 kb (Quinto et al. 1982). Analysis of derivatives cured of each individual plasmid has shown that in addition to the symbiotic plasmid, pa, a second plasmid, pb, is also indispensable for nodule formation due to the presence on this plasmid of sequences required for lipopolysaccharide (LPS) biosynthesis (Brem et al. 1992).

LPS is the major structural component of gram-negative bacteria outer membrane, and plays an important role in bacterium-host interactions. Although its precise function in the symbiotic process is still unclear, it has been suggested that it participates in evasion of plant defense mechanisms, or in bacterioid release into the nodules (Noel 1992).

Mutants of *R. etli* CFN42 defective in LPS biosynthesis have been isolated through *Tn5* insertion. Such mutants are less glossy than the wild type, clump in liquid culture, are nonmotile on swarm plates, lack O-antigen in the LPS, and induce the formation of incompletely developed ("Ndv" Fix⁻) nodules (Cava et al. 1989). Three distinct genetic *lps* regions have been identified. Two separate regions, named *α* and *γ*, have been located with high homology, and a third one, named *β*, has been located on pb (Brem et al. 1992; Segovia 1992). The *lpsB* is the best characterized of these three LPS regions. It comprises nine complementation groups spanning over 18 kb of chromosomal DNA (Cava et al. 1990). Partial chemical characterization of the LPS synthesized by strain CFN42 and derivatives with mutations in the *α* region (Carlson et al. 1987, 1989) led to the assignment of probable biosynthetic functions for particular genetic loci in this region

(Carlson et al. 1995). However, definitive confirmation of the biochemical function of individual gene products is still lacking. A common *lps* locus located on the chromosome of *R. leguminosarum* bvs. *viciae* and *phaseoli* has been recently described. A 2-kb *lps* region contains two genes, apparently involved in the sequential addition of glucose units to the core tetrasccharide. The name *lps* has been suggested for this locus since these genes do not correspond to any of the previously identified regions (Allaway et al. 1996).

In contrast to the well-characterized *lps*, little information is available on the plasmid-borne *lps* region. Within this region, contained in the 7.5-kb *EcoRI* fragment of pDEL27 (Brink et al. 1990; Cava et al. 1989), only one *Tn5* insertion affecting LPS synthesis has been located (Cava et al. 1989). pDEL27 complements an LPS⁻ Ndv⁻ *Fix*⁺ plasmid-less derivative of *R. leguminosarum* bv. *viciae* VF39 (Hynes and MacGregor 1990) and a *R. leguminosarum* bv. *trifolii* ANU843 *Tn5* mutant (Brink et al. 1990) for the flocculation phenotypic characteristics of LPS mutants and for effective nodulation. These data suggest that homologous sequences could be located on plasmids of these strains. Support for this proposal can be made by visualizing the structural homology among them and by showing that *R. leguminosarum* bvs. *viciae* and *trifolii* LPS sequences also complement the *R. etli*, as well as their own LPS⁻/derivatives.

In contrast to *R. etli* CFN42, in which, in addition to the *pSym*, the presence of the *lspB* region of plasmid *pb* is essential for nodulation, the *A. tumefaciens* GM19023 strain harboring only the *pSym* from *R. etli* CFN42 induces nodule formation on bean plants (Brom et al. 1988). Such data suggest a functional equivalence among surface polysaccharides from both *A. tumefaciens* and *R. etli*.

To initiate the analysis of *R. etli* plasmids other than the *pSym*, we chose the *lps* region of *pb* due to its relevance in symbiosis. In this paper, we report its genetic analysis, as well as the DNA sequence of two open reading frames (ORFs) designated *lpsβ1* and *lpsβ2* that are indispensable for LPS biosynthesis and nodulation. Also, we determined the distribution of these *lps* ORFs among *Rhizobacteriaceae*, by structural hybridization and functional complementation, and examined their involvement in crown-gall tumor induction.

RESULTS

Genetic analysis and nucleotide sequence of the *lps* region

A 7.5-kb *EcoRI* fragment carried by plasmid pDEL27 was previously identified as the *lps* region of *R. etli* CFN42, through complementation of insertional LPS mutants (Brink et al. 1990; Cava et al. 1989). The restriction map of this fragment is shown in Figure 1A. Four subclones were constructed and analyzed for complementation of the *Tn5* mutant CE168 and the *pb*-cured derivative CFN230. Among the clones tested, pAGS10 was able to complement both mutants, for flocculation and nodulation fixation, while pAGS11 and pAGS13 were unable to complement either. Clone pAGS15 complemented only the insertional mutant CE168. The fact that the plasmid-cured mutant CFN230 was not complemented by pAGS15 suggests that, in addition to the gene interrupted by *Tn5* in strain CE168, at least another gene is required for LPS synthesis. To confirm this possibility, the

EcoRI-BamHI fragment (3,595 bp) from pAGS10 was sequenced as described in Materials and Methods, with the classes shown in Figure 1B.

The DNA sequence of this fragment together with the deduced amino acid sequences are shown in Figure 2. Analysis of the DNA sequence shows that it contains three incomplete ORFs, ORF1, and two complete ORFs, *lpsβ1* and *lpsβ2* (Fig. 2). The deduced amino acid sequence of each coding region was compared with the protein data bases contained in the NCBI (see Material and Methods). Sequences similar to polypeptides encoded in ORF1, *lpsβ1*, and *lpsβ2* are shown in Table 1. The incomplete ORF1 (520 bp) constitutes the 3' region of a hypothetical gene. The product encoded by this partial ORF (173 amino acids) is 60% identical to the carboxy termini of *R. leguminosarum* RepC (Turner and Young 1995) and *A. rhizogenes* RepC (Nishiguchi et al. 1987) proteins involved in plasmid replication.

Downstream of ORF1, we located *lpsβ1*, which is 582 bp long and potentially encodes a 193 amino acid protein. ORF1 and *lpsβ1* are separated by a noncoding 258-bp track, which contains a potential σ⁷⁰ promoter, and a putative ribosome binding site (Fig. 2).

The polypeptide encoded by *lpsβ1* shows high-level sequence similarity with a number of proteins (Table 1). Among them are CapM and Cap8M, whose precise function is unknown, although they are involved in the synthesis of capsular polysaccharide (CPS) in *Staphylococcus aureus* (Sau and Lee 1996). A significant homology over the entire length of the protein was also found with *Campylobacter hyoilei* RfbP, *R. leguminosarum* Psu2, *R. meliloti* ExoY, *Salmonella enterica* RfbP, *Vibrio cholerae* OsfT, and *Anabaena* RfbP. All of them are potential galactosyltransferases involved in the synthesis of surface polysaccharides. The *Lpsβ1* protein also showed a significant similarity with the C-terminal part of *S. ryllimurium* RfbP and *Xanthomonas campestris* GumD, the best-studied sugar transferases. RfbP is a galactosyltransferase, which catalyzes the transfer of UDP-galactose to the C55 lipid carrier, Rfb, and the transfer of UDP-glucose to an isopentenyl phosphate carrier. Both enzymes participate in the first step of polysaccharide synthesis.

The alignment of the amino acid sequences of *Lpsβ1* with Psu2 (Borhakur et al. 1988), ExoY (Müller et al. 1993), GumD (Coplin and Cook 1990), and *S. ryllimurium* RfbP (Jiang et al. 1991) is shown in Figure 3. In addition to the conserved residues among all these proteins, their potential transmembrane regions are also highly conserved. The *lpsβ2* gene contains 2,052 bp and presumably encodes a protein of 683 amino acids (Fig. 2). The *lpsβ1* and *lpsβ2* genes are separated by a noncoding region of 123 bp in which no σ⁷⁰ promoter sequence was detected by sequence analysis. This *lpsβ2* is preceded by a putative Shine-Dalgarno ribosome-binding site.

Analysis of the deduced amino acid sequence of *lpsβ2* indicated that this polypeptide shows significant similarity with proteins involved in polysaccharide synthesis (Table 1). The most striking similarity was found with the proteins of *Pseudomonas aeruginosa* *lspB*M, *Bordetella pertussis* *lspL*, and *Wenisia enterocitica* *lspG* over their entire lengths. More limited homology was found among the *Lpsβ2* and other smaller proteins (Table 1); *Vibrio cholerae* ORF11, *Nostoceria meningitidis* Gale, *N. meningitidis* RfbB, *R. meliloti* ExoB,

and *N. gonorrhoeae* RBB. The homology of these proteins with the LpsB2 extends from the middle of the protein to the C-terminal end (Fig. 4). GalE and EcotB enzymes catalyze the epimerization of UDP-glucose to UDP-galactose, while RBB are enzymes involved in synthesizing 6-deoxy and dihydroxy sugars.

The alignment of the amino acid sequence from WpbM (Burrows et al. 1996), SpfII (Allen and Mankell 1996), EcotB (Blumenthal et al. 1995), EcotB (Blumenthal et al. 1991), GalE (Jennings et al. 1993), and *N. meningitidis* RBB (Jennings et al. 1993) with LpsB2 is shown in Figure 4. As can be seen, the degree of homology among all these proteins increases toward the C-terminal end: *P. aeruginosa* (61.2% identity), *B. pertussis* (58.9% identity), *Y. enterocolitica* (56% identity).

All these proteins have potential transmembrane domains analogous to those observed in LpsB2 (Fig. 4).

As in other epimerases (Wyk and Reeves 1989) and dehydratases (Macpherson et al. 1994), a putative NAD-binding domain was also located in all seven proteins between amino acids 305 and 335. These sequences align very well with the consensus fingerprint proposed by Wiernsma et al. (1986), especially in the three glycine residues and the acidic residue at the end of the fingerprint, which is strictly required for the $\beta\beta\beta$ -three-dimensional structure of NAD-dependent proteins (Fig. 4).

The precise site of the Tn5 insertion of strain CE168 was mapped by sequencing two polymerase chain reaction (PCR) products (see Materials and Methods) and found to interrupt the *lpsB2* near to its C-terminal end (Fig. 2).

Localization of sequences homologous to *R. etli* CFN42 in *R. leguminosarum*

The 7.5-kb *EcoRI* fragment from pDEL27 was subcloned in pSUP202 and used as probe in high stringency hybridizations with blots of *EcoRI*-digested total genomic DNA of different strains (Table 2). Homology was detected in all *R. etli* (9 strains), *R. leguminosarum* bv. *viciae* (3 strains), and *R. leguminosarum* bv. *luteovirens* (6 strains) tested. Homology was not detected in *R. meliloti* (5 strains), *R. lupicis* (8 strains), *Rhizobium* sp. NGR 23-4, *R. fredii* USDA 191, *R. loti* NZP2037, *A. caulinodans* ORS 571, *B. japonicum* (3 strains), and *A. tumefaciens* (4 strains).

Plasmid profiles from the *R. etli* and *R. leguminosarum* strains were also hybridized with an internal probe of *lpsB1* (see Materials and Methods) and with pAGS4 containing an internal fragment of *lpsB2*. In all cases, homologous sequences to both ORFs were present in the same plasmid. However, the size of the hybridizing plasmid varied among strains. Some examples are shown in Figure 5.

Functional equivalence among *R. etli* and *R. leguminosarum* plasmid-borne LPS sequences

The *lpsB2*-plasmid cured derivatives of two *R. etli* strains (CFN42 and TAL182) and one *R. leguminosarum* bv. *luteovirens* (ANU 1443) strain were used as recipients to construct transconjugants containing *R. etli* (*lpsCEN42b*, pTAL182a, pVIL182b), *R. leguminosarum* bv. *viciae* (*pVF39c*), or *R. leguminosarum* bv. *luteovirens* (*pANU1443b*) *lpsB2*-carrying plasmids. The free-living and symbiotic phenotype of these transconjugants was determined (Table 3). It can be seen that all the plasmidless cross-complement the plasmid-less derivatives for

flocculation and motility as well as for effective nodulation. Despite repeated attempts, no transconjugants could be obtained with a plasmid-cured derivative of *R. leguminosarum* bv. *viciae* VF39 as receptor.

lpsB is required for tumor induction by rhizobia harboring Ti plasmids.

Rhizobium carrying *Agrobacterium* Ti plasmid are capable of inducing tumor formation (Honjika et al. 1977). We took advantage of this fact to determine if the surface polysaccharide alteration of a *R. etli* CFN42 (*lpsB* mutant affects the tumor formation process. The Ti plasmid of *A. tumefaciens* strain NT1 was introduced into the wild-type *R. etli* strain CFN42, its *pb*⁺ derivative (CFNX183), and finally the *pb*⁺ transconjugant complemented with the *lpsB*-carrying cosmid pDEL27 (CFNX188). Interestingly, plasmid a of CFN42 was always lost upon introduction of the Ti plasmid, suggesting that these plasmids are incompatible.

The tumor-inducing capacity of the different derivatives was examined on *A. tumefaciens* pT1 (Table 4). In plants infected with *A. tumefaciens* pT1, CFNX228 (*lpsB2*/*pb*⁺), or CFNX239 (CFNX188/*pb*⁺/Ti), the presence of tumors was evident 3 weeks after inoculation, whereas, in plants infected with the (*lpsB*⁺ derivative (CFNX228), only after 6 weeks did tumors start to emerge. The pT1 carried by strain CFNX228 was introduced by conjugation into *A. tumefaciens* GM19023. The resulting strain (GM19023-1) formed visible tumors 3 weeks after inoculation, indicating that the altered phenotype of CFNX228 was solely due to the absence of the *lpsB*-carry-ing plasmid (Table 4).

DISCUSSION

In this paper, we have described the identification of two ORFs (*lpsB1* and *lpsB2*) located in the *lpsB* region of *pb* of *R. etli* CFN42. The genetic analysis of this region indicates that both ORFs are dispensable for LPS biosynthesis and nucleotide sequence pAGS15 is a genetic construct 39 bp from the 5' end of *lpsB2*. The presence of an incomplete *lpsB1* impaired the ability of pAGS15 to complement the CFNX230 pb-cured derivative, which lacks both *lpsB1* and *lpsB2*, but did not affect its capacity to complement the *lpsB2*:Tn5 mutant (ICE168). CFNX230 could only be complemented by pAGS10 containing the entire *lpsB1* and *lpsB2* genes. The presence of a putative σ⁷⁰ promoter upstream of *lpsB1* (Fig. 2) and the absence of a transcription termination structure in the spacing sequence between *lpsB1* and *lpsB2* support our hypothesis that *lpsB1* and *lpsB2* form a transcriptional unit. If this is true, the *lpsB2* of pAGS15, which lacks the promoter region, is probably transcribed from the *Escherichia coli lacZ* promoter, as has been reported for other *Rhizobium* genes cloned in plasmids carrying the *lacZ* promoter (Müller et al. 1993). *lpsB1* and *lpsB2* seem to be the only genes present in this region of *pb* involved in LPS biosynthesis, as the sequence upstream of *lpsB1* was found to be homologous to a gene involved in replication (ggC), and the sequence downstream of *lpsB2* could be deleted without altering LPS biosynthesis.

The core oligosaccharides of *R. etli* and *R. leguminosarum* LPS have been shown to have a similar composition, constituted by two Kdo, one galactose, one mannose, and three galacturonic acid residues (Carlson et al. 1993). pDEL27 com-

pletely restores a *R. leguminosarum* bv. *trifolioli* *lpxB* mutant whose chemical composition displayed a drastic reduction in galactose and galacturonic acid as well as absence of the O-antigen (Brink et al. 1990). These chemical composition data, plus the striking similarity of *LpxB1* with galactosyltransferases, suggest that *LpxB1* may be responsible for the transfer of galactose or galacturonic acid to the core oligosaccharide. The activity of galactosyltransferase has recently been ascribed to the product of *lpcA*, a chromosomal gene located in the 8-kb region of *R. leguminosarum* bv. *phaseoli* RU301 (Allaway et al. 1996). Also, the role of *LpcA* as a galactosyltransferase is supported by the complementation of a *R. leguminosarum* bv. *viciae* VF39 *lpxB* mutant in which the galactose residue from the core tetrasaccharide is missing. *LpxB1* is not able to substitute for *LpcA*, as a *R. leguminosarum* bv. *phaseoli* *lpcA* mutant is not complemented by a construct corresponding to *R. etli* CFN42 *lpxB* region (Allaway et al. 1996). Also, the amino acid sequences of *LpcA* and *LpxB1* show a low level of similarity (21% identity, 47% similarity). To explain these data, we propose that *LpxB1* and *LpcA* are different sugar transferases, one of them being responsible for the transfer of galactose and the other for the transfer of galacturonic acid.

The biosynthetic pathways of bacterial polysaccharides have been shown to be linked (Breedveld et al. 1993; D'Boldt and Noel 1989). Similar to LPS, the EPS of *R. etli* and *R. leguminosarum* contain galactose (D'Boldt and Noel 1989; Cenzer et al. 1990). Additionally, galactose has also been found in *R. leguminosarum* CPS (Zevenhuizen and Van Nieuwenhuizen 1983); these data hint that the positive galactosyltransferase encoded by *lpxB* is a common link in the synthesis of LPS, EPS, and CPS.

lpxB2 codes for a putative polypeptide of 683 amino acids, which showed strong homology with WpbM from *P. aeruginosa*, BpII from *B. pertussis*, and TrG protein from *Y. enterocolitica* serotype O:3. Although the N-terminal part of *LpxB2*, WpbM, BpII, and TrG showed the lowest level of homology among them (31% identity and 56% similarity, average), three potential transmembrane domains were found to be highly conserved in this fragment in all four proteins (Fig. 4), indicating the possibility that the N-terminal portions of these proteins have a similar function: anchoring the proteins to the inner membrane.

Similar to that reported for WpbM and BpII, protein sequences extending from the N-terminus to 310 to the C-terminal end of *lpxB2* showed limited homology (21% identity, 46% similarity) to prokaryotic epimerases and dehydrogenases, including the EaoB protein from *R. meliloti*, which catalyzes the epimerization of UDP-glucose to UDP-galactose. Previous reports have shown that *R. meliloti* and *Rhizobium* sp. (*Arcenica*) eaoB mutants have multiple carbohydrate defects, including LPS biosynthesis (Leigh and Lee 1988; Lopez-Lara et al. 1995). We obtained derivatives of mutant CE168 harboring the plasmid pMP2603 that contain the *eaoB* genes of *R. leguminosarum* (Cenzer-Cremers et al. 1990); however, the transconjugants were not complemented by this plasmid (data not shown). Furthermore, Southern blot hybridization with the pMP2603 as probe showed sequences homologous to *eaoB* located on the chromosome of *R. etli* CFN42 (data not shown). The dTDP-glucose 4,6-dehydratase is enzyme involved in the synthesis of 6-deoxy and deoxy sugars (Wang

and Gabriel 1969). These kinds of sugars have been localized in the O-polysaccharides of *R. etli* CFN42. Since *R. etli* mutant CE168 lacks the O-antigen, *LpxB2* could be involved in the synthesis of the 6-deoxy or deoxy sugar that links the O-antigen to the core oligosaccharide.

In the present work, we have demonstrated that all *R. etli* and *R. leguminosarum* bvs. *viciae* and *trifolioli* strains tested share a common *lpx* region, constituted by genes *lpxB1* and *lpxB2*, which are structurally homologous to those of *R. etli* CFN42. Furthermore, this region was always localized on a plasmid. This led us to conclude that the presence of an *lpxB* plasmid is a widespread feature among *R. etli* and *R. leguminosarum* strains.

Here, we have further shown that the native *lpxB* plasmids from strains of either *R. leguminosarum* bv. *trifolioli*, *R. leguminosarum* bv. *viciae*, or *R. etli* fully restore the phenotype of *R. etli* and *R. leguminosarum* bv. *trifolioli* plasmid-cured derivatives.

In an extensive screening, in which a variety of *Rhizobium*, *Bradyrhizobium*, and *Azorhizobium* strains were probed with the *R. etli* *lpxB* region, no homologous sequences were found under our hybridization conditions. These data could be explained by a complete absence of, or a high divergence for, these loci in these genera.

Sequences homologous to *R. etli* CFN42 *lpxB* were not found in the different *Agrobacterium* strains analyzed, even though as it has been previously reported, *A. tumefaciens* C58/92/2000 harbors a *lpxB* gene (pSPP1) capable of eliciting module formation on *Phragmites australis* roots. Despite the fact that these species do not share *lpxB* sequences, we have demonstrated that the surface polysaccharides of *Rhizobium* and *Agrobacterium* are functionally equivalent for symbiosis and crown-gall tumor induction.

The conservation of key sequences for bacterial surface polysaccharide biosynthesis in plasmids of *R. etli* and *R. leguminosarum* is an unexpected feature, as these organisms belong to taxonomically diverse lineages (Martinez-Romero 1994) with different geographical origin and host range. We have recently performed hybridization experiments with random clones containing sequences from pCFN42b as probes. Our results show that *R. leguminosarum* plasmids pANU843b and pVFS9c share other sequences besides the *lpxB* genes (A. Garcia-de los Santos, *unpublished*). Furthermore, we have found that pCFN42b and pANU843b belong to the same incompatibility group (A. Garcia-de los Santos, *unpublished*). These results suggest a broader relationship among these plasmids, not confined to the *lpxB* region.

MATERIALS AND METHODS

Bacterial strains, plasmids, and growth conditions.

The different strains and plasmids used in this work are listed in Table 2. *Rhizobium*, *Bradyrhizobium*, and *Azorhizobium* strains were grown on PY (Noel et al. 1984) at 30°C. *E. coli* and *Agrobacterium* strains were grown on LB (Miller 1972) at 37 and 30°C, respectively. Antibiotics were added at the following concentrations: nalidixic acid, 20 µg ml⁻¹; rifampicin, 100 and 50 µg ml⁻¹ for *Agrobacterium* and *Rhizobium*, respectively; neomycin, 60 µg ml⁻¹; kanamycin, 30 µg ml⁻¹; spectinomycin, 75 µg ml⁻¹; tetracycline, 10 and 7.5 µg ml⁻¹ for *E. coli* and *Rhizobium*, respectively; carbenicillin, 100

16 mM^{-1} ; chloramphenicol $20 \mu\text{g mL}^{-1}$. Sucrose was added as a final concentration of 12.5% (wt/vol).

Genetic manipulation and bacterial meetings.

Rhizobium derivatives carrying $Tn5$ -*sac-mob* insertions in plasmids were obtained as previously described (Hynes et al. 1989). The $Tn5$ -*sac-mob*-labeled derivatives were used to generate plasmid-cured derivatives through selection of sucrose-resistant derivatives as described (Brown et al. 1992), and also as donors to construct transconjugants harboring them. Transconjugants were obtained by conjugation, in triparental crosses with pRK2031 (Figurski and Helinski 1979) as a helper and selecting for suitable markers on PY plates. Transformation of *E. coli* HB101 strains (Boyer and Roulland-Duval 1969) was done as described (Sambrook et al. 1989). The strains constructed in this work are listed in Table 2.

Filter blot hybridization and plasmid profiles.

Genomic DNA was isolated, digested with EcoRI, electrophoresed in 1% agarose gels, blotted onto nitrocellulose membranes, and hybridized under stringent conditions as described elsewhere (Flores et al. 1987). Plasmid patterns were visualized by the Eckhardt (Eckhardt 1978) technique, blotted onto nylon membranes, and hybridized similarly. The plasmids used as probes were purified by the alkaline lysis method (Sambrook et al. 1989) and labeled with a [^{32}P]dCTP by nick translation (Rigby et al. 1976). The λ p β internal fragment used as probe was prepared by PCR amplification of pAGS10 with primers 5'-GTATCGGCCGTTTCAACTC-3' and 5'-CCCTCAAGAACAGGATGTC-3'. Reactions were carried out with the GeneAmp PCR reagent kit (Perkin Elmer, Branchburg, NJ).

Nodulation, nitrogen fixation, and virulence assays.

For plant tests, surface-sterilized *P. vulgaris* cv. Negro jamaica seeds were germinated on soft agar plates (8 g/liter). Two-day-old seedlings were transferred to 250-ml Erlenmeyer flasks with Fahnreus agar medium (Fahnreus 1957), without added nitrogen, and inoculated with overnight-grown cultures. Plants were incubated for 15 days at 28°C. Nodulation was scored at day 15, and acetylene reduction was assayed as previously described (Martínez et al. 1987). For *R. trifoliolum* plant tests, surface-sterilized *Trifolium subterraneum* seeds were inoculated on slants of Fahnreus agar medium in glass tubes (23 × 200 mm). Plants were grown for 7 weeks at 25°C in racks wrapped in aluminum foil to shade the roots and plant dry weight was then used to estimate nitrogen fixation activity. In both cases, bacteria were isolated from surface-sterilized nodules crushed on PY plates. Single colonies were tested for antibiotic resistance and plasmid pattern. For transformation of *Aerobacterium* or *Rhizobium* strains carrying the $Tn5$ plasmid, plants were grown on PY medium containing 0.1 mM acetosyringone and 10 mM glucose. Incubation was carried out by puncturing the stems of *Kalanchoe* plants with a sterile needle and applying the appropriate strain, with a toothpick. Plants were maintained at 28°C, and scored weekly for the presence or absence of tumors at each wound site. All plant assays were repeated three times.

DNA sequencing.

Five DNA restriction fragments from pAGS10 (Fig. 1).

were cloned into the Bluescript II SK(-) plasmid vector (Stratagene, La Jolla, CA) and transformed into *E. coli* DH5α (Sambrook et al. 1989). An internal fragment of λ p β was obtained by cloning the 230 bp λ -SfiI fragment of pAGS10 in the pGEM3Z vector (Amersham, Buckinghamshire, UK). Double-stranded DNA was isolated with the Wizard Miniprep DNA purification system (Promega, Madison, WI), and sequenced with a combination of custom-made (Bio-synthesis, Lewisville, TX) and universal oligonucleotide primers with the *Taq* DyeDeoxy Terminator Cycle Sequencing Kit and automatic 373A DNA Sequencing System (Applied Biosystems, Foster City, CA). DNA was sequenced at least twice on both strands.

Analysis of nucleotide and amino acid sequences.

DNA sequence processing, identification of ORFs, deduced amino acid sequence identification, and location of hydrophobic regions (Ryse and Dobrotka 1982; with a window of 11 amino acids) were performed with the GeneWorks package (release 2.4; IntelliGenetics, Mountain View, CA). The ProSPER program was also used to detect hydrophobic regions. Localization of promoter regions was obtained from a remote search with the Promoter Predictor for Neural Networks program (Reec et al. 1995). Similarities between sequences were obtained from a remote search at NCBI data bases with the BLAST program (Altschul et al. 1990). Figure 2 was obtained with the Publish program; percentage of identity and similarity among sequences was calculated by the BestFit program; multiple sequence alignments were obtained by the PileUp program and displayed with the Pretty program. These programs are from the Wisconsin Package version 8.1 (Genetics Computer Group, Madison, WI).

Localization of the $Tn5$ insertion in strain CE168.

The ISSO specific primer 5'-GCACGATGAAAGACAGA ACTG-3' (lower) designed from bases 118 to 98, the 5'-GGCGGATGTTCAATTGTCG-3' covering bases 2104 to 2084 of λ p β (upper) primer (Fig. 2), and genomic DNA from the LPS mutant CE168 were used to obtain the PCR1 product, from which we determined the DNA sequence of the corresponding right $Tn5$ - λ p β DNA junction. The same ISSO specific primer (upper) was used together with the 5'-CGACGAAATGTAATGCGT-3' (lower) primer extending from bases 1628 to 1645, to obtain the PCR2 product, from which we determined the DNA sequence of the corresponding left $Tn5$ - λ p β DNA junction. Both reactions were carried out with the GeneAmp PCR reagent kit (Perkin Elmer, Branchburg, NJ).

ACKNOWLEDGMENTS

We are grateful to Laura Corrales for technical help, to Patricia Riestra for technical assistance with the automatic sequencer, and to Juan Miranda and María Luisa Tafolla for their cooperation in sequence analysis. We thank Niño Tzam and David Ramírez for unpublished data. We thank Alfonso Gómez-Limón for helpful discussions, and Patricia Diaz, Raquel Palacios, Dora Nest, and David Ramírez for reviewing the manuscript. This work was partially supported by grant no. IN200893 from DGAPA-UNAM.

LITERATURE CITED

- Allaway, D., Jeyaraman, B., Carlson, R. W., and Poole, P. S. 1996. Genetic and chemical characterization of a mutant that disrupts synthesis of the lipopolysaccharide core components in *Rhizobium leguminosarum*. *J. Bacteriol.* 178:6403-6406.
- Allen, A., and Maskell, D. 1996. The identification, cloning and mutagenesis of a genetic locus required for lipopolysaccharide biosynthesis in *Rhizobium leguminosarum*. *Mol. Microbiol.* 19:37-52.
- Allen, A., Glick, B., Miller, W. M., and Poole, P. S. 1990. Basic local alignment search tool. *J. Mol. Biol.* 215:403-410.
- Bach von Bodman, S., McCutchan, J. E., and Farnand, K. S. 1989. Characterization of conjugational transfer functions of *Agrobacterium tumefaciens* T-DNA. *J. Bacteriol.* 171:2849-2859.
- Borthakur, D., Baumber, R. F., Lawford, J. W., Rossau, L., and Johnson, A. W. 1988. Analysis of psr genes of *Rhizobium leguminosarum* required for exopolysaccharide synthesis and nodulation of peas: Their primary structure and their interaction with psr and other modulation genes. *Curr. Genet.* 21:155-162.
- Boyer, H. W., and Roulland-Dussuis, D. 1969. A complementation analysis of the restriction and modification of DNA in *Escherichia coli*. *J. Mol. Biol.* 41:459-472.
- Brom, S., García-de los Santos, A., Zevenhoven, L. P. T. M., Wijffelman, C. A., and Zehnder, A. J. B. 1993. Polysaccharide synthesis in relation to nodulation behavior of *Rhizobium leguminosarum*. *J. Bacteriol.* 175:750-757.
- Brom, S., Müller, J. J., Carlson, R. W., and Noel, K. D. 1990. Expression of *Rhizobium leguminosarum* CPN42 genes for lipopolysaccharide in strains derived from different *K. leguminosarum* soil isolates. *J. Bacteriol.* 172:548-555.
- Brom, S., García-de los Santos, A., Stępkowska, T., Flores, M., Dávila, C., and Zehnder, A. J. B. 1994. Different plasmids of *Rhizobium leguminosarum* bv. *phaseoli* are required for optimal symbiotic performance. *J. Bacteriol.* 176:5183-5189.
- Brom, S., Martínez, E., Dávila, G., and Palacios, R. 1988. Narrow and broad-range symbiotic plasmids of *Rhizobium* sp. strains that modulate *Phascolus vulgaris*. *Appl. Environ. Microbiol.* 54:1280-1283.
- Bueno, A. M., Eneenek, B., Koplin, R., Niehaus, K., Arnold, W., and Pühler, A. 1992. Cloning and sequencing of a *Rhizobium meliloti* 2: E40B fusion gene as a UDR promoter driving the E40B gene. *E. coli K-12* shows homology to NodX of *Rhizobium leguminosarum* biovar *viciae* strain TOM. *Mol. Microbiol.* 5:1519-1530.
- Burns, L. L., Chanes, D. F., and Lam, J. S. 1996. Molecular characterization of the *Rhizobium meliloti* 2: E40B fusion gene and its B1-based lipopolysaccharide gene cluster. *Mol. Microbiol.* 22:481-493.
- Camer-Cremers, H. C. J., Bailey, M., Redmond, J. W., Edvens, L., Breedveld, M. W., Zevenhoven, L. P. T. M., Pees, E., Wijffelman, C. A., and Loeffen, J. A. 1990. *Rhizobium leguminosarum* ezcB mutants are deficient in the synthesis of UDP-glucose 4-epimerase. *J. Biol. Chem.* 265:22122-22127.
- Carlson, R. W., Garey, P., Noel, K. D., and Hollingsworth, R. 1989. The structures of the lipopolysaccharide core components from *Rhizobium leguminosarum* and *Rhizobium meliloti* and of the symbiotic mutants, CE109 and CE105. *Cbohydr. Res.* 195:101-110.
- Carlson, R. W., Kalembasa, S., Turwski, D., Pachon, P., and Noel, K. D. 1987. Characterization of the lipopolysaccharide from a *Rhizobium leguminosarum* mutant defective in infection thread development. *J. Bacteriol.* 169:4921-4928.
- Carlson, R. W., Reusti, B., Chen, T., Bath, U. R., and Noel, K. D. 1995. Lipopolysaccharide core structure in *Rhizobium* cell and mutants defective in O-antigen. *J. Biol. Chem.* 270:11783-11788.
- Carmona, J. C., García-de los Santos, A., and Dassanayake, J. 1979. Identification and characterization of large plasmids in *Rhizobium meliloti* using agarose gel electrophoresis. *J. Bacteriol.* 139:229-242.
- Cava, J. R., Elias, P. M., Turwski, D., and Noel, K. D. 1989. *Rhizobium leguminosarum* ezcB2 genetic region encoding lipopolysaccharide synthase essential for complete nodule development on bean plants. *J. Bacteriol.* 171:8-15.
- Cava, J. R., Tao, H., and Noel, K. D. 1990. Mapping of complementary genes within a *Rhizobium leguminosarum* CPN42 chromosomal region required for lipopolysaccharide synthesis. *Mol. Gen. Genet.* 221:125-128.
- Coplin, D. L., and Cook, D. 1990. Molecular genetics of extracellular polysaccharide biosynthesis in vascular phytopathogenic bacteria. *Mol. Plant-Microbe Interact.* 3:271-279.
- Crow, V. L., Jarvis, D. B. W., and Greenwood, R. M. 1981. Deoxyribonucleic acid homologies among acid-producing strains of *Rhizobium*. *J. Gen. Microbiol.* 120:111-112.
- Dowell, R. E., and Noel, K. D. 1989. *Rhizobium leguminosarum* exopolysaccharide mutants: biochemical and genetic analyses and symbiotic behavior on three hosts. *J. Bacteriol.* 171:4821-4830.
- Eckhardt, T. 1977. A rapid method for the preparation of plasmid DNA. *Planta* 174:154-156.
- Fabre, G. 1957. The infection of clover root hair by nodule bacteria studied by a single glass slide technique. *J. Gen. Microbiol.* 16:374-381.
- Friedrich, D. H., and Helinski, D. R. 1979. Replication of an origin-containing derivative of plasmid RK2 dependent on a plasmid function provided in trans. *Proc. Natl. Acad. Sci. USA* 76:1648-1652.
- Flores, S., González, V., Brom, S., Martínez, E., Píñero, D., Romero, J. M., and Palacios, R. 1994. DNA sequence differences in *Rhizobium* and *Azotobacter* spp. *J. Bacteriol.* 176:7578-7585.
- García-de los Santos, A., Brom, S., and Romero, D. 1996. *Rhizobium* plasmids in bacteria-legume interactions. *World J. Microbiol. Biotechnol.* 12:119-125.
- Graves, D. E., Goss, S. E., Mackie, F., Vargas, A. A. T., and Palacios, R. 1982. Variation in acid soil tolerance among strains of *Rhizobium phaseoli*. *Field Crop Res.* 5:121-128.
- Hood, E. E., Helmer, G. L., Fraley, R. T., and Chilton, M. D. 1986. The *Rhizobium* Ti plasmid: Agrobacterium tumefaciens DNA encoded in a region of pTiBac21 containing T-DNA. *J. Bacteriol.* 168:1209-1210.
- Hooijkaas, J. J., Klapwijk, P. M., Nuti, M., P. Schilperoort, R. A., and Rörsch, A. 1977. Transfer of the *Agrobacterium tumefaciens* Ti plasmid to different *Agrobacteria* and to *Rhizobium* ex planta. *J. Gen. Microbiol.* 99:111-116.
- Hynes, M. F., and MacGregor, N. F. 1990. Two plasmids other than the nodulation plasmids are necessary for formation of nitrogen fixing nodules in *Rhizobium leguminosarum*. *Mol. Microbiol.* 4:367-374.
- Hyatt, P. G., Quigley, C. A., and Puhler, A. 1988. Direct selection transposons carrying the *Bacillus subtilis* *satCba* gene. *Tech. 78:11-120.*
- Jennings, M. P., Van der Ley, P., Wilks, K. E., Maskell, D. J., Poolman, J. T., and Morrissey, J. B. 1993. Cloning and molecular analysis of the *gal E* gene of *Neisseria gonorrhoeae* and its role in lipopolysaccharide biosynthesis. *Mol. Microbiol.* 10:361-369.
- Jiang, X. M., Neal, B., Santiago, F., Lee, S. J., Romana, L. K., and Reever, R. E. 1992. Structure and sequence of the *rfb* (O antigen) gene cluster of *Salmonella enterica* serovar *typhimurium* (strain LT2). *Mol. Microbiol.* 5:695-711.
- Jones, J. D. G., and Gutierrez, N. 1987. An efficient mobilizable cosmid vector, pRK7813, and its use in a rapid method for marker exchange in *Agrobacterium tumefaciens*. *J. Bacteriol.* 169:2974-2978.
- Kuroda, T., Shigesaka, A., and Loranthac, Z. 1998. Transfer of nodulation ability in *Rhizobium* using a R6B43 derived plasmid. *Mol. Gen. Genet.* 261:389-391.
- Kyne, J., and Melville, B. P. 1982. A method for displaying the hydrolytic cleavage of plasmid DNA. *Mol. Biol.* 157:11-16.
- Lamb, J. A., and Lee, C. C. 1988. Characterization of lipopolysaccharides of *Rhizobium meliloti* ezc mutants that form ineffective nodules. *J. Bacteriol.* 170:3327-3332.
- Leng, Y., and Liu, G. C. 1994. Exopolysaccharides of *Rhizobium*: Synthesis, regulation and symbiotic function. *Trends Genet.* 10:63-67.
- López-Lara, I. M., Orgamínde, G., Dazzo, F. B., Olivares, J., and Toro, N. 1995. Surface polysaccharide mutants of *Rhizobium* sp. (Acacia) strain CRH2: Major requirement of lipopolysaccharide for successful infection threads, nodules and host range determination. *Microbiology* 141:573-581.
- Macpherson, D. F., Manning, P. A., and Monroe, R. 1994. Characterization of the DTD-β-Dmannose biosynthetic genes involved in the rfb locus of *Agrobacterium tumefaciens*. *J. Bacteriol.* 176:2881-2889.
- Martínez, E., Palacios, R., and Sánchez, F. 1987. Nitrogen-fixing endosymbionts induced by *Agrobacterium tumefaciens* harboring *Rhizobium phaseoli* plasmids. *J. Bacteriol.* 169:2828-2834.
- Martínez, E., Muñoz, M. A., and Colillas, M. A. 1985. Requirement of nitrogen-fixing genes for nodulation and specificity of *Rhizobium* in nodulation and nitrogen fixation in *Phaseolus vulgaris*. *J. Gen. Microbiol.* 131:1779-1786.

- Martínez-Romero, E. 1994. Recent developments in *Rhizobium* taxonomy. *FEMS Microbiol. Rev.* 11:111-120.
- Martínez-Nieto, N., Lohman, R., Ruvkun, G. B., Brown, S. E., and Ausubel, F. M. 1982. Physical and genetic characterization of symbiotic and non-symbiotic mutants of *Rhizobium meliloti* induced by transposon mutagenesis. *J. Bacteriol.* 149:114-122.
- McCabe, J. A. 1974. *Primer of Molecular Genetics*. Cold Spring Harbor Laboratory, Cold Spring Harbor, NY.
- Morales, V. N., Backman, A., and Bagdasarian, M. 1991. A series of wide-host-range low-copy-number vectors that allow direct screening for recombinants. *Curr. Opin. Genet. Dev.* 97:39-47.
- Murphy, C. M., Steffens, M., O'Farrell, J., Arnold, W., and Pühler, A. 1993. Genetic analysis of the *Rhizobium meliloti* *exoYFQ* operon: *EaoY* is homologous to sugar transferases and *EaoX* represents a transmembrane protein. *Mol. Plant-Microbe Interact.* 6:53-65.
- Nakaguchi, T., Yamada, M., and Ohki, A. 1987. Characterization and molecular determination of the *luciferase* gene in the hairy-root-inducing plasmid pR1A4b. *Mol. Cell. Genet.* 206:1-8.
- Noel, K. D. 1992. Rhizobial polysaccharides required in symbiosis with legumes. Pages 324-357 in: *Molecular Signals in Plant-Microbe Interactions*, ed. J. van der Valk, CRC Press, Boca Raton, FL.
- Noel, K. D., Sánchez, A., Fernández, L., Llermann, J., and Cervelló, M. 1984. *Rhizobium phaseoli* symbiotic mutants with transposon *Tn* insertion. *J. Bacteriol.* 158:148-152.
- Ogawa, G., Hori, T., Yamada, Y., Venn, R. J. M., Van Beeklen, P., Regensburger, T., and Schipperpoort, R. A. 1982. Octopine *Ti* plasmid deletion mutants of *Agrobacterium tumefaciens* with emphasis on the right side of the *T*-region. *Plasmid* 7:15-19.
- Pájaro, D., Martínez, E., and Selander, R. K. 1988. Genetic diversity and phylogeny of *Rhizobium* and *Agrobacterium* based on isozymes. *Appl. Environ. Microbiol.* 54:2825-2832.
- Quinto, C., de la Vega, H., Flores, M., Fernández, L., Badillo, T., Sotomayor, G., and Palacios, R. 1985. Restoration of nitrogen fixation gene expression in *Rhizobium* by *luciferase* reporter genes. *Plant Mol. Biol.* 5:291-299.
- Rigby, P. W. J., Dieckman, M., Rhodes, C., and Berg, P. 1976. Labeling deoxyribonucleic acid to high specific activity in vitro by nick translation with DNA polymerase I. *J. Mol. Biol.* 113:237-251.
- Rosenberg, C., and Nalbantoglu, K. 1990. Large scale sequencing specific neural networks for promoter and splice site recognition. Pages XXXXX in: Proc. Pacific Symp. Biocomput. Larry Hunter and Terri Klein, eds. PUBLISHER INFORMATION.
- Rosenberg, C., and Hughes, T. 1984. The pATC28 plasmid of *Agrobacterium tumefaciens* is not essential for tumor induction. *Mol. Gen. Genet.* 196:533-536.
- Sambrook, J., Fritsch, E. F., and Maniatis, T. A. 1989. *Molecular Cloning: A Laboratory Manual*, 2nd ed. Cold Spring Harbor Laboratory, Cold Spring Harbor, NY.
- Sau, S., and Levy, C. Y. 1996. Cloning of type II capsule genes and analysis of gene clusters for the production of different capsular polysaccharides in *Staphylococcus aureus*. *J. Bacteriol.* 178:2118-2126.
- Schmid, A., Kondorosi, E., Razi, P., Baur, M., and Kondorosi, A. 1994. Cell wall polysaccharide biology of *Rhizobium* plant interactions. *Int. Rev. Cytol.* 156:1-75.
- Segovia, L., Young, J. P. W., and Martínez-Romero, E. 1993. Reclassification of American *Rhizobium leguminosarum* biovar *biovar* type I strains. *Int. J. Syst. Bacteriol.* 43:373-377.
- Sharmik, M., Venho, R., Törmälä, P., and Al-Hanfy, A. 1995. A novel locus of *Yersinia enterocolitica* serotype O3 involved in lipopolysaccharide outer core biosynthesis. *Mol. Microbiol.* 17:575-594.
- Souza, M. J., Zorzano, A., García-Rodríguez, F. M., Mercado-Blanco, J., López-García, C., and Martínez-Romero, E. 1995. Construction of a novel *Rhizobium meliloti* nodulation efficiency nif gene fusioning of *Agrobacterium tumefaciens* ornithine cyclodeaminase. *Mol. Plant-Microbe Interact.* 7:703-707.
- Spiegel, C., Broto, S., García-de los Santos, A., Gómez, L., Díaz, G., and Palacios, R. 1993. Plasmid related phenotypes in *Rhizobium leguminosarum* bv. *trifoli* ANU843. Page 633 in: *New Horizons in Nitrogen Fixation*, R. Palacios, J. Mora, and W. E. Newton, eds. Kluwer Academic Publishers, Dordrecht, The Netherlands.
- Turner, S. L., and Young, J. P. 1995. The *luciferase* region of the *Rhizobium leguminosarum* cryptic plasmid pRL8J. *PLoS Microbiol.* 1(1): e133:53-58.
- Wang, S., and Gabriel, O. 1969. Biological mechanisms involved in the formation of deoxy sugars. *J. Biol. Chem.* 244:3430-3437.
- Watson, R. J. 1990. Analysis of the *C₄*-dicarboxylate transport genes of *Rhizobium meliloti*: Nucleotide sequence and deduced products of mRNA. *J. Bacteriol.* 172:1749-1755.
- Wentzel, R. K., Toma, P., and Hol, W. G. J. 1996. Production of the octapeptide ADP-binding alpha-helix in prophase, using an amino acid sequence flanking the gene *adp*. *J. Biol. Chem.* 271:101-107.
- Wyll, P., and Berney, P. 1990. Isolation and characterization of the gene *galE* from *Escherichia coli*, which confers enzyme specificity on group B *Salmonella*: Homology with galactose epimerase. *J. Bacteriol.* 171:3687-3693.
- Zevenhoven, L. P. T. M., and Van Niswouw, A. R. W. 1983. Cell-forming capacities of *Rhizobium leguminosarum* and *Rhizobium* ingredi. *Catabol. Carbol.* 124:166-171.

1995
 ← Pages: 737-738 | Pacific Symposium on
 Biocomputing '96. L. Hunter and
 T. Klein, eds. World Scient. Pte
 Publishing Co., Singapore -

Table 1. Identity and similarity of ORF1, LpxB1, and LpxB2 with homologous proteins*

ORF1 (Omag) ^b	Similar glycopptides	Length ^a	Degree of identity/similarity	Potative Functions	Date last accession number
ORF1 (173)	<i>Riboflavin leguminosarum</i> RspC	405	60.9/74.1	Plasmid replication	X89447
<i>A. rhizogenes</i> RepC		405	60.5/73.4	Plasmid replication	X04833
LpxB1 (193)	<i>Staphylococcus carnosus</i> Cap3M	185	43.4/66.8	Undetermined	U81973
<i>S. enteritidis</i> Cap1		185	42.9/66.8	Undetermined	U73374
LpxB2 (683)	<i>S. enteritidis</i> RspB	300	39.6/61.1	Glycosyltransferase	X50011
<i>R. leguminosarum</i> Psd2		200	38.6/61.3	Undetermined	P10498
<i>R. meliloti</i> EsoY		226	37.9/60.9	Galactosyltransferase	Q02731
<i>Salmonella enterica</i> RspB		125	37.8/60.5	Galactosyltransferase	X80666
<i>Vibrio cholerae</i> Otr7		186	37.5/60.9	Galactosyltransferase	U00007
<i>Acinetobacter</i> RspB		252	33.1/56.8	Galactosyltransferase	U73590
<i>Salmonella typhimurium</i> RspB		476	36.9/62.1	Galactosyltransferase	S15314
<i>Xanthomonas campestris</i> CmsD		484	38.4/64.7	Glycosyltransferase	U23251
<i>Proteobacteriophage</i> WspM		653	34.5/64.0	Egg protein@dehydratase	U50036
<i>Bacillus pumilus</i> BspL		624	45.3/64.8	dTDP-glucose 4,6-dehydratase	X07711
<i>Versatilis enteroocolic</i> TrcG		636	45.1/66.2	dTDP-glucose 4,6-dehydratase	Z47767
<i>S. enteritidis</i> CapD		599	38.0/63.6	Undetermined	U10927
<i>V. cholerae</i> ORF11		378	54.1/69.9	Undetermined	U47057
<i>Neisseria meningitidis</i> GalE		339	52.0/69.0	UDP-glucose 4-epimerase	LO9188
<i>N. meningitidis</i> RspB		360	32.0/46.0	dTDP-glucose 4,6-dehydratase	LO9185
<i>R. meliloti</i> EsoB		328	21.6/45.0	UDP-glucose 4-epimerase	P26503
<i>N. gonorrhoeae</i> RspB		346	21.0/46.5	dTDP-glucose 4,6-dehydratase	P37761

* Values are in percentage (see Materials and Methods).

^a Amino acids.

Table 2. Strains and plasmids used in this study

Strain	Genotype	Relevant characteristics	References or sources ^a
<i>Photorhabdus</i> spp.			
CPN462	(+)	Wild type	Quinto et al. 1982
CPN463	(+)	CPN462 complemented with pTc58Trc ⁺ :Tn5::Sp, Km ^r	Cava et al. 1982
CPN9163	(+)	CPN462 complemented with pCPN42b	Brown et al. 1992
CPN9188	(+)	CPN9163 harboring pDEB27	Brown et al. 1992
CPN9190	(+)	CPN9163 harboring R. <i>elli</i> CPN42 plasmid pCPN42b::Tn5mob	This study
CPN9230	(-)	CPN9163 Rif ^r	This study
CPN9277	(+)	CPN9163 harboring <i>A. nemopiseciae</i> NT-1 plasmid pTc58Trc ⁺ :Tn57-52, Km ^r	This study
CPN9228	(+)	CPN9163 harboring <i>A. nemopiseciae</i> NT-1 plasmid pTc58Trc ⁺ :Tn57-52, Km ^r	This study
CPN9229	(+)	CPN9228 complemented with pDEB27, Tc ^r	This study
CPN9231	(+)	CPN9220 complemented with R. <i>elli</i> plasmid pTAL182a::Tn5mob::soc	This study
CPN9232	(+)	CPN9220 complemented with R. <i>elli</i> plasmid pViking 5b::Tn5mob::soc	This study
CPN9233	(+)	pAMV843b::Tn5mob::soc	This study
CPN9234	(+)	CPN9230 complemented with R. <i>leguminosarum</i> plasmid pViking 5b::Tn5mob::Sp	This study
CPN9235	(+)	CPN9230 complemented with pAG510	This study
Brazil 5	(+)	Wild type	Pfleiderer et al. 1988
CFN285	(+)	Wild type	Martínez et al. 1985
Nitengin 8251	(+)	Wild type	Pfleiderer et al. 1988
TAL 182-1	(+)	Wild type	Pfleiderer et al. 1988
TAL 182-2	(-)	TAL 182 cured of plasmid pTAL182a	This study
TAL 182-2	(+)	TAL 182-2 complemented with R. <i>elli</i> plasmid pCFN42b::Tn5mob	This study
TAL 182-3	(+)	TAL 182-2 complemented with R. <i>leguminosarum</i> plasmid pVF39c::Tn5mob::Sp	This study
TAL 182-4	(+)	TAL 182-2 complemented with R. <i>leguminosarum</i> plasmid pVF39c::Tn5mob::soc	This study
Viking 1	(+)	Wild type	Pfleiderer et al. 1988
Viking 1-1	(+)	pViking1b::Tn5mob::soc	This study
<i>Agrobacterium tumefaciens</i>			
NT-1	(-)	<i>A. nemopiseciae</i> NT-1 harboring plasmid pTc58Trc ⁺ :Tn57-52, Km ^r	Beck von Bodman et al. 1989
GM19023-1	(-)	<i>A. nemopiseciae</i> GM19023 harboring plasmid pTc58Trc ⁺ :Tn57-52	This study
C-58	(-)	Vir + wild-type nopaline strain	Rosenberg and Hughei 1984
GM19023	(-)	C-58 cured of its nopaline plasmids	Rosenberg and Hughei 1984
L50-3	(-)	Vir -	Ooms et al. 1982
EHA 101	(-)	Vir + wild type	Hood et al. 1985
<i>Leguminosarum</i> bv. <i>trifolii</i>			
ANU843	(+)	Wild type	B. G. Roife
ANU843-1	(+)	pANU843-1: Tn5mob::soc	Stepienkiewicz et al. 1993
ANU843-1	(-)	Cured of plasmid pANU843-1 Rif ^r	Stepienkiewicz et al. 1993
ANU843-3	(+)	ANU843-2 Rif ^r complemented with R. <i>elli</i> plasmid pCFN42b::Tn5mob	This study
ANU843-4	(+)	ANU843-2 Rif ^r complemented with R. <i>elli</i> plasmid pTAL182a::Tn5mob::soc	This study
ANU843-5	(+)	ANU843-2 Rif ^r complemented with R. <i>leguminosarum</i> plasmid pVF39c::Tn5mob::Sp	This study
TAI	(+)	Wild type	B. G. Roife
24	(+)	Wild type	Kowalcuk et al. 1981
USDA1596	(+)	Wild type	USDA
USDA1594	(+)	Wild type	USDA
USDA1592	(+)	Wild type	USDA
<i>R. leguminosarum</i> bv. <i>viscicola</i>			
VF39	(+)	Wild type	Hynes and MacGregor 1990
VF39-1	(+)	pVF39c::Tn5mob::Sp (RP4-4)	M.F. Hynes
LBBL1301	(-)	Vir cured of pVF39c	MacGregor 1990
BB-10	(+)	Wild type	W. Lotz
BBBL1302	(+)	Wild type	C. A. Wijffelman
<i>R. meliloti</i>			
2031	(-)	Wild type	Casals et al. 1979
1021	(-)	Wild type	Meade et al. 1982
M119	(-)	Wild type	CIPN
cc169	(-)	Wild type	CIPN
311	(-)	Wild type	CIPN
<i>R. fredii</i> HIA			
CPN 299	(-)	Wild type	Martinez et al. 1987
BR 829	(-)	Wild type	CNPBS
BR 10037	(-)	Wild type	CNPBS
<i>R. fredii</i> HLB			
CIAT 899	(-)	Wild type	Graham et al. 1982
BR 648	(-)	Wild type	CNPBS
BR 850	(-)	Wild type	CNPBS
BR 852	(-)	Wild type	CNPBS

R. <i>lili</i>						
KPZB2037	(-)	Wild type				Crow et al. 1981
R. <i>lili</i>						
USDA 191	(-)	Wild type				USDA
<i>Rhizobium</i> spp.						B. G. Boller
NCR234	(-)	Wild type				
<i>Rhizobium japonicum</i>						
USDA110	(-)	Wild type				USDA
USDA370	(-)	Wild type				USDA
USDA341	(-)	Wild type				
<i>Azotobacter chroococcum</i>						
ORSS571	(-)	Wild type				K. Chaudhuri
<i>Plasmids</i>						
DPEL27	7.5-kb EcoRI fragment containing the <i>lprB</i> region cloned in pJAFR1.Tc ^r					Cava et al. 1989
PAEG510	1.5-kb EcoRI fragment of pAGS10 cloned in pRK7813.Tc ^r					This study
PAEG54	0.715-kb <i>Xba</i> I-SmaI fragment of pAGS10 cloned in pRK7813.TC ^r					This study
PAEG511	3.2-kb EcoRI-WindII fragment of pAGS10 cloned in pRK7813					This study
PAEG513	pAGS10 deletion of <i>Xba</i> I- <i>Xba</i> I 0.715-kb fragments					This study
PAEG515	4.3-kb SrfI-SrfI fragment of pDEL27 cloned in pHMR206.Cm ^r					
PAEG526	1.5-kb <i>Xba</i> I fragment of pDEL27 cloned in pHMR206.Cm ^r					
PAEG7813	Wild-type <i>Xba</i> I fragment vector, MboI IncP-TC ^r					
^a Sources: B. G. Boller, Plant-Microbe Interaction Group, Australian National University, Canberra; USDA, Beltsville Agricultural Research Center, Beltsville, MD; M. F. Hynes, Soil Science Section, Agriculture Canada Research Section, Lethbridge, Alberta, Canada; W. Lotz, Institut für Mikrobiologie und Biochemie der Universität Erlangen-Nürnberg, Staudtstrasse 5, D-8520 Erlangen, Germany; C. A. Wijffelman, Department of Plant Molecular Biology, Leiden University, Nieuweadastraat 3, 2311 VJ Leiden, The Netherlands; CIP, Centro de Investigaciones en Fitogenética y Biología del Desarrollo, Instituto Nacional de Medicina y Ciencias Biomédicas, Coyoacán, Mexico City, Mexico; J. M. Gómez, Departamento de Biología do Solo, Sección de Biotecnología, Universidade de Mariana, Belo Horizonte, Brazil; K. Chaudhuri, Laboratorio General, Lederle Research, 35 B-8000 Gent, Belgium.						
^b Total DNA from these strains was probed against <i>R. etli</i> <i>lprB</i> region, strains in which homologous sequences to <i>R. etli</i> (<i>lprB</i>) were found (+), strains that presented no hybridization signal (-).						
^c Abbreviations: Lpx, lipopolysaccharide; Ndv, nodule development; Km, kanamycin; Tc, tetracycline; Rif, rifampicin; Sp, spectinomycin; Cb, carbencillin; Cm, Cm, chloramphenicol.						

Table 3. Free-living and symbiotic phenotypes of *Rhizobium etli* and *R. leguminosarum* cross-complemented strains

Strain	Relevant genotype	Phenotypes				
		Fluc- cate-	Mic- robi-	Nod- ulation	N ₂ - fixa- tion	
<i>R. etli</i>						
CFN42	Wild type	-	+	+	+	
CFN4230	pJAFR1	+	+	+	+	
CFNX231	pJAFR1/TAL182a	+	+	+	+	
CFNX232	pJAFR1/VfV93b	-	+	+	+	
CFNX233	pJAFR1/DANU843b	-	+	+	+	
CFNX234	pJAFR1/VfV93c	-	+	+	+	
TAL182	Wild type	-	+	+	+	
TAL182-2	pJAFR1	-	+	+	+	
TAL182-3	pJAFR1/pCFN42b	-	+	+	+	
TAL182-4	pJAFR1/VfV93c	-	+	+	+	
<i>R. leguminosarum</i>						
ANUB43	Wild type	-	+	+	+	
ANUB43-2	pJAFR1	-	+	+	+	
ANUB43-3	pJAFR1/pCFN42b	-	+	+	+	
ANUB43-4	pJAFR1/TAL182a	-	+	+	+	
ANUB43-5	pJAFR1/VfV93c	-	+	+	+	

^a Checked in liquid M9 medium (REQUIREMENT). C: 1/1000 - UT: 41 - 0249.

^b Measured by 0.3% O₂ reduction.

^c Measured by acetylene reduction.

^d Measured by plant dry weight.

Table 4. Tumor induction by derivatives of Rhabdomylos *et al.* CPN442 harboring the T1-phage of *Agromyzettaea melanotricha* NY1

Strain	Bacterial characteristics	Tumor induction ^a
A. Incompatibility		
NY1	Some of pTIC38Tm ^b	++
CPN442-1	pTIC38Tm ^b derived by CPN442	++
B. Viral		
CPN442	Wild type	-
CPN442-7	CPN442/pTIC38Tm ^b	+
CPN442-8	pB ^c (pB8)	-
CPN442-9	pB ^c (pB9)/pTIC38Tm ^b	-
CPN442-10	pB ^c (pB10)/pTIC38Tm ^b	-
CPN442-20	pB ^c (pB20)/pTIC38Tm ^b	+

^a Evaluated on *Kalanchoe* stems. 3 weeks after inoculation: ++, large tumors; +, medium size tumors; -, no tumors.

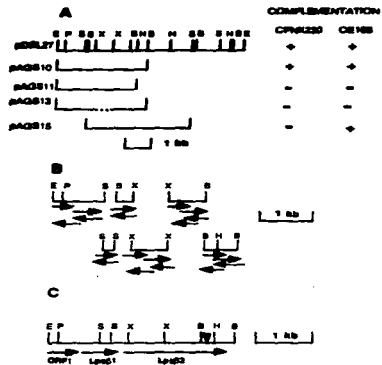


Fig. 1. Physical map and complementation analysis of CPN42/lpsB. **A:** Restriction map of the 7.5-kb EcoRI fragment of cosmid pADEL27. Subclones introduced by conjugation into CE168 and CPN230 LPS⁺ strains are shown below restriction map. In pAGS13, a deletion of the 715-bp *Xba*I-*Xba*I fragment is indicated by a bracketed arrow. Transjugation complementation checked for complementation of flocculation, sedimentation, and nitrogen fixation phenotypes. **B:** Subclones used for DNA sequencing of the 3.595-bp EcoRI-BamHI fragment. **C:** Deduced ORF1, LpsB1, and LpsB2 are indicated below the pAGS10 subclone. Location of the T5' promoter is indicated by an arrow pointing to the left. Abbreviations: E: EcoRI; P: PstI; S: SalI; X: XbaI; B: BamHI; H: HindIII. Symbols: +: complementing subclones; -: non-complementing subclones.

Fig. 2. Nucleotide sequence of the 3.95-kb EcoRI-BamHI fragment from *Rattus rattus* cDNA CP462 in *lspB* region. Derived amino acid sequences of ORF1-3, and *lspB2* are given in the standard one-letter code. Putative ATG start codons are underlined. Potential 3'-protrusions are overlined; potential restriction sites are underlined. Restriction enzyme sites corresponding to those shown on physical map in A are in bold. Positive NAD-binding sites are in bold and indicated by +, negative by -.

SLC1BPwhile hydrophilic Leu101Ile102Leu103Val104Phe105Ile106Trp107Leu108Asp109Gly110Ser111Gln112Asn113Lys114Asp115Glu116Asp117Gly118Asp119Gly120Asp121Gly122Asp123Gly124Asp125Gly126Asp127Gly128Asp129Gly130Asp131Gly132Asp133Gly134Asp135Gly136Asp137Gly138Asp139Gly140Asp141Gly142Asp143Gly144Asp145Gly146Asp147Gly148Asp149Gly150Asp151Gly152Asp153Gly154Asp155Gly156Asp157Gly158Asp159Gly160Asp161Gly162Asp163Gly164Asp165Gly166Asp167Gly168Asp169Gly170Asp171Gly172Asp173Gly174Asp175Gly176Asp177Gly178Asp179Gly180Asp181Gly182Asp183Gly184Asp185Gly186Asp187Gly188Asp189Gly190Asp191Gly192Asp193Gly194Asp195Gly196Asp197Gly198Asp199Gly199Asp200Gly201Asp202Gly203Asp204Gly205Asp206Gly207Asp208Gly209Asp210Gly211Asp212Gly213Asp214Gly215Asp216Gly217Asp218Gly219Asp220Gly221Asp222Gly223Asp224Gly225Asp226Gly227Asp228Gly229Asp230Gly231Asp232Gly233Asp234Gly235Asp236Gly237Asp238Gly239Asp240Gly241Asp242Gly243Asp244Gly245Asp246Gly247Asp248Gly249Asp250Gly251Asp252Gly253Asp254Gly255Asp256Gly257Asp258Gly259Asp260Gly261Asp262Gly263Asp264Gly265Asp266Gly267Asp268Gly269Asp270Gly271Asp272Gly273Asp274Gly275Asp276Gly277Asp278Gly279Asp280Gly281Asp282Gly283Asp284Gly285Asp286Gly287Asp288Gly289Asp290Gly291Asp292Gly293Asp294Gly295Asp296Gly297Asp298Gly299Asp299Gly300Asp301Gly302Asp303Gly304Asp305Gly306Asp307Gly308Asp309Gly309Asp310Gly311Asp312Gly313Asp314Gly315Asp316Gly317Asp318Gly319Asp319Gly320Asp321Gly322Asp323Gly324Asp325Gly326Asp327Gly328Asp329Gly329Asp330Gly331Asp332Gly333Asp334Gly335Asp336Gly337Asp338Gly339Asp339Gly340Asp341Gly342Asp343Gly344Asp345Gly346Asp347Gly348Asp349Gly349Asp350Gly351Asp352Gly353Asp354Gly355Asp356Gly357Asp358Gly359Asp359Gly360Asp361Gly362Asp363Gly364Asp365Gly366Asp367Gly368Asp369Gly369Asp370Gly371Asp372Gly373Asp374Gly375Asp376Gly377Asp378Gly379Asp379Gly380Asp381Gly382Asp383Gly384Asp385Gly386Asp387Gly388Asp389Gly389Asp390Gly391Asp392Gly393Asp394Gly395Asp396Gly397Asp398Gly399Asp399Gly400Asp401Gly402Asp403Gly404Asp405Gly406Asp407Gly408Asp409Gly409Asp410Gly411Asp412Gly413Asp414Gly415Asp416Gly417Asp418Gly419Asp419Gly420Asp421Gly422Asp423Gly424Asp425Gly426Asp427Gly428Asp429Gly429Asp430Gly431Asp432Gly433Asp434Gly435Asp436Gly437Asp438Gly439Asp439Gly440Asp441Gly442Asp443Gly444Asp445Gly446Asp447Gly448Asp449Gly449Asp450Gly451Asp452Gly453Asp454Gly455Asp456Gly457Asp458Gly459Asp459Gly460Asp461Gly462Asp463Gly464Asp465Gly466Asp467Gly468Asp469Gly469Asp470Gly471Asp472Gly473Asp474Gly475Asp476Gly477Asp478Gly479Asp479Gly480Asp481Gly482Asp483Gly484Asp485Gly486Asp487Gly488Asp489Gly489Asp490Gly491Asp492Gly493Asp494Gly495Asp496Gly497Asp498Gly499Asp499Gly500Asp501Gly502Asp503Gly504Asp505Gly506Asp507Gly508Asp509Gly509Asp510Gly511Asp512Gly513Asp514Gly515Asp516Gly517Asp518Gly519Asp519Gly520Asp521Gly522Asp523Gly524Asp525Gly526Asp527Gly528Asp529Gly529Asp530Gly531Asp532Gly533Asp534Gly535Asp536Gly537Asp538Gly539Asp539Gly540Asp541Gly542Asp543Gly544Asp545Gly546Asp547Gly548Asp549Gly549Asp550Gly551Asp552Gly553Asp554Gly555Asp556Gly557Asp558Gly559Asp559Gly560Asp561Gly562Asp563Gly564Asp565Gly566Asp567Gly568Asp569Gly569Asp570Gly571Asp572Gly573Asp574Gly575Asp576Gly577Asp578Gly579Asp579Gly580Asp581Gly582Asp583Gly584Asp585Gly586Asp587Gly588Asp589Gly589Asp590Gly591Asp592Gly593Asp594Gly595Asp596Gly597Asp598Gly599Asp599Gly600Asp601Gly602Asp603Gly604Asp605Gly606Asp607Gly608Asp609Gly609Asp610Gly611Asp612Gly613Asp614Gly615Asp616Gly617Asp618Gly619Asp619Gly620Asp621Gly622Asp623Gly624Asp625Gly626Asp627Gly628Asp629Gly629Asp630Gly631Asp632Gly633Asp634Gly635Asp636Gly637Asp638Gly639Asp639Gly640Asp641Gly642Asp643Gly644Asp645Gly646Asp647Gly648Asp649Gly649Asp650Gly651Asp652Gly653Asp654Gly655Asp656Gly657Asp658Gly659Asp659Gly660Asp661Gly662Asp663Gly664Asp665Gly666Asp667Gly668Asp669Gly669Asp670Gly671Asp672Gly673Asp674Gly675Asp676Gly677Asp678Gly679Asp679Gly680Asp681Gly682Asp683Gly684Asp685Gly686Asp687Gly688Asp689Gly689Asp690Gly691Asp692Gly693Asp694Gly695Asp696Gly697Asp698Gly699Asp699Gly700Asp701Gly702Asp703Gly704Asp705Gly706Asp707Gly708Asp709Gly709Asp710Gly711Asp712Gly713Asp714Gly715Asp716Gly717Asp718Gly719Asp719Gly720Asp721Gly722Asp723Gly724Asp725Gly726Asp727Gly728Asp729Gly729Asp730Gly731Asp732Gly733Asp734Gly735Asp736Gly737Asp738Gly739Asp739Gly740Asp741Gly742Asp743Gly744Asp745Gly746Asp747Gly748Asp749Gly749Asp750Gly751Asp752Gly753Asp754Gly755Asp756Gly757Asp758Gly759Asp759Gly760Asp761Gly762Asp763Gly764Asp765Gly766Asp767Gly768Asp769Gly769Asp770Gly771Asp772Gly773Asp774Gly775Asp776Gly777Asp778Gly779Asp779Gly780Asp781Gly782Asp783Gly784Asp785Gly786Asp787Gly788Asp789Gly789Asp790Gly791Asp792Gly793Asp794Gly795Asp796Gly797Asp798Gly799Asp799Gly800Asp801Gly802Asp803Gly804Asp805Gly806Asp807Gly808Asp809Gly809Asp810Gly811Asp812Gly813Asp814Gly815Asp816Gly817Asp818Gly819Asp819Gly820Asp821Gly822Asp823Gly824Asp825Gly826Asp827Gly828Asp829Gly829Asp830Gly831Asp832Gly833Asp834Gly835Asp836Gly837Asp838Gly839Asp839Gly840Asp841Gly842Asp843Gly844Asp845Gly846Asp847Gly848Asp849Gly849Asp850Gly851Asp852Gly853Asp854Gly855Asp856Gly857Asp858Gly859Asp859Gly860Asp861Gly862Asp863Gly864Asp865Gly866Asp867Gly868Asp869Gly869Asp870Gly871Asp872Gly873Asp874Gly875Asp876Gly877Asp878Gly879Asp879Gly880Asp881Gly882Asp883Gly884Asp885Gly886Asp887Gly888Asp889Gly889Asp890Gly891Asp892Gly893Asp894Gly895Asp896Gly897Asp898Gly899Asp899Gly900Asp901Gly902Asp903Gly904Asp905Gly906Asp907Gly908Asp909Gly909Asp910Gly911Asp912Gly913Asp914Gly915Asp916Gly917Asp918Gly919Asp919Gly920Asp921Gly922Asp923Gly924Asp925Gly926Asp927Gly928Asp929Gly929Asp930Gly931Asp932Gly933Asp934Gly935Asp936Gly937Asp938Gly939Asp939Gly940Asp941Gly942Asp943Gly944Asp945Gly946Asp947Gly948Asp949Gly949Asp950Gly951Asp952Gly953Asp954Gly955Asp956Gly957Asp958Gly959Asp959Gly960Asp961Gly962Asp963Gly964Asp965Gly966Asp967Gly968Asp969Gly969Asp970Gly971Asp972Gly973Asp974Gly975Asp976Gly977Asp978Gly979Asp979Gly980Asp981Gly982Asp983Gly984Asp985Gly986Asp987Gly988Asp989Gly989Asp990Gly991Asp992Gly993Asp994Gly995Asp996Gly997Asp998Gly999Asp999Gly1000Asp1001Gly1002Asp1003Gly1004Asp1005Gly1006Asp1007Gly1008Asp1009Gly1009Asp1010Gly1011Asp1012Gly1013Asp1014Gly1015Asp1016Gly1017Asp1018Gly1019Asp1019Gly1020Asp1021Gly1022Asp1023Gly1024Asp1025Gly1026Asp1027Gly1028Asp1029Gly1029Asp1030Gly1031Asp1032Gly1033Asp1034Gly1035Asp1036Gly1037Asp1038Gly1039Asp1039Gly1040Asp1041Gly1042Asp1043Gly1044Asp1045Gly1046Asp1047Gly1048Asp1049Gly1049Asp1050Gly1051Asp1052Gly1053Asp1054Gly1055Asp1056Gly1057Asp1058Gly1059Asp1059Gly1060Asp1061Gly1062Asp1063Gly1064Asp1065Gly1066Asp1067Gly1068Asp1069Gly1069Asp1070Gly1071Asp1072Gly1073Asp1074Gly1075Asp1076Gly1077Asp1078Gly1079Asp1079Gly1080Asp1081Gly1082Asp1083Gly1084Asp1085Gly1086Asp1087Gly1088Asp1089Gly1089Asp1090Gly1091Asp1092Gly1093Asp1094Gly1095Asp1096Gly1097Asp1098Gly1099Asp1099Gly1100Asp1101Gly1102Asp1103Gly1104Asp1105Gly1106Asp1107Gly1108Asp1109Gly1109Asp1110Gly1111Asp1112Gly1113Asp1114Gly1115Asp1116Gly1117Asp1118Gly1119Asp1119Gly1120Asp1121Gly1122Asp1123Gly1124Asp1125Gly1126Asp1127Gly1128Asp1129Gly1129Asp1130Gly1131Asp1132Gly1133Asp1134Gly1135Asp1136Gly1137Asp1138Gly1139Asp1139Gly1140Asp1141Gly1142Asp1143Gly1144Asp1145Gly1146Asp1147Gly1148Asp1149Gly1149Asp1150Gly1151Asp1152Gly1153Asp1154Gly1155Asp1156Gly1157Asp1158Gly1159Asp1159Gly1160Asp1161Gly1162Asp1163Gly1164Asp1165Gly1166Asp1167Gly1168Asp1169Gly1169Asp1170Gly1171Asp1172Gly1173Asp1174Gly1175Asp1176Gly1177Asp1178Gly1179Asp1179Gly1180Asp1181Gly1182Asp1183Gly1184Asp1185Gly1186Asp1187Gly1188Asp1189Gly1189Asp1190Gly1191Asp1192Gly1193Asp1194Gly1195Asp1196Gly1197Asp1198Gly1199Asp1199Gly1200Asp1201Gly1202Asp1203Gly1204Asp1205Gly1206Asp1207Gly1208Asp1209Gly1209Asp1210Gly1211Asp1212Gly1213Asp1214Gly1215Asp1216Gly1217Asp1218Gly1219Asp1219Gly1220Asp1221Gly1222Asp1223Gly1224Asp1225Gly1226Asp1227Gly1228Asp1229Gly1229Asp1230Gly1231Asp1232Gly1233Asp1234Gly1235Asp1236Gly1237Asp1238Gly1239Asp1239Gly1240Asp1241Gly1242Asp1243Gly1244Asp1245Gly1246Asp1247Gly1248Asp1249Gly1249Asp1250Gly1251Asp1252Gly1253Asp1254Gly1255Asp1256Gly1257Asp1258Gly1259Asp1259Gly1260Asp1261Gly1262Asp1263Gly1264Asp1265Gly1266Asp1267Gly1268Asp1269Gly1269Asp1270Gly1271Asp1272Gly1273Asp1274Gly1275Asp1276Gly1277Asp1278Gly1279Asp1279Gly1280Asp1281Gly1282Asp1283Gly1284Asp1285Gly1286Asp1287Gly1288Asp1289Gly1289Asp1290Gly1291Asp1292Gly1293Asp1294Gly1295Asp1296Gly1297Asp1298Gly1299Asp1299Gly1300Asp1301Gly1302Asp1303Gly1304Asp1305Gly1306Asp1307Gly1308Asp1309Gly1309Asp1310Gly1311Asp1312Gly1313Asp1314Gly1315Asp1316Gly1317Asp1318Gly1319Asp1319Gly1320Asp1321Gly1322Asp1323Gly1324Asp1325Gly1326Asp1327Gly1328Asp1329Gly1329Asp1330Gly1331Asp1332Gly1333Asp1334Gly1335Asp1336Gly1337Asp1338Gly1339Asp1339Gly1340Asp1341Gly1342Asp1343Gly1344Asp1345Gly1346Asp1347Gly1348Asp1349Gly1349Asp1350Gly1351Asp1352Gly1353Asp1354Gly1355Asp1356Gly1357Asp1358Gly1359Asp1359Gly1360Asp1361Gly1362Asp1363Gly1364Asp1365Gly1366Asp1367Gly1368Asp1369Gly1369Asp1370Gly1371Asp1372Gly1373Asp1374Gly1375Asp1376Gly1377Asp1378Gly1379Asp1379Gly1380Asp1381Gly1382Asp1383Gly1384Asp1385Gly1386Asp1387Gly1388Asp1389Gly1389Asp1390Gly1391Asp1392Gly1393Asp1394Gly1395Asp1396Gly1397Asp1398Gly1399Asp1399Gly1400Asp1401Gly1402Asp1403Gly1404Asp1405Gly1406Asp1407Gly1408Asp1409Gly1409Asp1410Gly1411Asp1412Gly1413Asp1414Gly1415Asp1416Gly1417Asp1418Gly1419Asp1419Gly1420Asp1421Gly1422Asp1423Gly1424Asp1425Gly1426Asp1427Gly1428Asp1429Gly1429Asp1430Gly1431Asp1432Gly1433Asp1434Gly1435Asp1436Gly1437Asp1438Gly1439Asp1439Gly1440Asp1441Gly1442Asp1443Gly1444Asp1445Gly1446Asp1447Gly1448Asp1449Gly1449Asp1450Gly1451Asp1452Gly1453Asp1454Gly1455Asp1456Gly1457Asp1458Gly1459Asp1459Gly1460Asp1461Gly1462Asp1463Gly1464Asp1465Gly1466Asp1467Gly1468Asp1469Gly1469Asp1470Gly1471Asp1472Gly1473Asp1474Gly1475Asp1476Gly1477Asp1478Gly1479Asp1479Gly1480Asp1481Gly1482Asp1483Gly1484Asp1485Gly1486Asp1487Gly1488Asp1489Gly1489Asp1490Gly1491Asp1492Gly1493Asp1494Gly1495Asp1496Gly1497Asp1498Gly1499Asp1499Gly1500Asp1501Gly1502Asp1503Gly1504Asp1505Gly1506Asp1507Gly1508Asp1509Gly1509Asp1510Gly1511Asp1512Gly1513Asp1514Gly1515Asp1516Gly1517Asp1518Gly1519Asp1519Gly1520Asp1521Gly1522Asp1523Gly1524Asp1525Gly1526Asp1527Gly1528Asp1529Gly1529Asp1530Gly1531Asp1532Gly1533Asp1534Gly1535Asp1536Gly1537Asp1538Gly1539Asp1539Gly1540Asp1541Gly1542Asp1543Gly1544Asp1545Gly1546Asp1547Gly1548Asp1549Gly1549Asp1550Gly1551Asp1552Gly1553Asp1554Gly1555Asp1556Gly1557Asp1558Gly1559Asp1559Gly1560Asp1561Gly1562Asp1563Gly1564Asp1565Gly1566Asp1567Gly1568Asp1569Gly1569Asp1570Gly1571Asp1572Gly1573Asp1574Gly1575Asp1576Gly1577Asp1578Gly1579Asp1579Gly1580Asp1581Gly1582Asp1583Gly1584Asp1585Gly1586Asp1587Gly1588Asp1589Gly1589Asp1590Gly1591Asp1592Gly1593Asp1594Gly1595Asp1596Gly1597Asp1598Gly1599Asp1599Gly1600Asp1601Gly1602Asp1603Gly1604Asp1605Gly1606Asp1607Gly1608Asp1609Gly1609Asp1610Gly1611Asp1612Gly1613Asp1614Gly1615Asp1616Gly1617Asp1618Gly1619Asp1619Gly1620Asp1621Gly1622Asp1623Gly1624Asp1625Gly1626Asp1627Gly1628Asp1629Gly1629Asp1630Gly1631Asp1632Gly1633Asp1634Gly1635Asp1636Gly1637Asp1638Gly1639Asp1639Gly1640Asp1641Gly1642Asp1643Gly1644Asp1645Gly1646Asp1647Gly1648Asp1649Gly1649Asp1650Gly1651Asp1652Gly1653Asp1654Gly1655Asp1656Gly1657Asp1658Gly1659Asp1659Gly1660Asp1661Gly1662Asp1663Gly1664Asp1665Gly1666Asp1667Gly1668Asp1669Gly1669Asp1670Gly1671Asp1672Gly1673Asp1674Gly1675Asp1676Gly1677Asp1678Gly1679Asp1679Gly1680Asp1681Gly1682Asp1683Gly1684Asp1685Gly1686Asp1687Gly1688Asp1689Gly1689Asp1690Gly1691Asp1692Gly1693Asp1694Gly1695Asp1696Gly1697Asp1698Gly1699Asp1699Gly1700Asp1701Gly1702Asp1703Gly1704Asp1705Gly1706Asp1707Gly1708Asp1709Gly1709Asp1710Gly1711Asp1712Gly1713Asp1714Gly1715Asp1716Gly1717Asp1718Gly1719Asp1719Gly1720Asp1721Gly1722Asp1723Gly1724Asp1725Gly1726Asp1727Gly1728Asp1729Gly1729Asp1730Gly1731Asp1732Gly1733Asp1734Gly1735Asp1736Gly1737Asp1738Gly1739Asp1739Gly1740Asp1741Gly1742Asp1743Gly1744Asp1745Gly1746Asp1747Gly1748Asp1749Gly1749Asp1750Gly1751Asp1752Gly1753Asp1754Gly1755Asp1756Gly1757Asp1758Gly1759Asp1759Gly1760Asp1761Gly1762Asp1763Gly1764Asp1765Gly1766Asp1767Gly1768Asp1769Gly1769Asp1770Gly1771Asp1772Gly1773Asp1774Gly1775Asp1776Gly1777Asp1778Gly1779Asp1779Gly1780Asp1781Gly1782Asp1783Gly1784Asp1785Gly1786Asp1787Gly1788Asp1789Gly1789Asp1790Gly1791Asp1792Gly1793Asp1794Gly1795Asp1796Gly1797Asp1798Gly1799Asp1799Gly1800Asp1801Gly1802Asp1803Gly1804Asp1805Gly1806Asp1807Gly1808Asp1809Gly1809Asp1810Gly1811Asp1812Gly1813Asp1814Gly1815Asp1816Gly1817Asp1818Gly1819Asp1819Gly1820Asp1821Gly1822Asp1823Gly1824Asp1825Gly1826Asp1827Gly1828Asp1829Gly1829Asp1830Gly1831Asp1832Gly1833Asp1834Gly1835Asp1836Gly1837Asp1838Gly1839Asp1839Gly1840Asp1841Gly1842Asp1843Gly1844Asp1845Gly1846Asp1847Gly1848Asp1849Gly1849Asp1850Gly1851Asp1852Gly1853Asp1854Gly1855Asp1856Gly1857Asp1858Gly1859Asp1859Gly1860Asp1861Gly1862Asp1863Gly1864Asp1865Gly1866Asp1867Gly1868Asp1869Gly1869Asp1870Gly1871Asp1872Gly1873Asp1874Gly1875Asp1876Gly1877Asp1878Gly1879Asp1879Gly1880Asp1881Gly1882Asp1883Gly1884Asp1885Gly1886Asp1887Gly1888Asp1889Gly1889Asp1890Gly1891Asp1892Gly1893Asp1894Gly1895Asp1896Gly1897Asp1898Gly1899Asp1899Gly1900Asp1901Gly1902Asp1903Gly1904Asp1905Gly1906Asp1907Gly1908Asp1909Gly1909Asp1910Gly1911Asp1912Gly1913Asp1914Gly1915Asp1916Gly1917Asp1918Gly1919Asp1919Gly1920Asp1921Gly1922Asp1923Gly1924Asp1925Gly1926Asp1927Gly1928Asp1929Gly1929Asp1930Gly1931Asp1932Gly1933Asp1934Gly1935Asp1936Gly1937Asp1938Gly1939Asp1939Gly1940Asp1941Gly1942Asp1943Gly1944Asp1945Gly1946Asp1947Gly1948Asp1949Gly1949Asp1950Gly1951Asp1952Gly1953Asp1954Gly1955Asp1956Gly1957Asp1958Gly1959Asp1959Gly1960Asp1961Gly1962Asp1963Gly1964Asp1965Gly1966Asp1967Gly1968Asp1969Gly1969Asp1970Gly1971Asp1972Gly1973Asp1974Gly1975Asp1976Gly1977Asp1978Gly1979Asp1979Gly1980Asp1981Gly1982Asp1983Gly1984Asp1985Gly1986Asp1987Gly1988Asp1989Gly1989Asp1990Gly1991Asp1992Gly1993Asp1994Gly1995Asp1996Gly1997Asp1998Gly1999Asp1999Gly2000Asp2001Gly2002Asp2003Gly2004Asp2005Gly2006Asp2007Gly2008Asp2009Gly2009Asp2010Gly2011Asp2012Gly2013Asp2014Gly2015Asp2016Gly2017Asp2018Gly2019Asp2019Gly2020Asp2021Gly2022Asp2023Gly2024Asp2025Gly2026Asp2027Gly2028Asp2029Gly2029Asp2030Gly2031Asp2032Gly2033Asp2034Gly2035Asp2036Gly2037Asp2038Gly2039Asp2039Gly2040Asp2041Gly2042Asp2043Gly2044Asp2045Gly2046Asp2047Gly2048Asp2049Gly2049Asp2050Gly2051Asp2052Gly2053Asp2054Gly2055Asp2056Gly2057Asp2058Gly2059Asp2059Gly2060Asp2061Gly2062Asp2063Gly2064Asp2065Gly2066Asp2067Gly2068Asp2069Gly2069Asp2070Gly2071Asp2072Gly2073Asp2074Gly2075Asp2076Gly2077Asp2078Gly2079Asp2079Gly2080Asp2081Gly2082Asp2083Gly2084Asp2085Gly2086Asp2087Gly2088Asp2089Gly2089Asp2090Gly2091Asp2092Gly2093Asp2094Gly2095Asp2096Gly2097Asp2098Gly2099Asp2099Gly2100Asp2101Gly2102Asp2103Gly2104Asp2105Gly2106Asp2107Gly2108Asp2109Gly2109Asp2110Gly2111Asp2112Gly2113Asp2114Gly2115Asp2116Gly2117Asp2118Gly2119Asp2119Gly2120Asp2121Gly2122Asp2123Gly2124Asp2125Gly2126Asp2127Gly2128Asp2129Gly2129Asp2130Gly2131Asp2132Gly213



MO2445.tif line

Fig. 9. Sequences homologous to *Rhizobium etli* CFN42 *lnpB* region located in plasmids of *R. etli*, *R. leguminosarum* bv. *trifoli*, and *R. leguminosarum* bv. *viciae* strains. Odd-numbered lanes are ethidium bromide-stained plasmid profiles. Even-numbered lanes are Southern blots probed with *R. etli* CFN42 *lnpB* DNA. Molecular weight marker (λ DNA) is indicated in each panel. Lanes 1 and 2 are *R. etli* strains; lanes 3 and 4 are *R. leguminosarum* bv. *trifoli* strains; lanes 1, 2 ANU863 (230 kb); 3, 4 USDA 1596 (230 kb); lanes 3 and 4 are *R. leguminosarum* bv. *viciae* strains; lanes 1, 2 VPI39 (400 kb); 3, 4 EBL1362 (400 kb); lane 5 is λ DNA.

RESULTADOS ADICIONALES.

INFORMACION ADICIONAL SOBRE EL ORF1 INCOMPLETO.

Como se mencionó en los resultados del artículo, el análisis de secuencia de ADN del fragmento EcoRI-BamHI (3595 pb) clonado en el plásmido pAGS10, reveló la presencia de un ORF incompleto (ORF1), corriente arriba del gene *lpsB1*.

La comparación de la secuencia de aminoácidos del ORF1, con la base de datos de proteínas contenida en el NCBI, indicó que los 173 aminoácidos del ORF1 tienen un alto nivel de similitud con el extremo carboxilo de proteínas RepC de diferentes bacterias. Como se puede observar en la Tabla 2, el mayor porcentaje de identidad y similitud fue con el extremo carboxilo de las proteínas RepC de los plásmidos pCFN42d (pSim) de *R. etli*, pRL8J1 de *R. leguminosarum* y pRI44b de *A. rhizogenes*.

En las especies de *Rhizobium* y *Agrobacterium* donde se ha estudiado esta proteína, RepC generalmente se encuentra codificada en una región genética conocida como replicador, formando el operón *repABC*. El producto de los tres genes interviene en el proceso de replicación de los plásmidos (Tabata *et al.* 1989).

En la fig. 4, se muestra el alineamiento de la secuencia parcial de aminoácidos del ORF1, con el extremo carboxilo de las diferentes proteínas RepC reportadas en la Tabla 2.

La mayor divergencia entre los extremos carboxilos de las siete proteínas RepC comparadas se encuentra contenida entre los aminoácidos 23 y 48 (ver fig. 4). En esa zona, el ORF1 de *R. etli* y la proteína RepC de *R. meliloti* contienen 25 aminoácidos de los cuales únicamente seis están conservados entre ambas secuencias. Las proteínas RepC de *R. etli* (pSim), *R. leguminosarum*, *A. rhizogenes* y *A. tumefaciens*, carecen de esta secuencia de aminoácidos.

OTRAS SECUENCIAS DEL pCFN42b CONSERVADAS EN EL GENOMA DE *R. leguminosarum* bv. trifolií ANU843 Y *R. leguminosarum* bv. vicina VF39.

Como se mencionó en los resultados del artículo, la región *lpsβ*, está conservada en los plásmidos de *R. etli* y *R. leguminosarum* bv. vicinae y trifolií (Fig 4, artículo). Asimismo, la homología funcional de esta región se demostró para los plásmidos pCFN42b, pANU843b y pVF39c (Tabla 2, artículo).

Con la finalidad de conocer si entre estos tres plásmidos, además de la región *lpsβ*, existen otras secuencias de DNA conservadas, llevamos a cabo hibridaciones tipo Southern utilizando como sonda el pCFN42b completo.

Al igual que en hibridaciones anteriores (ver artículo), estas también fueron realizadas en condiciones de alta severidad, con lo cual solo secuencias altamente homólogas pueden ser detectadas.

En este experimento patrones de genoma total de las cepas silvestres y sus respectivas derivadas curadas, se hibridaron con este detector. En la fig. 5 se puede apreciar claramente múltiples señales de hibridación en los patrones silvestres y no en los de las derivadas curadas. Considerando las bandas de hibridación como fragmentos únicos, se estimó que alrededor de 65 kb de DNA del pANU843b mostraron homología con pCFN42b, es decir el 43% del pCFN42b. Para el caso de pVF39c, el cálculo indica que aproximadamente, 112 kb de DNA, mostraron homología con secuencias del pCFN42b, lo cual representa el 74% de este último.

Con la finalidad de hacer más específico el análisis de las secuencias compartidas entre los tres plásmidos, utilizamos como sondas de hibridación, dos secuencias de pCFN42b clonadas y caracterizadas.

Una de estas sondas fué el plásmido pA31, el cual contiene un fragmento de 5.6 kb de DNA

proveniente de pCFN42b. Dentro de este fragmento se encuentran contenidos los genes *rmpA* y *rmpB* los cuales confieren resistencia a *R. etli* CFN42 contra algún(os) compuestos tóxicos presentes en el exudado de raíces de frijol (González, 1996).

Perfiles de plásmidos de las cepas silvestres de *R. etli* CFN42, *R. leguminosarum* bv. trifolii ANU843 y *R. leguminosarum* bv. viciae VF39, así como de sus respectivas derivadas curadas (pCFN42b-, pANU843b- y pVF39c-), se hibridaron utilizando como sonda el pA31. Como se puede observar en la fig. 6, señales de hibridación se detectaron únicamente en los patrones silvestres, lo cual indica que existen secuencias homólogas a este fragmento conservadas en los plásmidos pANU843b y pVF39c.

La siguiente sonda utilizada fue el plásmido pJM101. Este plásmido porta un fragmento *EcoRI* de 2.7 kb del pCFN42b dentro del cual está contenido parte del gen *thiC*, necesario para la síntesis de tiamina en *R. etli* CFN42 (Miranda, 1995).

Como era de esperarse, en el caso de *R. etli* CFN42, la señal de hibridación aparece únicamente en el patrón silvestre (fig. 7). Sin embargo, en *R. leguminosarum* bv. trifolii ANU843, se observaron secuencias homólogas tanto en la cepa silvestre (dos bandas de hibridación) como en la derivada curada (una sola banda), lo que indica que las secuencias homólogas están distribuidas en dos plásmidos: pANU843a y pANU843b.

Como se puede observar en la misma figura, en *R. leguminosarum* bv. viciae VF39, la señal de hibridación aparece también en ambos patrones (silvestre y pVF39c-). Las secuencias homólogas no se localizaron en el pVF39c, en este caso, la homología proviene de secuencias localizadas en el pVF39d.

Los datos anteriores indican que en *R. leguminosarum* bv. trifolii ANU843 y *R. leguminosarum* bv. viciae VF39, secuencias homólogas a pCFN42b, no solo están conservadas en pANU843b y pVF39c, sino también en otros replicones.

Lo anterior se confirmó mediante otro experimento de hibridación, en el cual se utilizó como

sonda el cónsimo JM1121. Este cónsimo aislado a partir de un banco de genoma total de *R. etli* CPN42 por J. Miranda, lleva un fragmento de aproximadamente 23 kb (fig. 8b), dentro del cual están contenidos los genes *dhCOGE*.

En la fig. 8 se muestran las señales de hibridación sobre perfiles de plásmidos y genoma total digerido con *EcoRI*, utilizando el cónsimo JM1121 como sonda. Como se puede observar, en *R. etli* CPN42 estas secuencias sólo están presentes en pCFN42b, ya que la derivada curada no mostró señales de hibridación (fig 8a).

En *R. leguminosarum* bv. trifoliil ANU843, secuencias homólogas se localizaron no solo en el pANU843b, sino también en pANU843a, pANU843e, e incluso pudieran existir secuencias homologas en el cromosoma, debido a lo fuerte de las señales de hibridación en la entrada de los carriles (fig. 8a). En las hibridaciones sobre genoma total, se comprueba lo anterior. Como se puede observar en la fig. 8b, con excepción de tres bandas que parecen ser específicas de pANU843b, todas las demás bandas de homología están presentes en el genoma tanto de la cepa silvestre como de la derivada curada.

Para el caso de *R. leguminosarum* bv. viciae VF39, se observa algo similar, las secuencias con mayor homología al cónsimo JM1121, se localizaron principalmente en pVF39e y cromosoma, sin embargo algunas secuencias pudieran tener homología con pVF39b, y pVF39d (fig 8a). En las hibridaciones sobre genoma total, se observa que, tanto la cepa silvestre como la derivada curada presentan casi el mismo patrón de homología (fig. 8b). Las secuencias de este cónsimo con excepción de una sola banda parecen estar conservadas en replicones diferentes a pVF39c.

EXPERIMENTOS DE INCOMPATIBILIDAD DE PLÁSMIDOS.

Otra característica de los plásmidos pCFN42b, pANU843b y pVF39c se analizó mediante estudios de incompatibilidad. Para ello, los plásmidos pANU843b::Tn5mob (Kmr) y

pVF39c::Tn5mob (Spr) fueron introducidos por conjugación a la cepa silvestre de *R. etli* CFN42 (fig.9). Las transconjugantes se seleccionaron por el marcador de resistencia de cada plásmido. Las hibridaciones de los perfiles de plásmidos de las transconjugantes obtenidas, utilizando como detector la región *lpsβ* (pAGS10), se muestran en la fig.9. Como se puede observar en el carril 7, la transconjugante que lleva el plásmido pANU843b (el cual migra a la misma altura que pCFN42c) perdió su propio pCFN42b. La hibridación con el detector pAGS10, comprueba que la transconjugante solo contiene el pANU843b. Por lo tanto ambos plásmidos son incompatibles.

El perfil de plásmidos de la transconjugante con el pVF39c, muestra la presencia del pCFN42b, así como el plásmido pVF39c, el cual migra junto con el pCFN42d (carril 9). La coexistencia de ambos plásmidos se demuestra por la doble señal de hibridación (carril 10), lo cual significa que pCFN42b y pVF39c son plásmidos compatibles.

DISCUSION Y PERSPECTIVAS

El análisis genético y molecular de los plásmidos bacterianos ha estado concentrado en buena parte en las funciones de replicación, segregación, estabilidad y transferencia. Sin embargo en la mayoría de los plásmidos, existe una cantidad de información genética adicional a la involucrada con estas funciones, la cual ha sido poco estudiada. Como ejemplo podemos mencionar el escaso conocimiento que se tiene acerca de las funciones codificadas en plásmidos, que han permitido a las bacterias colonizar exitosamente su medio ambiente natural. Las bacterias que interactúan con plantas constituyen un modelo interesante para el estudio de la información genética involucrada en la colonización de su hábitat. El estudio del pSim de *Rhizobium* y el pTi de *Agrobacterium*, han permitido entender a nivel molecular algunos de los mecanismos que participan en la relación planta-bacteria.

Además del pSim, el estudio del resto de los plásmidos de *Rhizobium*, ha ampliado el concepto que normalmente se tiene acerca de la importancia de la información genética contenida en estos replicones. Por definición los plásmidos se han considerados como elementos genéticos accesorios al cromosoma, cuya información genética sólo se utiliza ocasionalmente.

Sin embargo, los plásmidos de *Rhizobium* constituyen algo más que un reservorio de material genético importante para la colonización y adaptación al suelo y a las raíces de leguminosas. La presencia de información genética necesaria para la utilización eficiente de nutrientes, para la síntesis de tiamina y de LPS, así como las características fenotípicas observadas en las cepas curadas de múltiples plásmidos, nos hacen pensar en un fuerte compromiso de dichos replicones con el óptimo funcionamiento celular tanto en simbiosis como en vida libre.

Los datos mencionados en el presente trabajo sugieren que el metabolismo de *Rhizobium* no solo depende de la expresión de genes cromosomales, sino también de la información genética contenida en plásmidos.

Ya que la curación de plásmidos, y el análisis fenotípico de dichos mutantes no se ha llevado a cabo de manera sistemática en otros grupos de bacterias, no es fácil conocer si en plásmidos de otras bacterias existen funciones equivalentes a las observadas en *Rhizobium*.

A este respecto, únicamente sabemos que en plásmidos de *Salmonella enterica*, *Shigella sonnei* y *Shigella dysenteriae* también se han localizado secuencias de DNA que participan en la síntesis de LPS. (Keenleyside *et al.* 1994). También en un plásmido de la cianobacteria *Anabaena azollae* se ha localizado una secuencia homóloga al gen *exoY* de *R. meliloti*, el cual codifica para una glucosiltransferasa, enzima clave en la primera etapa de síntesis de exopolisacárido (Plazinski *et al.* 1990).

En *R. etli* CFN42, la mayoría de sus plásmidos contribuyen a una fijación simbiótica de nitrógeno eficiente. La inducción e invasión de nódulos dependen de la información genética contenida en el plásmido simbiótico (pCFN42d) y de la región *lpxA/B* presente en el pCFN42b.

En el presente trabajo llevamos a cabo el análisis genético y molecular de la región *lpxA/B*, el cual contribuye de manera significativa al conocimiento sobre la síntesis de LPS. Primero, porque se demostró que de las 7.5 kb (pDel27) inicialmente utilizadas para complementar mutantes *lpxB*, únicamente dos ORFs contenidos en una región de 2.6 kb son indispensables para síntesis de LPS, y segundo porque son los primeros datos que se aportan respecto a la posible función de las proteínas codificadas en la región *lpxB*. Mediante la búsqueda de homología con otras proteínas, nuestros datos indicaron la presencia de dos posibles enzimas claves en la síntesis de LPS.

Los datos acerca de la composición química del LPS de *R. etli* CFN42, y de una mutante de *R. trifoli* afectada en la región *lpxB*, drásticamente disminuida en sus niveles de galactosa y ácido galacturónico, sugieren que el gen *lpxB* pudiera codificar para una supuesta transferasa, involucrada en el transporte de galactosa o ácido galacturónico al oligosacárido que compone el "core".

La actividad enzimática codificada en el gen *lpsB2* se asume a partir de la función asignada a proteínas homólogas, y a la composición química del antígeno-O. Esta enzima , pudiera ser una deshidratasa, que participe en la síntesis de alguno de los desoxi o didesoxi azúcares que se encuentran formando parte del antígeno-O. Ya que mutantes en ese gene carecen de antígeno-O, creemos que el azúcar sintetizado por la proteína LpsB2 pudiera unir el "core" con el antígeno-O.

Para conocer la función precisa de las enzimas codificadas en la región *lpsB*, este estudio deberá complementarse mediante un análisis de la composición química del LPS de la mutante CE168 afectada en el gen *lpsB2* y de la cepa pCTN42b- la cual carece de ambos genes. Igualmente importante será la determinación de las supuestas actividades enzimáticas propuestas para el producto de ambos genes.

Mediante el análisis genético y fenotípico del plásmido pDe127, se demostró que la información genética localizada corriente abajo del gen *lpsB2* no es indispensable para síntesis de LPS. Sin embargo cabe la posibilidad que alguna función importante relacionada o no con la síntesis de LPS, no detectada mediante el análisis fenotípico empleado, pudiera estar codificada en esa región. Por lo tanto será interesante continuar secueciendo en esa dirección.

Desde el punto de vista de la caracterización de secuencias codificadas en plásmidos, el análisis del fragmento de 3.6 kb clonado en el pAGS10, nos permitió identificar además de los ORFs necesarios para síntesis de LPS, 520 pb de la región 3' del posible gen *repC* (ORF1), el cual pudiera formar parte de las proteínas involucradas con la replicación de este plásmido.

En *A. tumefaciens*, RepC parece ser la principal proteína de iniciación de la replicación del plásmido Ti, ya que mutaciones en el gen *repC*, provocan la pérdida de la función de replicación del plásmido. Por otro lado mutaciones en los genes *repA* o *repB* provocan una

ligera inestabilidad del plásmido (Tabata *et al.* 1989).

En el alineamiento de la secuencia de aminoácidos del extremo carboxílico de las diferentes proteínas RepC, resulta una región de alrededor de 25 aminoácidos, muy poco conservada entre las seis proteínas analizadas (ver fig. 4). Turner *et al.* sugieren que la divergencia entre secuencias *repC* pudiera estar relacionada con grupos de incompatibilidad. Esta hipótesis se desprende de un estudio en el cual fragmentos de genes *repC* de diferentes miembros de la familia Rhizobiaceae, se amplificaron por PCR, se secuenciaron, y se agruparon en base al porcentaje de divergencia en la secuencia de nucleótidos (Turner *et al.* 1996). Dos plásmidos compatibles (capaces de coexistir en el mismo fondo genético) como pTIB6S3 de *A. tumefaciens* y pRIIA4b de *A. rhizogenes*, se ubicaron en grupos muy distantes debido a su alto nivel de divergencia, probablemente el nivel de divergencia detectado es lo que ha permitido a ambos plásmidos mantener su compatibilidad. Esta hipótesis debe ser reforzada analizando la divergencia de secuencias *repC* de un mayor número de plásmidos, tanto compatibles como incompatibles.

La localización del fragmento del probable gen *repC* del pCFN42b facilitará el aislamiento y caracterización de su región replicadora. Estos datos podrían posteriormente ser usados, junto con nuestros datos de incompatibilidad (ver adelante) para investigar si existe una correlación entre divergencia de secuencias *repC* de pCFN42b, pANU843b y pVF39c e incompatibilidad. Por otro lado, tomando en cuenta que a la fecha únicamente tres regiones replicadoras de plásmidos de *Rhizobium* se han publicado (Mercado-Blanco y Olivares 1993; Turner y Young 1995; Ramírez-Romero *et al.* 1997), y que por lo mismo, no se ha logrado llevar a cabo una clasificación en base a incompatibilidad de plásmidos, resultaría de gran interés aportar nuevos datos acerca de la región replicadora del pCFN42b.

Mediante experimentos de hibridación de DNA, se demostró que un gran número de secuencias del pCFN42b de *R. etli* CFN42, están conservadas en el genoma de *R. leguminosarum* bv.

trifolii ANU843 y *R. leguminosarum* bv. *viciae* VF39. Muchas de ellas, incluyendo a los genes *lpo β 1* y *lpo β 2*, están localizadas en los plásmidos pANU843b y pVF39c. Mientras el dato anterior sugiere un cierto grado de relación estructural y probablemente funcional entre los tres plásmidos, la existencia de secuencias del pCFN42b conservadas en otros replicones distintos a pANU843b y pVF39c, indican un cierto grado de divergencia estructural entre los tres plásmidos. Esta divergencia se ve apoyada por la diferencia de tamaños entre los tres plásmidos (pCFN42b, 150 kb; pANU843b, 230 kb; pVF39c, 400 kb).

La diferente organización estructural entre pCFN42b y pVF39c también se refuerza por el hecho de que en el pVF39c, se localiza un operón *fixNOQP* así como los genes *fixK-fixL* (Patschkowski *et al.* 1996), los cuales no existen en el pCFN42b. Secuencias reiteradas de los genes *fixK* y *fixNOQP*, así como una secuencia homóloga al gen *fixL* contenido en el pVF39c, han sido localizadas en el pCFN42f, el plásmido más grande en *R. etli* CFN42 (Girard, datos sin publicar).

La divergencia observada en los tres plásmidos podría estar relacionada con la posición taxonómica que guardan ambas especies (Fig. 10). *R. etli* y *R. leguminosarum* conforman dos linajes claramente distinguibles en base al análisis de la secuencia del gen 16S ribosomal (Martínez-Romero 1994). Adicionalmente a esto, el entorno ecológico de ambas especies es marcadamente diferente, mientras *R. etli* nodula leguminosas tropicales, *R. leguminosarum* bv. *trifolii* y *viciae* nodulan leguminosas de zonas templadas.

A pesar de la divergencia evolutiva y ecológica observada, una gran parte de la información genética del pCFN42b se ha mantenido en el genoma de *R. leguminosarum* a lo largo de la evolución, aunque no siempre organizada en el mismo replicón. El seguir conservando dichas secuencias, podría ser indicio de la importancia funcional que tienen para la vida de estas bacterias.

Desde el punto de vista evolutivo, pareciera existir una relación más estrecha entre pCFN42b y pANU843b, ya que ambos plásmidos pertenecen al mismo grupo de incompatibilidad. Mientras que pVF39c pertenece a un grupo de incompatibilidad distinto. Sin embargo debido a la metodología utilizada (transferencia de plásmidos por conjugación), no podemos descartar la posibilidad que el pVF39c pudiera estar formado por la cointegración de dos replicones. De tal manera que aunque el plásmido mantiene un sistema de replicación similar a pCFN42b y pANU843b, el resultado de la compatibilidad observada se debe a la funcionalidad del segundo sistema de replicación. Un banco de regiones de replicación de plásmidos de diferentes grupos de incompatibilidad se ha utilizado en enterobacterias para detectar la presencia de múltiples regiones de replicación, independientemente de su funcionalidad en diferentes fondos genéticos (Couturier *et al.* 1988).

Para finalizar, quisiera mencionar que el estudio de las funciones codificadas en plásmidos de *Rhizobium*, no solo es importante desde el punto de vista de la simbiosis *Rhizobium-leguminosa*, sino también contribuye a ampliar nuestro conocimiento acerca de la estructura y la función del genoma de esta bacteria.

Asimismo, pensamos que a futuro investigaciones de este tipo pueden tener un fuerte impacto en el estudio de la ecología microbiana a nivel molecular, la cual pretende caracterizar la expresión de genes bacterianos en respuesta a diversos factores físicos, químicos y biológicos los cuales forman parte del entorno ecológico de las bacterias.

CONCLUSIONES

La región genética *lpsβ* localizada en el pCPN42b de *R. etli* CPN42 contiene dos genes (*lpsβ1* y *lpsβ2*) indispensables para la síntesis de LPS en esta bacteria, posiblemente organizados en un operón.

El análisis de similitud de la secuencia de aminoácidos de las proteínas Lpsβ1 y Lpsβ2, así como datos bibliográficos de la estructura química del LPS, sugieren que la proteína Lpsβ1 puede ser una enzima que transfiere galactosa o ácido galacturónico a la parte del LPS conocida como "core". La proteína Lpsβ2 podría ser una deshidratasa participando en la síntesis de alguno de los desoxi o didesoxi azúcares que enlanzan el "core" con el antígeno-O.

Las secuencias homólogas a los genes *lpsβ1* y *lpsβ2* únicamente se encontraron en plásmidos de *R. leguminosarum* bv. trifolii y *R. leguminosarum* bv. viciae y no en el genoma de otros miembros de la familia *Rubiaceae*.

Las proteínas Lpsβ1 y Lpsβ2 de *R. etli* y *R. leguminosarum* son funcionalmente equivalentes.

Otras secuencias del pCPN42b como los genes *rnrA* y *rnrB* (resistencia a compuestos tóxicos) y *thiC* (síntesis de tiamina) también están conservadas en plásmidos de *R. leguminosarum*. Además de estos genes, un gran número de secuencias del pCPN42b de *R. etli* se encuentran conservadas en el genoma de *R. leguminosarum* bv. trifolii ANU843 y *R. leguminosarum* bv. viciae VF39 aunque no siempre localizadas en el mismo replicón.

Corriente arriba del gen *lpsβ1* se identificó un fragmento del gen *repC* posiblemente involucrado en la replicación del pCPN42b.

La información genética localizada corriente abajo del gen *lpsβ2* no es indispensable para síntesis de lipopolisacárido en esta bacteria.

REFERENCIAS

- Aguilar, G. R. and Soberón, M. 1996. Cloning and sequence analysis of the *Rhizobium etli* *ccmA* and *ccmB* genes involved in c-type cytochrome biogenesis. *Gene* 182: 129-135.
- Amidio-Cuevas, C.F., and Chicurel, M.E. 1992. Bacterial plasmids and gene flux. *Cell* 70: 189-199.
- Antoine, R. and Locht, C. 1992. Isolation and molecular characterization of a novel broad-host-range plasmid from *Bordetella bronchiseptica* with sequence similarities to plasmids from Gram-positive organisms. *Mol.Microbiol.* 6:1785-1799.
- Austin, S., and Nordstrom, K. 1990. Partition-mediated incompatibility of bacterial plasmids. *Cell* 60: 351-354.
- Boronin, A. M. 1992. Diversity and relationships of *Pseudomonas* plasmids. In *Pseudomonas Molecular Biology and Biotechnology*, eds. Galli, E., Silver, S., Witholt, B. pp. 329, Washington : American Society for Microbiology.
- Brink, B.A., Miller, J., Carlson, R.W., and Noel, K.D. 1990. Expression of *Rhizobium leguminosarum* CFN42 genes for lipopolysaccharide in strains derived from different *R. leguminosarum* soil isolates. *J. Bacteriol.* 172: 548-555.
- Brom, S., García-de los Santos,A., Girard, L., Dávila, G., Palacios, R., and Romero, D. 1991. High-frequency rearrangements in *Rhizobium leguminosarum* bv. phaseoli plasmids. *J. Bacteriol.* 173: 1344-1346.
- Brom, S., García-de los Santos, A., Stepkowsky, T., Flores, M., Dávila, G., Romero, D., and Palacios, R. 1992. Different plasmids of *Rhizobium leguminosarum* bv. phaseoli are required for optimal symbiotic performance. *J. Bacteriol.* 174: 5183-5189.
- Brozek, K. A., Carlson, R. W., and Raetz, C. R. H. 1996. A special acyl carrier protein for transferring long hydroxylated fatty acids to lipid A in *Rhizobium*. *J. Biol. Chem.* 271:

32126-32136.

- Campbell, A.M. 1993. Genome organization in prokaryotes. *Cur. Opin. Genet. Dev.* 3:837-844.
- Carlson, R. W. 1984. Heterogeneity of *Rhizobium* lipopolysaccharides. *J. Bacteriol.* 158: 1012-1017.
- Carlson, R.W., Kalembara, S., Turowski, D., Pachori, P., and Noel, K. D. 1987. Characterization of the lipopolysaccharide from a *Rhizobium phaseoli* mutant that is defective in infection thread development. *J. Bacteriol.* 169: 4923-4928.
- Cava, J.R., Elias, P.M., Turowski, D.A., and Noel, K.D. 1989. *Rhizobium leguminosarum* CFPN42 genetic region encoding lipopolysaccharide structures essential for complete nodule development on bean plants. *J. Bacteriol.* 171: 8-15.
- Cervantes, L. 1997. Participación de los plásmidos endógenos de *Rhizobium etli* en diversas funciones celulares. Tesis de Licenciatura. UAEM.
- Charles, T.C., and Finan, T.M. 1990. Genetic map of *Rhizobium melliloti* megaplasmid pRmneSU47b. *J. Bacteriol.* 172:2469-2476.
- Charles, T. C., and Finan, T. M. 1991. Analysis of a 1600-kilobase *Rhizobium melliloti* megaplasmid using defined deletions generated *in vivo*. *Genetics* 127: 5-20.
- Chater, K.F., and Hopwood, D.A. 1989. Diversity of bacterial genetics. In *Genetics of bacterial diversity*, eds. Chater,K.F., and Hopwood, D.A. p 27. London : Academic Press.
- Crespi, M., Messens, E., Capian, A. B., Van Montagu, M., and Desomer, J. 1992. Fasciation induction by the phytopathogen *Rhodococcus fascians* depends upon a linear plasmid encoding a cytokinin synthase gene. *EMBO J.* 11:795-804.
- Couturier, M., Bex, F., Bergquist, P.L., and Maas, W. K. 1988. Identification and classification of bacterial plasmids. *Microbiol. Rev.* 52:375-395.

- Delver, E. P., Kotova, V. U., Zavilgelsky, G. B. and Belogurov, A. A. 1991. Nucleotide sequence of the gene *ard* encoding the antirestriction protein of plasmid Colib P9. *J. Bacteriol.* 173: 5887-5892.
- Dénarié, J., and Cullimore, J. 1993. Lipo-oligosaccharide nodulation factors: a new class of signaling molecules mediating recognition and morphogenesis. *Cell* 174: 951-954.
- Dylan, T., Ielpi, L., Stanfield, S., Kashyap, L., Douglas, C., Yanofsky, M., Neeter, E.W., Helinski, D. R., and Ditta, G. 1986. *Rhizobium meliloti* genes required for nodule development are related to chromosomal virulence genes in *Agrobacterium tumefaciens*. *Proc. Natl. Acad. Sci. USA*. 83: 4403- 4409.
- Dylan, T., Nagpal, P., Helinski, D. R., and Ditta, G. S. 1990. Symbiotic pseudorevertants of *Rhizobium meliloti* *ndv* mutants. *J. Bacteriol.* 172: 1400-1408.
- Eisenschenk, L., Diebold, R., Perez-Lesher, J., Peterson, A. C., Peters, N. K., and Noel, K. D. 1994. Inhibition of *Rhizobium etli* polysaccharide mutants by *Phaseolus vulgaris* root compounds. *Appl. Environ. Microbiol.* 60: 3315- 3322.
- Freiberg, C., Fellay, R., Bairoch, A., Broughton, W.J., Rosenthal, A., and Perret, X. 1997. Molecular basis of symbiosis between *Rhizobium* and legumes. *Nature* 387: 394-401.
- Girard, M. L., Flores, M., Brom, S., Romero, D., Palacios, R., and Dávila, G. 1991. Structural complexity of the symbiotic plasmid of *Rhizobium leguminosarum* bv. phaseoli. *J. Bacteriol.* 173: 2411-2419.
- González, R.A. 1996. Obtención y caracterización de mutantes de *Rhizobium etli* CFN42 en genes inducibles por exudados de frijol. Tesis de Maestría. CCH-UACPyP, UNAM.
- González, J. E., Glucksmann, A., Lynne-Reuber, T., and Walker, G. C. 1992. Exopolysaccharides and *Rhizobium meliloti* - alfalfa interactions. In *New horizons in nitrogen fixation*, eds Palacios,R., Mora, J., and Newton, W. E. pp 203-206. Dordrecht: Kluwer Acad. Pub.

- Hawkins, F. K. L., and Johnson, A. W. B. 1988. Transcription of a *Rhizobium leguminosarum* biovar *phaseoli* gene needed for melanin synthesis is activated by *nifA* of *Rhizobium* and *Klebsiella pneumoniae*. Mol. Microbiol. 2: 331-337.
- Hernández-Lucas, I., Segovia, L., Martínez-Romero, E., and Pueppke, S.G. 1995. Phylogenetic relationships and host range of *Rhizobium* spp. that nodulate *Phaseolus vulgaris* L. Appl. Environ. Microbiol. 61: 2775-2779.
- Hinnebusch, J. and Barbour, A.G. 1992. Linear- and circular-plasmid copy numbers in *Borrelia burgdorferi*. J. Bacteriol. 174: 5251-5257.
- Hinnebusch, J. and Tilly, K. 1993. Linear plasmids and chromosomes in bacteria. Mol. Microbiol. 10:917-922.
- Hynes, M.F., and MacGregor, N.F. 1990. Two plasmids other than the nodulation plasmid are necessary for formation of nitrogen fixing nodules by *Rhizobium leguminosarum*. Mol. Microbiol. 4: 567-574.
- Kadrimas, J. L., Brozek, K. A., and Raetz, C. R. H. 1996. Lipopolysaccharide core glycosylation in *Rhizobium leguminosarum*. J. Biol. Chem. 271: 32119-32125.
- Keenleyside, W. J., Perry, M., Maclean, L., Poppe, C., and Whitfield, C. 1994. A plasmid-encoded *rfb*:_{O:54} gene cluster is required for biosynthesis of the O:54 antigen in *Salmonella enterica* serovar *Borreli*. Mol. Microbiol. 11: 437-448.
- Leigh, J.A., and Walker, G.C. 1994. Exopolysaccharides of *Rhizobium*: synthesis, regulation and symbiotic function. Trends Gen. 10: 63-67.
- Levin, B.R. 1993. The accessory genetic elements of bacteria: existence conditions and (co)evolution. Curr. Opin. Genet. Dev. 3:849-854.
- Martínez-Romero, E. 1994. Recent developments in *Rhizobium* taxonomy. Plant and Soil 161: 11-20.
- Mercado-Blanco,J., and Olivares, J. 1993. Stability and transmissibility of the cryptic

- plasmids of *Rhizobium meliloti* GR4. *Arch. Microbiol.* 160:477-485.
- Mercado-Bianco,J., and Toro,N. 1996. Plasmids in rhizobia: the role of nonsymbiotic plasmids. *Mol. Plant-microbe Int.* 9:535-545.
- Michaux, S., Paillisson, J., Carles-Nurit, M.J., Bourg, G., Allardet-Servent, A., and Ramuz,M. 1993. Presence of two independent chromosomes in the *Brucellales meliloti* 16M Genome. *J. Bacteriol.* 175:701-705.
- Miranda, J.1995. Genética molecular de genes involucrados en la expresión de oxidases terminales en *Rhizobium etli*. Tesis de Doctorado, CCH-UACPyP, UNAM.
- Moënne-Loccoz, Y., and Weaver, R.W. 1995. Plasmids influence growth of rhizobia in the rhizosphere of clover. *Soil. Biol. Biochem.* 27: 1001-1004.
- Noel, K. D. 1992. Rhizobial polysaccharides required in symbiosis with legumes, pp. 324-357. In D.P.S. Verma (ed.), *Molecular signals in plant-microbe communications*. CRC Press, Inc., Boca Raton, Fla.
- Novick, R.P. 1987. Plasmid incompatibility. *Microbiol. Rev.* 51: 381-395.
- Petrovics, G., Putnoky, P., Reuhs,B., Kim, J., Thorp, T.A., Noel, K.D., Carlson, R . W., and Kondorosi, A. 1993. The presence of a novel type of surface polysaccharide in *Rhizobium meliloti* requires a new fatty acid synthase-like gene cluster involved in symbiotic nodule development. *Mol. Microbiol.* 8: 1083-1094.
- Patschkowski, T., Schlüter, A., and Priefer, U. B. 1996. *Rhizobium leguminosarum* bv. *viciae* contains a second *ftr/ftrK*-like gene and an unusual *fixL* homologue. *Mol. Microbiol.* 21: 267-280.
- Plazinski, J., Croft, L., Taylor, R., Zheng, Q., Rolfe, B. G., and Gunning, B. E. S. 1991. Indigenous plasmids in *Anabaena azollae*: their taxonomic distribution and existence of regions of homology with symbiotic genes of *Rhizobium*. *Can. J. Microbiol.* 37:171-181.

- Porter, R. D. 1991. Conjugation. In *Modern microbial genetics*, eds Straips, U.N., and Yashin, R.E. p 157. New York: Wiley-Liss Inc.
- Prakash, R.K., VanVeen, R.J.M., and Schipperoort. 1981. Restriction endonuclease mapping of *Rhizobium leguminosarum* Sym plasmid. *Plasmid* 7:271-280.
- Ramirez-Romero, M. A., Bustos, P., Girard, L., Rodriguez, O., Cevallos, M.A., and Dávila, G. 1997. Sequence, localization and characteristics of the replicator region of the symbiotic plasmid of *Rhizobium etli*. *Microbiology*, in press.
- Slater, J. H., Weightman, A. J., and Godwin-Thomas, D. 1988. Plasmids. In *Micro-organisms in action: Concepts and applications in microbial ecology*, eds. Lynch, J.M., and Hobbie, J.E. p 44. Oxford: Blackwell Scientific Pub.
- Suwanto, A., and Kaplan, S. 1989. Physical and genetic mapping of the *Rhodobacter sphaeroides* 2.4.1. genome: presence of two unique circular chromosomes. *J. Bacteriol.* 171: 1135-1145.
- Tabata, S., Hooykaas, P. J., and Oka, A. 1989. Sequence determination and characterization of the replicator region in the tumor-inducing plasmid pTiB6S3. *J. Bacteriol.* 171: 1665-1672.
- Turner, S. L., and Young, J. P. W. 1995. The replicator region of the *Rhizobium leguminosarum* cryptic plasmid pRL8J1. *FEMS Microbiol. Lett.* 133: 53-58.
- Turner, S. L., Rigottier-Gois, L., Power, R. S., Amarger, N. and Young, J. P. W. 1996. Diversity of repC plasmid-replication sequences in *Rhizobium leguminosarum*. *Microbiology* 142:1705-1713.
- Weaver, R.W., Wei, G.R., and Berryhill, D.L. 1990. Stability of plasmids in *Rhizobium phaseoli* during culture. *Soil Biol. Biochem.* 22: 465-469.
- Wilkins, B.M., Rees, C.E., Thomas, A.T., and Read, T.D. 1991. Conjugative events in the recipient cell affecting plasmid promiscuity. *Plasmid* 25: 227.

- Yanagita,T. 1990. Natural Microbial communities, ecological and physiological features. Spring-Verlag, Japan, pp. 312-315.
- Zambryski, P., Tempe, J., and Scholl, J. 1989. Transfer and Function of T-DNA genes from *Agrobacterium* Ti and Ri plasmids in plants. Cell 56: 193-201.

Tabla 1. Características fisiológicas de *Rhizobium* espi CFN42 y de sus derivados caretes de plásmidos.

GENOTIPO	CFN42	p-	pB	pC	pD	pE	pF
Morfología de colonias	gomoosa	gomoosa	resaca	gomoosa	gomoosa	gomoosa	gomoosa
Motilidad	+	+	-	+	+	+	+
Florecencia ^a	-	-	+	-	-	-	-
Producción de nucleinas	+	+	+	+	-	+	+
Nobilización	+	+	+-	+	-	+	+
Fijación de N ₂	++	++	-	++	-	++	++
Crecimiento en PY ^b	++	++	+-	+	++	+	++
Crecimiento en MMF	+++	++	+-	+	++	+-	-
Competencia I	+	+	<	<	-	<	<

^a Se estudió en placas de PY con agar nitrógeno al 0,3%.

^b El término florecencia se refiere al crecimiento normal de una bacteria en medio líquido, formando agregados los cuales se depositan en el fondo del tubo de ensayo. -, crecimiento normal; +, florecencia.

+, síndromes normales con actividad de nitrógeno; +- , síndromes anormales; vacíos y sin actividad de nitrógeno; - , ausencia de síndromes.

^c ++, nivel normal de reducción de acetileno; +, < 65% < CFN42; -, no hay reducción de acetileno.

^d Medio de cultivo rico. ++, nivel normal de crecimiento; +, 25% < CFN42; +, 40% < CFN42; -, no hay crecimiento.

^e Medio mínimo. +++, nivel normal de crecimiento; ++, 25% < CFN42; +, 40% < CFN42; +, 60% < CFN42; -, no hay crecimiento.

^f Competencia entre dos cepas por competencia de síndromes. +, capacidad competitiva normal; <, menor competitivo que CFN42; -, incapaz de competir.

^g La capacidad competitiva se determinó en una derivada careta de pB pero complementada con los genes psp.

Tabla 2. Identidad y similitud entre el ORF1 incompleto del pCFN42b de *Rhizobium etli* CFN42 con el extremo carboxilo de proteínas RepC de diversas bacterias.

Polipeptido similar (plásmido)	Número de aminoácidos	Identidad (%)	Similitud (%)	Número de acceso
<i>R. etli</i> RepC (pCFN42d)	149	62.3	72.6	U80928
<i>R. leguminosarum</i> RepC (pRL8J)	151	60.8	74.1	X89447
<i>A. rhizogenes</i> RepC (pRiA4b)	150	60.5	73.4	X04833
<i>Paracoccus versutus</i> RepC (pTAV1)	153	42.8	61.7	U60522
<i>A. tumefaciens</i> RepC (pTiB6S3)	185	39.4	63.2	M24529
<i>R. meliloti</i> RepC (pRmcGR4a)	169	30.6	53.1	X69105

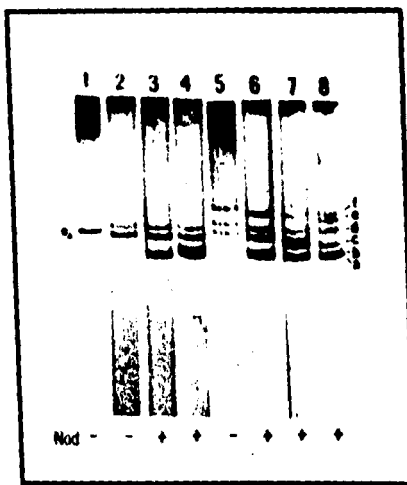


Fig. 1. Perfil de plásmidos de las cepas derivadas de *R. etli* CFN42 curadas de múltiples plásmidos. Cárries: 1, CFNX218: (paΔ); 2, CFNX217 (pd, paΔ); 3, CFNX216 (pb, pd, paΔ); 4, CFNX215 (pa, pb, pd, paΔ); 5, CFNX220 (pd, paΔ, pI); 6, CFNX214 (pa, pb, pd, paΔ, pI); 7, CFNX185 (pa, pb, pc, pd, paΔ); 8, cepa parental CFN42 con todos sus plásmidos. En la parte baja de la figura se indica la capacidad (+) o incapacidad (-) para formar nódulos sobre las raíces de frijol.

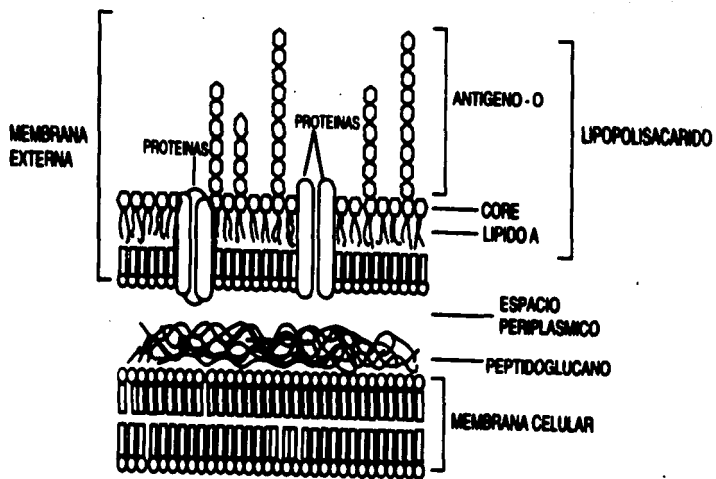


Fig. 2. Estructura de la superficie celular de una bacteria Gram- negativa

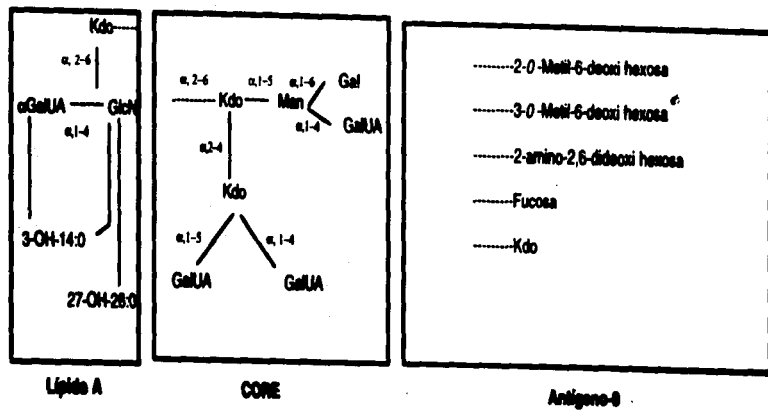


Fig. 3. Composición química del lipopolisacárido de *R. esf* CFN42. Kdo, ácido 3-deoxi-D-mano-2-octulosónico. Gal, galactosa. GlcN, glucosamina. 3-OH-14:0 y 27-OH-28:0, ácidos grasos hidroxilados. GalUA, ácido galacturónico. Man, manosa.

	1	50	100
ReORF1	...NSDPhyt tLEPLRPEK (QATVYDQSE phepzaria tpGPGPqP	ansasVeg gikFFAGLV lqCFeiae GRCGIVTWR DLSMAMVVA	
ReRepC	HIGMSKPSV nEALPSSKE	QA.....	Ka Sislg.lnE sgrAFPAAGLV LACtPmida sPc.VGm DLSMAMVVA
RisRepC	HIGMSKPSV nEALPSSKE	QAE.....	Ks epkikteRD epeafP&MV LrACtFeiae GRCGIVTWR DLSMAMVVA
ArRepC	HIGMSKPSV nEALPSSKE	QA.....	NP Sejra.RSE pkaLPHMNE LACtGtignY GPCdVaeia DLSMAMVVA
PvRepC	HHggSgESI .DLEPLRQ gaaeagcav tSA.....		PaDgBsdrt rVpkPshLV lqGslRUF yg.GdRhs qfZMACHMR
AtRepC	HIGMSKPSI phepzifntk pAgs.....		VaEdmVSI pkeLPGIV LcLcaviel apGdRhs DfLwelsc
ReRepC	...hkgittt hpdnaSDqr rsyAqgsa phGnsksa fessirkrss.	Eingpil thwamQqV LrAvWality Gip..TWS DLSMAMVVA	
Consensus	HIGMS-PES - ELEPLRPEK	Q-A--S-E-A-A-E-B-S-E-VNSH	--APFLGLV L-ACB-1K-Y GRCG-GTVW DLSMAMVVA
	** * * * *	***	** * * * *
	101	150	200
ReORF1	SILAVISPV eqCMECME HAAvtvACVL RRAg..hHE MDFMFLTR KARHMEAG PRMFLVWm .spigrHtg.		
ReRepC	SILAVISPV qCMECME HAAvAZCIL RRAg..hHE POFtLKLH RgDMFqLG PRMFLVWm .ppglrg.		
RisRepC	SILAVISPV qCMECME HAAvAZCIL RRAg..hHE POFtLKLH RgDMFqLG PRMFLVWm .GcvVms.		
ArRepC	SILAVISPV qCMECME HAAvAZCIL RRAg..hHE POFtLKLH RgDMFqLG PRMFLVWm .ppglrg.		
PvRepC	pEMDLSGM es-qrGDPPE qslVWVmd RRAg..hHE POFtLKLH RgDMFqLG PRMFLVWm .das.		
AtRepC	pEMDLSGM es-qrGDPPE qslVWVmd RRAg..hHE POFtLKLH RgDMFqLG PRMFLVWm .idegVWdd ripalnted nsgjredu		
ReRepC	rIdB13dak rraVgqhsq qAAVWVRL Hydrqewv POFtLKLH RgDMFqLG PRMFLVWm .swlch.		
Consensus	SILAVISPV qCME-HPE HAAvAZCIL RRAg..hHE POFtLKLH RgDMFqLG PRMFLVWm --G-KAG-		
	*****	***	***
	211		
ReORF1		
ReRepC		
RisRepC		
ArRepC		
PvRepC		
AtRepC	llrltgksp k		
ReRepC		
Consensus	-----		

Fig. 4. Alineamiento de la secuencia de aminoácidos del ORF1 incompleto de *R. eili* CFN42 con el extremo carboxílico de las proteínas RepC homólogas mostradas en la tabla 2. La parte con menor homología entre las siete secuencias está señalada por una caja. Los aminoácidos idénticos en las siete secuencias están marcados en negritas. Los aminoácidos idénticos en el ORF1 y en las proteínas RepC de *R. eili* CFN42 (pCFN42), *R. leguminosarum* (pRL8II) y *A. rhizogenes* (pRLA4b) están marcados con un asterisco en el consenso.

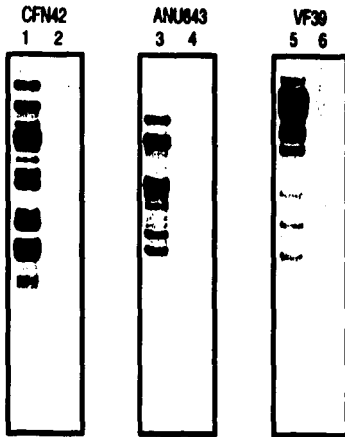


Fig. 5. Genoma total de *R. etli* CFN42, *R. leguminosarum* bv. *trifoli* ANU843 y *R. leguminosarum* bv. *viciae* VF39 digeridos con *EcoRI* e hibridados con el plásmido pCFN42b completo. Carriles 1, 3, 5, corresponden a las cepas silvestres. Carriles 2, 4, 6, corresponden a las derivadas curadas de los plásmidos pCFN42b, pANU843b y pVF39c respectivamente.

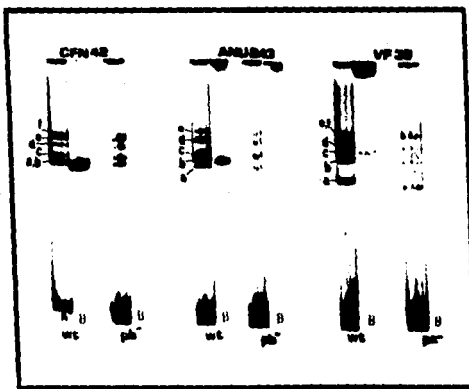


Fig. 6. Localización de secuencias homólogas al plásmido pA31, en *R. etli* CFN42, *R. leguminosarum* bv. trifoli ANU843 y bv. viciae VF39. Perfiles de plásmidos (campos A), de las cepas silvestres (wt) y derivadas curadas de los plásmidos pCFN42b, pANU843b y pVF39c (pb⁻, pb⁺, pc⁻) fueron hibridados con el pA31. La presencia de secuencias homólogas fué detectada mediante hibridaciones tipo Southern (campos B).



Fig. 7. Localización de secuencias homólogas al plásmido pJMR01. Perfiles de plásmidos (camino A) de *R. eili* CFN42, *R. leguminosarum* bv. trifoli ANU843 y bv. viciae VF39 cepas silvestres (wt) y derivadas curadas de los plásmidos pCFN42b, pANU843b y pVF39c (pb⁻, pb⁺, pc⁻), fueron hibridados con el pJMR01. La presencia de secuencias homólogas detectadas mediante hibridaciones tipo Southern se observa en los caminos B.

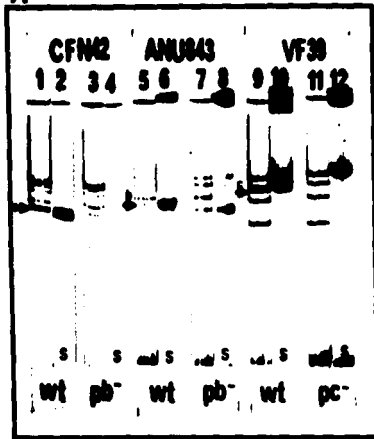
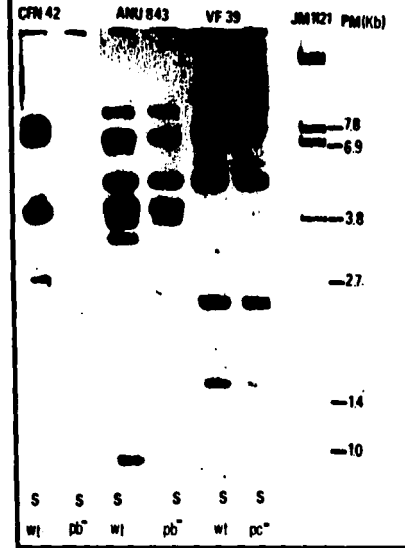
A**B**

Fig. 8. Localización de secuencias homólogas al cósntido JM1121, en cepas de *R. etli* CFN42, *R. leguminosarum* bv. trifoli ANU843 y bv. viceae VF39. Perfiles de plásmidos (A) y genoma total digerido con EcoRI (B) de cepas silvestres (wt) y derivadas curadas de los plásmidos pCFN42b, pANU843b y pVF39c (pb⁻, pb⁻, pc⁻), fueron hibridados con el cósntido JM1121. Hibridaciones tipo Southern (camines S) revelan la presencia de secuencias homólogas. En la Fig. B también se muestra el peso molecular de los fragmentos de DNA del cósntido JM1121 digerido con EcoRI.

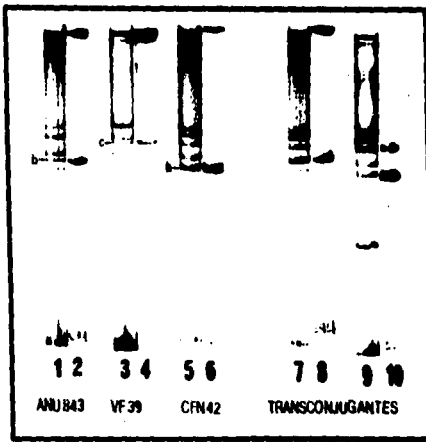


Fig. 9. Estudio de incompatibilidad entre los plásmidos pCFN42b, pANU843b y pVF39c. En los carrioles 1 y 3 se muestra el perfil de plásmidos de las cepas silvestres *R. leguminosarum* bv. trifoli ANU843 y *R. leguminosarum* bv. viciae VF39 utilizadas como donadoras de los plásmidos pANU843b y pVF39c respectivamente. El carriol 5 corresponde a *R. etli* CFN42 silvestre, utilizada como receptora de conjugación. Los carrioles 2, 4 y 6 son señales de hibridación que permiten ver la posición de los plásmidos pANU843b, pVF39c y pCFN42b. El patrón de plásmidos de la transconjugante de *R. etli* CFN42 llevando el pANU843b (carriol 7), muestra una sola señal de hibridación con la sonda pAGS10 (genes ips), correspondiente al pANU843b (carriol 8). El perfil de plásmidos de la transconjugante llevando el pVF39c (carriol 9), muestra dos señales de hibridación con el mismo detector (carriol 10), indicando que en esta transconjugante coexisten los plásmidos pCFN42b y pVF39c. La banda de menor peso molecular en el carriol 9, corresponde al plásmido RP4-4 utilizado para movilizar el pVF39c.

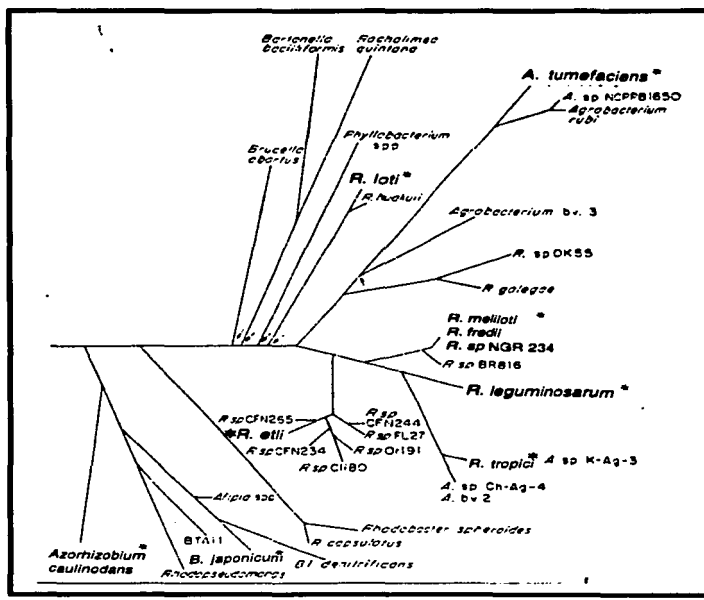


Fig. 10. Filogenia de la familia Rhizobiaceae y otras bacterias afines, basada en el análisis de secuencia de los genes que codifican para el ARNr 16S. (Tomado de Martínez-Romero 1994).